



UNIVERZITET U KRAGUJEVCU
FAKULTET MEDICINSKIH NAUKA

Refet Gojak

**Značaj CD4/CD8 količnika i C-reaktivnog proteina u praćenju
kardiovaskularnog rizika kod HIV pozitivnih pacijenata tokom
cART terapije**

Doktorska disertacija

Mentor: dr sci.med. Željko Mijailović, vanredni profesor

Sarajevo - Kragujevac, 2019. godine



УНИВЕРЗИТЕТ У КРАГУЈЕВЦУ
ФАКУЛТЕТ МЕДИЦИНСКИХ НАУКА

Рефет Гојак

**Значај CD_4/CD_8 количника и С-реактивног протеина у праћењу
кардиоваскуларног ризика код HIV позитивних пацијената током
сART терапије**

Докторска дисертација

Ментор: др сци. мед. Жељко Мијаиловић, ванредни професор

Сарајево - Крагујевац, 2019. године

ИДЕТИФИКАЦИОНА СТРАНИЦА ДОКТОРСКЕ ДИСЕРТАЦИЈЕ

<i>I Аутор</i>
Име и презиме: Refet Gojak
Датум и место рођења: 12.05.1975. Gojakoviće, Пријеполје, R.Srbija
Садашње запослење: Klinički centar Univerziteta u Sarajevu (KCU Sarajevo), Klinika za infektivne bolesti
<i>II Докторска дисертација</i>
Наслов: Значај CD ₄ /CD ₈ количника и С-реактивног протеина у праћењу кардиоваскуларног ризика код HIV позитивних пацијената током сART терапије (Značaj CD4/CD8 količnika i C-reaktivnog proteina u praćenju kardiovaskularnog rizika kod HIV pozitivnih pacijenata tokom cART terapije)
Број страница: 130
Број слика:
Број библиографских података:
Установа и место где је рад израђен: KCU Sarajevo, Sarajevo, Bosna i Hercegovina
Научна област (УДК):
Ментор:
<i>III Оцена и одбрана</i>
Датум пријаве теме:
Број одлуке и датум прихватања теме докторске дисертације:
Комисија за оцену научне заснованости теме и испуњености услова кандидата:
Комисија за оцену и одбрану докторске/уметничке дисертације:
Датум одбране дисертације:

SAŽETAK

Uvod: HIV-infekcija se karakteriše progresivnim manjkom CD4⁺ T-ćelija zbog njihove smanjene sinteze, povećanog uništavanja i izrazite aktivacije i ekspanzije CD8⁺ T limfocita. CD4/CD8 odnos (količnik, *engl.* ratio) se sve više pojavljuje kao marker različitih ishoda kod HIV-inficiranih pojedinaca. S druge strane CRP je tradicionalno opisivan kao dobar marker akutne upale i danas je jedan od standardnih testova koji se koriste u svakodnevnoj kliničkoj praksi, za postavljanje dijagnoze i praćenje prognoze upale. Međutim, uloga CRP-a u različitim fiziološkim procesima, naročito kod perzistentne infekcije i imunske aktivacije nije do kraja jasna. Efikasnom i savremenom terapijom HIV-a život ovakvih pacijenta je značajno produžen. Primarni cilj antiretrovirusne terapije (ART) je spriječiti HIV-povezane bolesti i smrtnost, a sekundarni cilj je da se smanji rizik od prijenosa HIV-a. Ovaj cilj se najbolje postiže pomoću efikasne cART, kojom se maksimalno inhibira HIV replikacija, tako da plazmatska HIV RNK (viremija) ostaje ispod nivoa kojeg je moguće detektovati pomoću komercijalno dostupnih testova.

Cilj: Osnovni cilj ovog istraživanja je da se ispita kolika je moć CD4/CD8 odnosa i CRP-a da predvidi razvoj rizika kardiovaskularne bolesti (KVB) kod HIV pozitivnih pacijenata koji primaju cART terapiju.

Materijal i metode: U retrospektivno-prospektivnoj kohortnoj studiji ponovljenih mjerenja bilo je uključeno 76 HIV pozitivnih ispitanika. Za određivanje udjela (procenta) CD4⁺ i CD8⁺ ćelija, iz periferne krvi pacijenata, korištena je metoda protočne citometrije. U ovoj studiji evaluirane su vrijednosti biokemijskih parametara (CRP-a, lipidnog statusa), parametara krvne slike (eritrociti, hemoglobin, hematokrit, trombociti), leukociti i leukocitarna formula te sedimentacija kao nespecifični parametri akutne upale, potom imunološki parametar CD4/CD8 odnos, antropometrijska mjerenja- ITM, te vrsta cART terapije. Za statističku analizu korišten je softver SPSS, odnosno parametrijski i neparametrijski testovi, Spirmanova (rho) korelacija, standardna regresiona analiza i ROC kriva.

Rezultati: U istraživanje je uključeno 76 ispitanika, 67 (88,2 %) muškaraca i 9 (11,8 %) žena. Ispitanici su prosječne starosti 35,2±8,7 godina, najmlađi ispitanik imao je 18, a najstariji 57 godina. Standardnom regresionom analizom, ispitan je uticaj nezavisnih prediktora (starosti, pola, navike pušenja, familijarne anameze za KVB, ITM, cART, sistolnog i dijastolnog pritiska, holesterola, triglicerda, HDL-a, ŠUK-a, CRP-a, CD4 i CD4/CD8) na zavisno

promjenljivu rizik za KVB bazično i nakon 3, 6, 12, 18 i 24 mjeseca cART. Od 12. do 24. mjeseca osim standardnih rizikofaktora za predikciju razvoja KVB, CD4/CD8 odnos i CRP se javljaju kao značajni prediktori. Nakon 24 mjeseca cART, CRP se pokazao kao najbolji prediktor rizika za KVB (beta=0,224; p=0,026), veće vrijednosti ovog parametara utiču na veći rizik za KVB, potom CD4/CD8 odnos (beta=-0,200; p=0,025), s tim da veći odnos smanjuje vjerovatnoću za rizik KVB. Terapija (cART) u ovom regresionom modelu prvi put je nakon 24 mjeseca pokazala statistički značajan uticaj na rizik za KVB (beta=0,197; p=0,013). Ispitanici koji su u kombinovanoj terapiji imali PI, imaju veći rizik za KVB. Od 18. mjeseca cART CRP može biti marker srednjeg rizika za KVB, a nakon 24 mjeseca vrijednosti CRP-a od 5,31 mg/L ima najveću senzitivnost 78,3% i najveću specifičnost 86,8%, kao marker srednjeg u odnosu na niski rizik za KVB (p=0,0001; AUC=0,882). Od 12 mjeseca cART CD4/CD8 odnos može biti marker niskog rizika za KVB. Nakon 24 mjeseca terapije prosječna vrijednost CD4/CD8 odnosa od 0,53 ima najveću senzitivnost 66,0% i najveću specifičnost 73,9%, kako marker niskog u odnosu na srednji rizik za KVB (p=0,001; AUC =0,762).

Zaključci: Količnik CD4/CD8 i CRP su se pokazali se kao značajni prediktori za rizik KVB, i kao markeri koji mogu razlikovati nizak/srednji rizik za KVB kod HIV pacijenata nakon 12 mjeseci cART.

Ključne riječi: CD4/CD8 odnos, C-reaktivni protein, HIV, AIDS, kardiovaskularna bolest, cART

ABSTRACT

Introduction: HIV infection is characterized by a progressive deficiency of CD4+ T cells due to their reduced synthesis, increased destruction and marked activation and expansion of CD8+ T lymphocytes. The CD4/CD8 ratio is increasingly emerging as a marker of different outcomes in HIV-infected individuals. On the other hand, CRP has traditionally been described as a good marker of acute inflammation and is today one of the standard tests used in everyday clinical practice to diagnose and monitor inflammation prognosis. However, the role of CRP in various physiological processes, especially in persistent infections and immune activation, is not entirely clear. The primary goal of antiretroviral therapy (ART) is to prevent HIV-related diseases and mortality, and the secondary goal is to reduce the risk of HIV transmission. This goal is best achieved by using efficient combination ART (cART), which maximally inhibits HIV replication, so that plasma HIV RNA (viral load) remains below the level that can be detected by commercially available tests.

Aim: The main objective of this study is to examine the power of the CD4/CD8 ratio and CRP in predicting the risk of development of cardiovascular disease (CVD) in HIV positive patients receiving cART therapy.

Methods: In the retrospective-prospective cohort study of repeated measurements, 76 HIV positive subjects were included. The method of flow cytometry was used to determine the percentage of CD4+ and CD8+ cells in the peripheral blood of patients. In this study the values of biochemical parameters (CRP, lipid status), blood parameters (erythrocytes, hemoglobin, hematocrit, platelets), leukocytes, leukocyte formula, and sedimentation as non-specific parameters of acute inflammation were evaluated, followed by immunocompetent CD4/CD8 ratio, anthropometric measurements - ITM, and cART therapy type. For statistical analysis SPSS software was used, i.e. parametric and nonparametric tests, Spearman's (rho) correlation, standard regression analysis and ROC curve.

Results: The study included 76 subjects, 67 (88.2%) males and 9 (11.8%) women. The average age of subjects was 35.2 ± 8.7 years; the youngest subject was 18 and the oldest 57 years old. By standard regression analysis, the influence of independent predictors (age, gender, smoking habits, familial anamnesis for CVD, ITM, cART, systolic and diastolic pressure, cholesterol, triglycerides, HDL, blood sugar, CRP, CD4 and CD4/CD8 ratio) on the dependent variable risk of CVD, baseline and after 3, 6, 12, 18 and 24 months of cART was

examined. From 12 to 24 months apart from the standard risk factors for predicting the development of CVD, CD4/CD8 ratio and CRP appear as significant predictors. After 24 months of cART, CRP proved to be the best risk predictor of CVD (beta = 0.224; p = 0.026), higher values of this parameter affect higher risk for CVD, then CD4/CD8 ratio (beta -0.200, p = 0.025), with a higher ratio decreasing the likelihood of CVD risk. Therapy (cART) in this regression model showed the first time after 24 months a statistically significant impact on CVD risk (beta = 0.197; p = 0.013). Subjects who had PI in combination therapy had a higher risk for CVD. From 18 months of cART CRP may be a medium risk marker for CVD, and after 24 months the CRP value of 5.31 mg/L has the highest sensitivity of 78.3% and the highest specificity of 86.8%, as a marker of medium compared to low risk for CVD (p = 0.0001; AUC = 0.882). After 12 months of cART CD4/CD8 ratio can be a low risk marker for CVD. After 24 months of therapy, the average CD4/CD8 ratio of 0.53 had the highest sensitivity 66.0% and the highest specificity was 73.9%, as the marker of low compared to medium risk for CVD (p = 0.001, AUC = 0.762).

Conclusion: CD4/CD8 ratio and CRP counts have been shown to be significant CVD risk predictors, and as markers that may differentiate low and intermediate risk for CVD in HIV patients after 12 months of cART.

Key words: CD4/CD8 ratio, C-reactive protein, HIV, AIDS, cardiovascular disease, cART

ZAHVALNICA

.....

SADRŽAJ

1. UVOD.....	11
1.1. AIDS i starenje.....	13
1.2. Terapija HIV/AIDS-a.....	14
1.2.1. Klinički vodiči za tretman HIV/AIDS bolesnika u BIH.....	17
1.3. Kardiovaskularni rizici i kardiovaskularna oboljenja.....	18
1.3.1. Hipertenzija.....	19
1.3.2. Pušenje.....	19
1.3.3. Gojaznost.....	20
1.3.4. Dislipidemija.....	21
1.4. HIV infekcija i kardiovaskularna oboljenja.....	21
1.5. HIV i endotelna disfunkcija.....	22
1.6. Imunski sistem i limfociti.....	23
1.7. CD4/CD8 odnos.....	24
1.7.1. CD4/CD8 odnos kao marker HIV inficiranih i efekta cART.....	24
1.7.2. CD4/CD8 odnos, starenje i imunska aktivnost.....	25
1.7.3. CD4/CD8 odnos i oksidativni stres.....	27
1.7.4. CD4/CD8 odnos i kardiovaskularni rizik.....	28
1.7.5. CD4/CD8 odnos i metabolički sindrom.....	29
1.8. C-reaktivni protein.....	30
1.8.1. CRP i infekcija.....	33
1.8.2. CRP i kardiovaskularni rizik.....	33
1.8.3. CRP i HIV infekcija.....	34
1.8.4. CRP i metabolički sindrom.....	34
2. FORMULACIJA PROBLEMA.....	36
3. DEFINICIJA PROBLEMA.....	40
4. HIPOTEZE ISTRAŽIVANJA.....	41
5. CILJEVI ISTRAŽIVANJA.....	42
6. ISPITANICI I METOD RADA.....	43
6.1. Ispitanici.....	43
6.2. Metod rada.....	44
6.3. Statistička obrada podataka.....	51
7. REZULTATI RADA.....	52

7.1.	Opšte karakteristike uzorka.	52
7.2.	Analize prediktora na razvoj rizika za KVB, bazično i tokom cART.....	54
7.3.	CRP i CD4/CD8 kao markeri niskog/srednjeg rizika za KVB.	61
7.4.	Analiza trenda CD4/CD8 odnosa, CRP-a i rizika za KVB, bazično i tokom 24 mjeseca cART.....	73
7.5.	Analiza trenda promjena nespecifičnih parametara upale tokom ART	80
7.6.	Analiza trenda promjena krvne slike bazično i tokom cART.	85
7.7.	Analiza trenda promjena lipidograma i ITM, bazično i tokom cART	89
8.	DISKUSIJA	95
9.	ZAKLJUČCI.....	112
10.	LITERATURA	114
	SKRAĆENICE	131
	BIOGRAFIJA	134
	BIBLIOGRAFIJA.....	135
	PRILOG	136
	КЉУЧНА ДОКУМЕНТАЦИЈСКА ИНФОРМАТИКА	136
	KEY WORDS DOCUMENTATION	139
	Mišljenje etičkog komiteta KCU Sarajevo	141
	Potvrda o izvodljivosti studije istraživanja za doktorsku disertaciju,	142

1. UVOD

Virus humane imunodeficijencije-HIV (eng. Human Immunodeficiency Virus) je virus, koji kod neliječenih pacijenata uzrokuje stečeni sindrom imunodeficijencije-AIDS (eng. Acquired Immunodeficiency Syndrome). Bolest je praćena stanjem opadanja imunog sistema pacijenata, dovodeći ih u rizik za nastanak po život opasnih oportunističkih infekcija (1) (2).

Prema literaturnim podacima, godina 1981. se smatra početkom epidemije HIV, iako istraživači smatraju da je ovaj virus postojao i puno godina prije. Virus humane imunodeficijencije prvi put je izolovan 1983. godine, kod pacijenta sa limfadenopatijom, da bi se godinu dana poslije ustanovilo da ovaj virus izaziva AIDS (3).

Virus humane imunodeficijencije i AIDS su trenutno jedni od najvećih zdravstvenih problema današnjice, od kojih je do sada umrlo više od 35,4 miliona ljudi, a prema najnovijim statističkim podacima u svijetu od ovog virusa zaraženo je 36,9 miliona osoba (4). HIV virus je po strukturi RNK virus, i pripada porodici retrovirusa, odnosno porodici Orthorethrovirinae i rodu Lentivirus. Virusi ovog roda odlikuju se dugim trajanjem inkubacije, odnosno periodom od ulaska virusa u ćelije domaćina pa do razvoja simptomatske bolesti. Specifičnost za retroviruse je da sadrže ribonukleinsku kiselinu (RNK), a ne deoksiribonukleinsku kiselinu (DNK). Oni se ne mogu replicirati izvan živih ćelija domaćina, ali su u mogućnosti koristiti svoju RNA i DNK domaćina kako bi napravili virusnu DNK kroz model obrnute transkripcije. Ovaj proces se odvija pod djelovanjem enzima virusne RNK-zavisne DNK polimeraze, poznatijeg pod nazivom reverzna transkriptaza (RT). Kada se virus nalazi unutar ćelije domaćina, virusna čestica ogoli svoju sfernu ovojnicu čime oslobađa svoju RNA, a nove ćelije domaćina koristi da se stalno replikuje. Virus je diploidan i sadrži dvije identične jednolančane RNK kopije pozitivnog lanca. RNK genom kodira najmanje 9 proteina, uključujući: *Gag*, *Pol*, *Env*, *Tat*, *Ref*, *Nef*, *Vif*, *Vpu* i *Vpr*. Tri glavna gena su *gag*, *pol* i *env*. *Gag* kodira proteinske jezgre, *pol* gen kodira enzime reverzne transkriptaze, proteaze i integraze, dok *env* gen kodira HIV strukturne komponente poznatije kao glikoproteini. Drugi RNK genomi su važni za replikaciju virusa i povećanje stope infektivnosti HIV-a. Virus HIV-a se sastoji od cilindričnog središta okruženog sferičnim lipidnim dvoslojem. Dva su glavna virusna glikoproteina u ovom lipidnom dvosloju, i to: *gp120* i *gp41*. Glavna funkcija ovih proteina je posredovanje u prepoznavanju CD4+ (engl. Cluster of Differentiation 4) ćelija i hemokinskih receptora, uglavnom CCR5 i CXCR4, čime je omogućeno vezanje virusa i napadanje ćelija domaćina. Druge ćelije koje posjeduju hemokinske receptore su također pogođene, uključujući: monocite, makrofage i dendritičke ćelije. Virus HIV-a postoji u dvije

forme i to: HIV 1 i HIV 2, te postoji uvjerenje da i jedan i drugi mogu biti preneseni krvnim putem sa afričkih ne primata na ljude (5) (6).

Prva faza HIV infekcije je period povezan sa intenzivnom replikacijom virusa. HIV infekcija se karakteriše progresivnim smanjenjem CD4+ T-ćelija zbog njihove smanjene sinteze i povećanog uništavanja i izrazite aktivacije i ekspanzije CD8+ T-ćelijskog odjeljka (7) (8). Jednom uspostavljena HIV provirusna DNK unutar genomom inficirane ćelije domaćina ne može se eliminisati ili uništiti osim uništavanjem same ćelije. HIV provirusna DNK zatim usmjerava svoju replikaciju u inficiranim ćelijama domaćina. Ova replikacija prvi put se pojavljuje unutar upalnih ćelija na mjestu infekcije ili unutar mononuklearnih ćelija (CD4 limfociti i monociti) periferne krvi, a zatim glavno mjesto replikacije brzo se prebacuje u limfoidno tkivo tijela (limfni čvorovi i gastrointestinalni trakt). Nakon početne ekspanzije virusne replikacije koja slijedi odmah nakon infekcije, nastavlja se replikacija na nižem nivou, što objašnjava klinički očiglednu dugu inkubaciju bolesti. Međutim, replikacija virusa je stimulirana različitim citokinima kao što su interleukini i faktor nekroze tumora, koji aktiviraju CD4 limfocite i čine ih osjetljivijima na HIV infekciju. Aktivacija virusne sinteze dovodi do oslobađanja novih infektivnih čestica iz ćelija domaćina. Replikacija također može uzrokovati lizu ćelija oslobađanjem dodatnih infektivnih virusnih čestica. Smrt ćelije domaćina može biti posredovana preko nekoliko različitih mehanizama, kao što su: direktni citopatski učinci virusa, fuzija s multinuklearnim divovskim ćelijama, citotoksični imuni odgovor drugih limfocita (CD8 + citotoksični T-limfociti), autoimuni mehanizmi, ometajuća interakcija proteina omotača HIV-a sa ćelijskom membranom, imunološki klirens uslovljen promjenom antigenosti ćelija domaćina, aktivacija apoptoze (programirana ćelijska smrt), ili toksično nakupljanje virusne DNK, RNK ili proteina. (9)

HIV infekcija u početnom stadijumu je asimptomatska, kada klinički znaci nisu prisutni, ali je bolest moguće dokazati laboratorijskim analizama kada postoje elementi slabljenja imunog sistema. Međutim, vremenom imunski sistem još više slabi pa bolest ulazi u simptomatsku fazu koja je praćena pojavom oportunističkih infekcija ili nastankom tumora (10).

1.1. AIDS i starenje

Proces starenja kod bolesnika s HIV infekcijom, bilo da su na dugotrajnoj antiretrovirusnoj terapiji (ART) ili ne, još uvijek je slabo shvaćen, pa se trenutno provode brojna istraživanja. Mnoge abnormalnosti imunskog sistema su povezan sa HIV infekcijom, koje su jako slične abnormalnostima imunskog sistema pri starenju. Oni podrazumijevaju nizak broj CD4 ćelija, visoke stope imunске aktivnosti, te smanjenu aktivnost timusne žlijezde. Hronična infekcija sama po sebi ubrzava starenje. Osim toga, još jedan proces starenja, poznatiji kao oksidativni stres, je naglašen, kojeg karakteriše višak slobodnih radikala koji posljedično ugrožava imunski sistem, čime stvaraju povoljne uslove za razmnožavanje samog virusa. Infekcija sa HIV-om i proces starenja su uzročno-posljedično povezani i mogu pogoršavati jedni druge (11).

S obzirom na to da se dugotrajnim korištenjem ART potiskuje viremija i poboljšava broj CD4 ćelija, to bi moglo značiti da patološka stanja povezana sa AIDS-om bi mogu postati rijedja. Međutim, zbog povećanja očekivanog životnog vijeka komplikacije povezane sa starenjem postaju sve češće. Nekoliko studija je zaključilo da je nivo postignutog broja CD4 na ART značajan prediktor učestalosti takvih komplikacija, koji se jednim imenom nazivaju ne-AIDS stanja ili komorbiditeti. Oni uključuju bolesti jetre, zatim kardiovaskularne bolesti poput visokog krvnog pritiska, moždanog ili srčanog udara, zatim bolesti bubrega, maligne bolesti, osteoporozi, gubitak memorijskih i drugih moždanih funkcija i intelektualno propadanje (12). Na početku primjene ART, terapijski protokol liječenja ovih bolesnika išao je po principu visokih doza lijekova koje su uzrokovale veći broj njihovih neželjenih pojava, što je dovelo do slabijeg pridržavanja terapije od strane pacijenata, kao i smanjenja dugoročnog preživljavanja. Tokom godina, broj lijekova koje su uzimali dnevno i doze samog lijeka su se reducirale. Mnogi moderni terapijski protokoli su se sveli na samo jednu ili dvije tablete dnevno, čime su znatno smanjili neželjenih dejstava. Paradoksalno, pacijenti sa HIV infekcijom postajali su stariji, jer su duže živjeli. Prema podacima Ujedinjenih nacija (UN), procjenjuje se da je u području subsaharske Afrike u 2015. godini više od 2 miliona ljudi sa HIV infekcijom živjelo sa u prosjeku preko 50 godina. U Južnoj Africi je 10,8% pacijenata bilo starosne dobi od 50 do 54 godine, 4,5% su u dobi od 55 do 59 godina, a 3,9% u dobi od 60 godina ili starije. Međutim, starenjem se povećavao broj bolesti povezanih s godinama, a sami pacijenti su bili prinuđeni da počnu uzimati lijekove za smanjenje masnoća u krvi, antihipertenzive, itd (13).

1.2. Terapija HIV/AIDS-a

Antiretrovirusna terapija (ART), odnosno kombinacija antiretrovirusnih lijekova (cART- engl. Combination antiretroviral therapy) preporučuje se za sve inficirane bolesnike HIV virusom kako bi se smanjio rizik od napredovanja bolesti. Primarni cilj ART je spriječiti HIV-povezane bolesti i smrtnost, a sekundarni cilj je da se smanji rizik od prijenosa HIV-a. Ovaj cilj se najbolje postiže pomoću efikasne ART, kojom se maksimalno inhibira HIV replikacija, tako da plazmatska HIV RNK (viremija) ostaje ispod nivoa kojeg je moguće detektovati pomoću komercijalno dostupnih testova. Supresija virusa poboljšava imunski sistem i ukupni kvalitet života, te smanjuje rizik za nastanak i AIDS i ne-AIDS-definisanih bolesti, čime se značajno utiče na produženje životnog vijeka ovakvih bolesnika (14) (15).

Efikasnom i savremenom terapijom za HIV/AIDS-a život ovakvih pacijenta je značajno produžen. Globalno, smrtnost povezana s AIDS-om opada, i to uglavnom kao posljedica primjene antiretrovirusne terapije. (16) Terapijske smjernice u liječenju HIV infekcije su se mijenjale, modifikovale pronalaskom novih lijekova. Naši kliničari u terapiji i praćenju HIV/AIDS su se pridržavali evropskih smjernica EACS-a (engl. EACS - The European AIDS Clinical Society). Evropsko kliničko udruženje za AIDS (EACS) predstavlja organizaciju čija je uloga promovisanje dostignuća u standardima brige, istraživanja i obrazovanja u vezi sa HIV infekcijom i koinfekcijama, kao i aktivno uključivanje u formulisanje politike javnog zdravlja, smanjenju incidence HIV-a u Evropi (17).

Faktori koje treba uzeti u obzir prilikom odabira početnog terapijskog režima. Izbor početnog ART određivao se individualno za svakog pacijenta, a zasnovan je na nekoliko faktora vezanih za pacijenta, kao i za same lijekove (Tabela 1.).

Tabela 1. Faktori koje je potrebno razmotriti prilikom započinjanja ART kod terapijski naivnih pacijenata

Faktori povezani s pacijentom
• Spremnost pacijenta da započne ART i drži se doživotne terapije
• Genotipski profil rezistencije
• Socijalno i psihološko stanje pacijenta (npr. zloupotreba droga, depresija)
• Životno okruženje pacijenta i socijalna podrška
• Faktori rizika (npr. kardiovaskularna bolest, jetrena/bubrežna i/ili gastrointestinalna bolest)
• Komorbiditeti (npr. HBV/HCV infekcija, kardiovaskularna bolest, tuberkuloza, bubrežna ili jetrena bolest)
• Trudnoća
Faktori povezani sa lijekom
• Potencijalni neželjeni efekti
• Interakcija s drugim lijekovima
• Pogodnost (opterećenje tabletama, frekvencija doziranja i restrikcija ishrane)

Smjernice za liječenje HIV infekcije preporučuju različite klase lijekova kao opcije prve terapijske linije. One uključuju nenukleozidne inhibitore reverzne transkriptaze (NNRTI), nukleotidne inhibitore reverzne transkriptaze (NRTI), inhibitori proteaze, (PI; sa ili bez pojačavanja ritonavira) i inhibitori prijenosa integrazne niti (INSTI). Generalno, smjernice širom svijeta se ne razlikuju i preporučuju upotrebu kombinacije lijekova sa dvostrukim NRTI kao osnovom (kičmom) terapije, zajedno sa jednim od slijedećih lijekova: NNRTI, PI pojačane ritonaviro (PI/r) ili INSTI (Tabela 2.) (18).

Tabela 2. Evropsko kliničko društvo za AIDS preporučilo je početne režime kombinovanja antiretrovirusne terapije za naivne odrasle pacijente (18 godina ili starijih) sa HIV infekcijom

Odabrati jedan lijek iz kolone A i jedan lijek iz kolone B	A	B	Preporučene doze
Preporučeno	NNRTIs	TDF/FTC	
	EFV ^a	ABC/3TC ^{bc}	
	NVP ^d		
	Ili Ritonavir pojačani PI		
	ATV/r		ATV/r: 300/100mg 1x dnevno
	DRV/r		DRV/r: 800/100mg 1x dnevno
	LPV/r ^e		LPV/r: 400/100mg 2x dnevno ili 800/200mg 1x dnevno
Alternativno	INSTI		
	RAL		RAL: 400mg 2x dnevno
	SQV/r	AZT/3TC	SQV/r: 2000/100mg 1x dnevno
	FPV/r	ddl/3TC ili FTC ^f	FPV/r: 700/100mg 2x dnevno or 1400/200mg 1x dnevno
	MVC		Doza zavisi od glavnog lijeka

3TC: lamivudin; ABC: abacavir; ATV: atazanavir; AZT: zidovudine; ddI: didanosine; DRV: darunavir; EFV: efavirenz; FPV: fosamprenavir; FTC: emtricitabine; LPV: lopinavir; MVC: maraviroc; NNRTIs: nenukleozidni inhibitori reverzne transkriptaze; NRTI: nukleozidni inhibitori reverzne transkriptaze; NVP: nevirapin; RAL: raltegravir; SQV: saquinavir; TDF: tenofovir disoproksil fumarate.

- a) EFV nije preporučen kod trudnica ili žena koje ne koriste kontracepciju; nije aktivan za HIV-2 i HIV-1 grupu O.
- b) ABC/3TC je kontraindikovan ako je HLA B 5701 pozitivan. Čak i ako je HLA B 5701 negativan, potrebno je savjetovanje o riziku nastanka hipersenzitivne reakcije.
- c) ABC bi trebao biti korišten sa oprezom kod pacijenata sa visokim kardiovaskularnim rizikom i/ili kod pacijenata sa viremijom > 100 000 kopija/mL.
- d) NVP koristiti s velikim oprezom kod žena sa CD4+ brojem ćelija većim od 250 /ml i kod muškaraca sa CD4+ brojem ćelija većim od 400 /ml; nije aktivan u HIV-2 i HIV-1 grupi O.
- e) LPV/r (Kaletra1) je jedini PI koformulisan sa ritonaviirom.
- f) ddl/3TC ili FTC jedino ako nisu dostupni ili je pacijent netolerantan na preporučene NRTIs (17) (18).

1.2.1. Klinički vodiči za tretman HIV/AIDS bolesnika u BIH

Od 2003. godine antiretrovirusna terapija dostupna je u Bosni i Hercegovini (BIH). Odabir inicijalne ART zavisio je od broja CD4, nivoa viremije, prisustva/odsustva HIV rezistencije, prognoze adherencije, komorbiditeta, neželjenih dejstava lijekova, interakcije sa drugim lijekovima kao i same cijene lijeka. Zbog relativno malog broja HIV inficiranih, neki antiretrovirusni lijekovi nisu se mogli registrovati u BIH (visoka cijena registracije, mala potrošnja, neisplativost proizvođača), samim tim imali smo manji broj raspoloživih lijekova u odnosu na EU (Evropsku uniju), cijena nekih lijekova je jako visoka za zemlju poput BIH, te se terapijski izbor svodio na odabir povoljnih (jeftinijih) i dostupnih lijekova (Tabela 3.) (19) (20).

Tabela 3. Antiretrovirusna terapija dostupna u BIH

Naziv lijeka(Internacionalni nezaštićeni)	Akronim lijeka
Zidovudin	ZDV
Didanozin	Ddl
Stavudin	D4T
Lamivudin	3TC
Abakavir	ABC
Zidovudin/Lamivudin	Combivir
Nevirapin	NVP
Efavirenz	EFV ili EFZ
Lopinavir/Ritonavir	LPV/r
Indinavir	IDV
Ritonavir	RTV
Nelfinavir	NFV
Saquinavir	SQV
Tenofovir	TDF
Tenofovir/Emtricitabin	TDF+FTC
Abakavir/Lamivudin	ABC/3TC
Raltegravir	RAL

Za inicijalni ART tretman korišteni su klinički vodiči u skladu sa smjernicama EACS, odnosno dvije kombinacije, PI ili NNRTI plus kombinacija dva NRTI kao osnova cART za većinu pacijenata (21) (22).

1.3. Kardiovaskularni rizici i kardiovaskularna oboljenja

Uprkos mnogim značajnim naprecima u liječenju kardiovaskularnih bolesti (KVB), ova oboljenja i dalje su najčešći uzrok smrtnosti u svim zemljama. U razvijenim zemljama od KVB umire više ljudi nego od bilo koja druge bolesti, a u zemljama s niskim i srednjim dohotkom smrtnost je u porastu. Stopa smrtnosti od ishemijske bolesti srca i moždanog udara povećala su se širom svijeta. Čak i u Sjedinjenim američkim državama (SAD), gdje su stope smrtnosti od kardiovaskularnih bolesti postepeno opadale u odnosu na svoj vrhunac u 1960-im godinama prošlog vijeka. Ova stopa pada značajno se usporila od 1990. godine, mada se vjeruje da će do 2030. godine, 40,5% populacije imati neki oblik kardiovaskularne bolesti. Prihvaćeno je mišljenje da je kardiovaskularna bolest posljedica niza hroničnih stanja koja nastaju uslijed složene interakcije između genetske predispozicije i uticaja okoline koji dovode do progresivnog pogoršanja strukture i funkcije kardiovaskularog tkiva. Uopšteno je vjerovanje da iako genetski defekti leže u osnovi nekih rijetkih oblika srčanih bolesti, većina kardiovaskularnih oboljenja nastaje zbog interakcija između genetske predispozicije i načina života. Iako je specifičan doprinos gena i okoline i dalje slabo shvaćena, smatra se da faktori okoline i način života imaju dominantnu ulogu u razvoju ovih oboljenja. To vjerovanje se temelji na rezultatima mnogih studija koje pokazuju da se kardiovaskularna oboljenja u velikoj mjeri mogu spriječiti zdravim načinom života (23).

Otkrivanje i kontrola kardiovaskularnih faktora rizika ostaju ključna strategija u prevenciji KVB. U tom smislu, pušenje, hipertenzija, hiperholesterolemija, te šećerna bolest su klasični, dobro uspostavljeni, modifikovani faktora rizika. Gojaznost je jedan od glavnih učesnika, bilo kao nezavisni riziko-faktor za kardiovaskularna oboljenja, bilo kroz njegovu povezanost s drugim faktorima rizika, uključujući hipertenziju, dislipidemiju, itd. U novije vrijeme, visok nivo visoko-senzitivnog C-reaktivnog proteina (hsCRP), kao biomarkera sistemske upale niskog stepena dovodi se u vezu sa gojaznošću i obilježjima metaboličkog sindroma, stoga se pominje se kao novi prediktor za nastanak kardiovaskularnih oboljenja (24).

1.3.1. Hipertenzija

U svijetu sada od hipertenzije boluje oko milijardu ljudi. Od toga, 95% ima hipertenziju nepoznate etiologije, nazvanu esencijalna hipertenzija, a takvi bolesnici su zavisni svakodnevno od antihipertenziva . (25)

Višak soli u hrani, nizak unos kalijuma hranom, prekomjerna težina i gojaznost, fizička neaktivnost, konzumiranje alkohola, pušenje duhana, socioekonomski status, psihosocijalni faktori, stres i i šećerna bolest smatraju se faktorima rizika za nastanak arterijske hipertenzije (26).

Mnogi signalni putevi uključeni su u regulaciju krvnog pritiska u esencijalnoj hipertenziji. To uključuje: angiotenzin II-simpatički nervni-CD4+ T ćelijski sistem, put koji se sastoji od niza gena koji učestvuju u kontroli regulacije soli u bubrezima i puteva koji posreduju u konstrikciji i dilataciji glatkih mišićnih ćelija krvnih sudova. Disfunkcija bilo kojeg od ovih puteva dovodi do povećanja tonusa u arterijama, što rezultira visokim krvnim pritiskom. Tačna etiologija i patogeneza esencijalne hipertenzije slabo je shvaćena, što dovodi do nespecifičnog i manje efikasnog liječenja. U SAD, 50% bolesnika sa hipertenzijom nema dobro kontrolisani krvni pritisak, a oko 5 miliona pacijenata je otporno na antihipertenzivne lijekove, pa se liječe kombinacijom najmanje tri antihipertenzivna lijeka. Nedostatak dobro kontrolisanog visokog krvnog pritiska dovodi do oštećenja ciljnih organa. Tako je esencijalna hipertenzija postala glavni faktor rizika za srčani udar, moždani udar, hronično oslabljenje srca i bubrega (25).

1.3.2. Pušenje

Nijedna navika nema više negativan utjecaj na bolesti srca i pluća od navike pušenja duhana. U prosjeku, odrasli sa ovim navikama, umiru 13 do 14 godina ranije nego nepušači. U SAD-u pušenje se dovodi u vezu s 443.000 prijevremenih smrtnih ishoda godišnje, što predstavlja godišnji gubitak od preko 5 miliona potencijalnih godina života i 193 milijarde dolara direktnih troškova liječenja i gubitka produktivnosti. Iako pušenje povećava rizik od razvoja raka pluća i respiratornih bolesti, gotovo polovina prerane smrtnosti povezana s pušenjem je posljedica je kardiovaskularnih bolesti. Pušači imaju gotovo dvostruko veći rizik od srčane bolesti i deset puta veći rizik za razvoj bolesti krvnih sudova od nepušača (arterija i vena). Pušači su također podložni nastanku aritmija, moždanih udara i iznenadne srčane smrti. Pušenje značajno (45-80%) povećava rizik od zastoja srca. U poređenju s nepušačima, čak i

pušači koji puše 6 do 9 cigareta na dan imaju veći rizik za srčani udar. Čak i pasivno pušenje (izloženost duhanskom dimu) može povećati rizik za nastanak kardiovaskularnih bolesti. Velika tendenca pušača da obole od srčanih oboljenja temelji se na osjetljivosti kardiovaskularnih tkiva na udisanje drugih zagađivača. Uzimajući u obzir vrijeme izloženosti, studije o zagađenju vazduha, izloženosti pasivnom pušenju i pušenju dosljedno su pokazale veće posljedice na kardiovaskularni sistem u odnosu na one koje su povezane s rakom pluća ili čak respiratornim bolestima (23).

1.3.3. Gojaznost

Svjetska zdravstvena organizacija (SZO) definiše gojaznost ili prekomjernu tjelesnu težinu kao abnormalno ili prekomjerno nakupljanje masti i predstavlja rizik za kardiovaskularne bolesti i smrtnost. Indeks tjelesne mase (ITM): težina osobe (u kilogramima) podijeljena sa visinom na kvadrat (u metrima), dobro je prihvaćena i postala je tradicionalna mjera gojaznosti. Osoba s ITM od 20-25 kg/m² smatra se normalno uhranjenom, a iznad 25 do 30 kg/m² smatra se prekomjernom težinom. Nadalje, gojaznost je podijeljena u tri kategorije prema ITM: klasa I (sa ITM od 30 do 35 kg/m²), klasa II (sa ITM od 35 do 40 kg/m²) i klasa III (sa ITM >40 kg/m²). Nedavno je identifikovana nova metoda za mjerenje rizika specifično povezanog s abdominalnom gojaznošću, poznata kao indeks oblika tijela (eng. Body Shape Index). On se zasniva na odnosu obima struka i proizvodu 2/3 ITM i polovine visine tijela. Vjeruje se da je bolji prediktor raznih oboljenja od klasičnog ITM, kao najčešće mjere koja se koristi za definisanje i praćenje gojaznosti. U posljednjih nekoliko godina, evidentno je da su neaktivni način života, nezdrava ishrana obogaćena obrađenom i konzerviranim hranom, nedostatak sna i tjelesne aktivnosti doveli do epidemije gojaznosti. Gojaznost utiče na hroničnu upalu niskog stepena koja dovodi do razvoja metaboličkog sindroma. U opštoj populaciji prekomjerna tjelesna težina povećava rizik za nastanak aterogeneze, infarkta miokarda i posljedične hronične srčane insuficijencije sa ili bez metaboličkog sindroma (MS) (27).

1.3.4. Dislipidemija

Dislipidemija je definisana kao poremećaj nivoa jednog ili više lipoproteina u krvi, kao što su povišeni ukupni holesterol, lipoproteinski holesterol niske gustine (LDL) i/ili povećan nivo triglicerida, kao i/ili niski nivo holesterola visoke gustine (HDL). Rezultati velikog broja studija pokazali su da mnoge osobe sa dislipidemijom su bile nedovoljno dijagnostikovane i procjenjuje se da će se prevalenca dislipidemije u SAD i Zapadnoj Evropi povećati po stopi na 1,76% godišnje i premašiti 500 miliona u 2022. godini. Očekuje se da će broj osoba s dislipidemijom preći 78 miliona u razvijenim zemljama do 2022. godine. Prevalenca dislipidemije je visoka i kontinuirano raste u mnogim zemljama u razvoju i nerazvijenim zemljama kao posljedica loše prehrane, gojaznosti, starenja stanovništva, smanjene tjelesne aktivnosti i drugih nepovoljnih promjena u načinu života. Dislipidemija je i jedan od najvažnijih faktora rizika za nastanak kardiovaskularnih bolesti, koje su takođe glavni uzrok morbiditeta i mortaliteta u svijetu (28).

1.4. HIV infekcija i kardiovaskularna oboljenja

Srce nije često mjesto gdje se dešavaju oportunističke infekcije i neoplastički procesi kod bolesnika s AIDS-om. Aterosklerotska kardiovaskularna bolest, koja dovodi do srčane ishemije i infarkta, može biti i prisutna i kod pacijenata sa AIDS-om. U svim zemljama postoji trend rasta HIV inficiranih osoba na cART, kojima je produžen životni vijek. Klinički, bolesti srca kod ovakvih pacijenata mogu biti popraćeni bolovima u prsima, tahikardijom, raznim aritmijama, izljevima i kongestivnim popuštanjem srca. Može doći i do blage kardiomegalije. Srčane manifestacije kod djece sa AIDS-om slične su onima kod odraslih. Vjerovatnije je da će djeca sa HIV-om pokazati prijevremenu aterosklerozu. Takođe preovladava dislipidemija među djecom koja žive s HIV-om, bez obzira da li su na ART ili ne. Gotovo trećina djece koja prima ART može razviti lipodistrofiju. Prije uvođenja ART-a do 25% djece zaražene HIV-om imalo je kardiovaskularne simptome, uključujući smanjenu funkciju i hipertrofiju lijeve komore. U eri ART-a, HIV-om zaražena djeca imala su veću učestalost dijastolne disfunkcije i značajno povećan indeks mase lijeve komore u poređenju sa HIV negativnim kontrolama (29).

HIV inficirane osobe imaju povećan rizik za koronarnu arterijsku bolest u odnosu na zdrave ljude. HIV infekcija može dovesti do imunske aktivacije i hronične upale niskog stepena koja potiče aterosklerozu. Ovi faktori međusobno su jako povezani. Patološka oštećenja, položaj

oštećenja i sastav aterogenog plaka su slični aterosklerozi kod HIV-negativnih pacijenata. Osobe sa HIV infekcijom na ART, posebno oni koji su liječeni inhibitorima proteaze (PI) starije generacije kao što su ritonavir i indinavir, su izloženi povećanom riziku za razvoj KVB zbog sindroma lipodistrofije i viremijske endotelne disfunkcije koja potiče aterogenezu na krvnim sudovima. U ovom sindromu postoji umjerena hiperholesterolemija i izražena hipertrigliceridemija zajedno sa inzulinskom rezistencijom i intolerancijom na glukozu, koji su tipični za šećernu bolest. To su zapravo nalazi karakteristični za metabolični sindrom (10).

1.5. HIV i endotelna disfunkcija

Glikoprotein HIV virusa Gp120 je povezan sa apoptozom, ekspresijom adhezijskih molekula, produkcijom upalnih citokina i propusnošću endotelnih ćelija. Gp120 je prisutan na površini virusno inficiranih ćelija, ili kao slobodni topljivi protein uzrokuje endotelnu apoptozu pretežno direktnom interakcijom s koreceptorom, CXCR4. Gp120 inducira apoptozu endotelnih ćelija ljudskog koronarnog sistema, endotelnih ćelija ljudske umbilikalne vene, endotelnih ćelija plućne i moždane mikrovaskularizacije. Apoptoza endotelnih ćelija je važan proces, u početku u nastanku aterosklerotskog plaka, a kasnije i napredovanje u veći stadijum ateroskleroze, kada plakovi postaju osjetljivi i pucaju. Molekularni mehanizam pomoću kojeg gp120 ispoljava svoju endotelnu toksičnost, može uključivati aktivaciju kaspaze-3, regulaciju Baxa, aktivaciju protein kinaze C i signalizaciju p38 mitogeno-aktivirane proteinske kinaze. Gp120 takođe inducira povećanje reaktivnih vrsta kiseonika, odnosno povećanje oksidativnog stresa u endotelnim ćelijama. Oksidativni stres izazvan stvaranjem viška reaktivnih kiseonikovih vrsta je ključan u procesu razvoja ateroskleroze. HIV-om inducirana produkcija reaktivnih vrsta kisika vjerojatno doprinosi disfunkciji endotela direktnim učincima na endotel i/ili indirektno preko monocita/makrofaga koji dodiruju krvne sudove. Virusni glikoprotein takođe može povećati sekreciju endotelina-1 (ET-1) i promovisati površinsku ekspresiju aktivisanog monocitnog endotelnog polipeptida II. Endotelin-1 posreduje u smanjenju proizvodnje vaskularnog azotnog oksida endotelnih ćelija, što dovodi do proliferacije glatkih mišića i migracije, i na kraju do arterijske vazokonstrikcije. Endotelni polipeptid II aktivacije monocita oslobađa se kao odgovor na stres, kao što su hipoksija, mehanička napetost ćelija i apoptoza, te djeluje kao pro-apoptotički faktor. Osim toga, skorašnje istraživanje je pokazalo da HIV gp120 (X4 i R5) potiče starenje endotelnih ćelija i oštećuje regulacijsku mikro-RNK povezanu sa starenjem. Starenjem endotelne ćelije razvijaju

disfunkcionalni fenotip koji dobiva proinflamatorna, prooksidantna, vazokonstriktivna i protrombotička svojstva (30).

1.6. Imunski sistem i limfociti

Imunski sistem se razvio kao odbrana organizma od zaraznih bolesti. Osobe sa izrazito slabim imunim odgovorom ukoliko se neadekvatno liječe, podliježu brojnim infekcijama u ranom životu. Iako je za veći dio imunskog odgovora zadužen stečeni imunitet, koji djeluje preko antitijela i aktiviranih limfocita, neizostavno je spomenuti i urođeni imunitet koji je filogenetski stariji i važan je u smislu brzine odgovora, mada s manjom efektivnošću. Urođeni imunitet učestvuje u mehanizmima, kao što su: fagocitoza bakterija putem tkivnih makrofaga, uništavanjem progutanih uzročnika bolesti preko probavnih enzima i želučane kiseline, zaštitnička funkcija kože i putem krvi koja posjeduje određene hemijske sastojke koji mogu uništavati strana tijela i toksine. Za stečeni imunitet odgovorni su limfociti. Limfociti su agranulocitni leukociti koji se dijele na: limfocite B, limfocite T i ćelije „prirodne ubice“ (eng. natural killer; NK-ćelije). Stečeni imunitet se može podijeliti na humoralni i ćelijski imunitet. Humoralni imunitet karakteriše stvaranje antitijela na određeni antigen. Antitijela su proteini plazme, poznatiji pod nazivom imunoglobulini (Ig). Limfociti koji proizvode imunoglobuline, a koji zavise od koštane srži, poznati su kao B limfociti. Odgovarajući na stimulaciju antigena, B limfociti će sazrijeti do plazma ćelija koje zatim stvaraju imunoglobuline. Poznato je nekoliko klasa imunoglobulina, a to su: M, G, A, D i E (31).

Ćelijski imunitet se postiže tako što se stvaranjem većeg broja aktiviranih specifičnih limfocita uništavaju strani agensi. U ovom tipu imuniteta posreduju T limfociti. Kao dobar primjer ćelijskog imuniteta može se navesti odbacivanje transplantata od strane domaćina. T limfociti čine najveći udio limfocita, i to 60-70%. Nalaze se u limfnim čvorovima, tonzilama, limfatičnom tkivu pridruženom sluznicama disajnog i gastrointestinalnog sistema, timusu i slezeni. Na svojoj površini imaju T ćelijski receptor (TCR) kojim prepoznaju antigen predočen od strane antigen prezentujućih ćelija u sklopu HLA sistema. Prema molekulama na površini koje su bitne za funkciju limfocita, dijelimo se na CD4 i CD8 limfocite. Njihov odnos iznosi 2:1 (32).

CD4 limfociti T su pomoćni limfociti, jer izlučuju citokine kojim mogu aktivirati druge ćelije imunog sistema. CD8 limfociti još se nazivaju i citotoksičnim, jer neposredno uništavaju ćelije zaražene virusom. CD4 limfociti dijele se dalje u dvije podgrupe, a to su TH1 limfocite

koji izlučuju citokine interleukin-2 (IL-2) i interferon gama, čime aktiviraju makrofage i NK ćelije, i TH2 limfocite koji izlučuju citokine IL-4, IL-5, IL-10, a koji potiču humoralni imunitet (33).

1.7. CD4/CD8 odnos

CD4 pomoćne/inducirane ćelije i CD8 citotoksične/supresorske ćelije su dva fenotipa T limfocita. Odlikuju se izražajnim površinskim markerima i funkcijama koje se uglavnom ispoljavaju u limfnim čvorovima, ali i cirkulirajućoj krvi. Normalan odnos CD4/CD8 kod zdravih ljudi nije u potpunosti definisan. Odnos CD4/CD8 između 1,5 i 2,5 uopšteno se smatra normalnim; međutim, postoji široka heterogenost u tome, jer pol, dob, etnička pripadnost, genetika, izloženost i infekcije mogu uticati na ovaj odnos. Normalni odnosi CD4/CD8 mogu se obrnuti kroz izolovanu i ciljanu ćelijsku smrt cirkulišućih CD4 ćelija, odnosno kroz rast CD8 ćelija ili kombinacijom ova dva fenomena. Niži ili inverzni odnos CD4/CD8 je imuno-rizični fenotip i povezan je s promijenjenom imunom funkcijom, imunskim starenjem i hroničnom upalom kod HIV inficiranih osoba (34).

1.7.1. CD4/CD8 odnos kao marker HIV inficiranih i efekta cART

Prirodni tok neliječene HIV infekcije ima suprotne efekte na cirkulišuće CD4 i CD8 limfocite. Prije nego što virus HIV-a smanji broj CD4 ćelija, cirkulišuće CD8 ćelije će se obično povećati kao odgovor na infekciju, što će rezultirati niskim CD4/CD8 odnosom. U kontekstu ART-a, neki pacijenti će vratiti broj CD4, ali će doživjeti pad broja CD8, što dovodi do normalizacije odnosa. Međutim, za druge pojedince, usprkos suzbijanju viremije ART-om i poboljšanju broja CD4 ćelija, održavaju se visoki nivoi CD8 ćelija u cirkulaciji, te se odnos ne može poboljšati. Skorašnja studija presjeka kod 334 pacijenta kod kojih je HIV virus potisnut terapijom, pokazuju da niži odnos CD4/CD8 tokom liječenja predviđa održivu HIV viremiju (35). Da li je ta održiva viremija uzrok ili učinak nižeg odnosa CD4/CD8 ostaje nepoznato, ali povezanost naglašava nesklad između imunske aktivacije i imunološkog starenja kod pacijenata koji su na ART. Danas sve više istraživača se fokusira na korisnost CD4/CD8 odnosa kao biomarkera ili surogat markera i ispituje povezanost istog i ishoda u populaciji HIV inficiranih (36) (37).

CD4/CD8 odnos je tradicionalno opisivao kao marker imunostarenja u opštoj populaciji i on se sve više pojavljuje kao surogat marker u populaciji HIV-inficiranih, jer se pokazalo da

identifikuje pojedince sa kontinuiranom imunskom disfunkcijom koji su kao takvi od većeg rizika za AIDS, ne-AIDS bolesti i smrtnost uprkos normalizaciji CD4 nivoa tokom ART. Dokazano je da odmah započeta terapija (ART) je povezana sa bržim porastom broja CD4, kao i porastom CD4/CD8 odnosa (38).

Međutim, u studiji Serrano-Villar i sar., na HIV-inficiranim pojedincima tretiranim unutar 6 mjeseci u poređenju sa HIV inficiranim koji su tretirani 2 godine, odnos CD4/CD8 je ostao nizak i nije se normalizovao kod rane terapijske grupe, nakon serkonverzija (39).

Suprotno njihovim rezultatima, Hoenigl i sar., su pronašli da su odnosi CD4/CD8 bili niži kod pojedinaca sa simptomatskom akutnom HIV infekcijom i da je isti bio u korelaciji sa trajanjem simptoma akutne HIV infekcije. Pokazano je da je rano započeta terapija (ART-započeta unutar 40 dana od procijenjenog datuma infekcije) jako povezana sa značajnim povećanjem odnosa CD4/CD8. Njihovi podaci upućuju na to da se CD4/CD8 odnos brzo smanjuje tokom akutne HIV infekcije, ali se može značajno povećati kada se rano započne ART. Autori sugerišu da rani početak ART može dovesti do značajnog povećanja CD4/CD8 odnosa i smanjiti rizik za ne-AIDS bolesti i smrtnost (40).

1.7.2. CD4/CD8 odnos, starenje i imunska aktivnost

Prevalenca inverznog CD4/CD8 odnosa raste sa starošću i u opštoj populaciji. Pokazano je da je obrnuti odnos zastupljen kod 8% osoba starosne dobi od 20 do 59 godina, te 16% u dobi od 60 do 94 godina. U pogledu polnih razlika osobe ženskog pola u svim dobnim grupama imaju manju vjerovatnoću za obrnuti CD4/CD8 odnos u odnosu na osobe muškog pola. Atrofija timusa uzrokovana starošću i hormonima mogla bi objasniti polne razlike u ovom odnosu. Hormonski uticaj na CD4/CD8 odnos je dokazan korelacijom između niske plazmatske koncentracije estradiola, visokih nivoa cirkulišućeg CD8 i niskog odnosa CD4/CD8 kod žena sa preuranjenom disfunkcijom jajnika. Eksperimentalni modeli na miševima dodatno naglašavaju povezanost starosti i estrogena, na način da je niži odnos CD4/CD8 zabilježen kod životinja nakon prirodne menopauze i ovariektomije. Perzistencija timusa povezana je s boljim oporavkom odnosa CD4/CD8 tokom liječenja HIV-a (34).

Castilho i sar. su dokazali značajnu negativnu korelaciju između odnosa CD4/CD8 i starosne dobi. Dosadašnjim istraživanjima uočeno je da HIV-om zaraženi pacijenti pokazuju promjene u stečenom imunskom sistemu koji su ujedno karakteristični i za starije osobe. Shodno tome, istraživači su predložili uvođenje novih pojmova kao što su: inflamacija kao rezultat starenja (*eng.* *inflammaging*) i imunostarenje, mada je ovakav imunski fenotip specifičan, kako za

pacijente zaražene HIV-om, tako i za starije osobe (41). Kod HIV neinficiranih, inverzija odnosa CD4/CD8, odnosno sa vrijednosti manje od 1, smatraju se stanjem imunskog rizika i predstavlja značajan biomarker imunostarenja. Vjeruje se da je ovako nizak odnos CD4/CD8 prediktor veće smrtnosti HIV inficiranih. Važno je naglasiti da većina HIV inficiranih bolesnika prije početka same ART pokazuje nizak odnos CD4/CD8. Tokom ART dolazi do postepenog povećanja broja CD4 limfocita, ali značajan broj pacijenata na dugogodišnjem liječenju još uvijek pokazuje nizak odnos, iako se broj CD4 normalizuje. Vjeruje se da je razlog takvog niskog odnosa tokom terapije u činjenici da u ovoj HIV inficiranoj populaciji postoje elementi naglašene hronične imunske aktivnosti kao i imunostarenje: pokazano je da je odnos CD4/CD8 nezavisni prediktor aktivacije imunskog sistema kod pacijenata sa suprimiranom HIV infekcijom. Kod djece i adolescenata na ART-u utvrđeno je da je odnos CD4/CD8 bio povezan s povišenim nivoima CD8 limfocita koji imaju fenotip po tipu aktivacije/iscrpljivanja (perzistentne aktivacije), što je važna karakteristika imunostarenja (40).

U studiji, koju su sprovedi Serrano-Villar i sar., pokazana je značajna negativna korelacija između odnosa CD4/CD8 i parametra urođene imunske aktivacije, uključujući topive CD14, CRP i IL-6 kod HIV-inficiranih odraslih pacijenata koji su bili podvrgnuti ART-u. (39).

Iako postoje određene razlike u formi imunostarenja kod pacijenata sa HIV i osoba starije životne dobi, i jedne i druge imaju slične karakteristike: skraćivanje telomera, akumulaciju disfunkcionalnih i starosnih CD28-T-ćelija, ekspanziju CMV-specifičnih CD8+ T-ćelija i povećanje upalnih markera (42).

1.7.3. CD4/CD8 odnos i oksidativni stres

Iako je mehanizam nedovoljno razjašnjen, ipak je pokazano da oksidativni stres ubrzava starenje. Također pokazano je da oksidativni stres predstavlja rizik za nastanak velikog broja oboljenja, uključujući: kardiovaskularne bolesti, akutnu i hroničnu bolest bubrega, neurodegenerativne bolesti, makularnu degeneraciju, hroničnu opstruktivnu plućnu bolest, diabetes mellitus, maligne bolesti i dr. (43).

Dosadašnja istraživanja, u laboratorijskim uslovima ili u uslovima „in vivo“ su pokazala da pacijenti sa HIV infekcijom pokazuju znakove povećanog nivoa oksidativnog stresa u organizmu. U tom smislu pokazano je da osobe zaražene HIV-om stvaraju više nivoa reaktivnih vrsta kiseonika u monocitima, povećane koncentracije oksidovanih nukleinskih baza kao što je 8-oksogvanin, te elemente lipidne peroksidacije, uključujući povećanje koncentracija malondialdehida u plazmi. Pokazano je da pacijenti zaraženi HIV-om pokazuju znakove smanjenja ukupnog antioksidativnog kapaciteta te smanjenje nivoa odnosa glutationa i oksidiranog glutationa, kao i smanjenje nivoa glutationa u krvi, kao značajnog antioksidansa. Neizostavno je istaći da postoje dokazi o povećanim nivoima reaktivnih vrsta kiseonika u kulturi ćelija zaraženih s HIV-om (44).

U studiji, koju su sproveli Teto i sar., autori su pokazali značajnu pozitivnu korelaciju između broja CD4 limfocita i nivoa totalnog antioksidativnog kapaciteta, kao i značajnu negativnu korelaciju između broja CD4 limfocita i indeksa lipidne peroksidacije. Autori vjeruju da višak stvorenih slobodnih radikala djeluje na lipide i inducira oksidativni stres, odnosno lipidnu peroksidaciju, koja ispoljava destruktivno djelovanje kao što je apoptoza ćelija, a ujedno i jedan od vodećih uzroka smanjenja CD4 ćelija tokom HIV infekcije, posebno u ranoj fazi infekcije (45).

Muller i sar. su u svojoj studiji ispitivali odnos parametara oksidativnog stresa i odnosa CD4/CD8 kod starije populacije. Utvrdili su da pacijenti sa odnosom CD4/CD8 manjim od 1 imaju značajno niže nivoe naprednih proizvoda oksidacije proteina i više nivoe parametara lipidne peroksidacije u odnosu na ispitanike sa vrijednošću CD4/CD8 odnosa većem od 1, te značajnu negativnu korelaciju između nivoa naprednih proizvoda oksidacije proteina odnosa CD4/CD8. Njihovi rezultati su dokazali da su ispitivani markeri pokazali značajnije razlike kod ispitanika muškog pola u odnosu na ispitanike ženskog pola (46).

1.7.4. CD4/CD8 odnos i kardiovaskularni rizik

Mnogi podaci iz dostupne literature ukazuju na visoku učestalost prijevremenih kardiovaskularnih bolesti kod pacijenata sa HIV infekcijom. Istraživači vjeruju da kod ovih pacijenata dolazi do ubrzanog starenja vaskularnog endotela, koje karakteriše prisustvo hronične perzistentne inflamacije, kao i niza nepravilnosti u funkcionisanju imunskog sistema. Trenutno svi dostupni algoritmi koji procjenjuju rizik, a koji se temelje na dobro poznatim faktorima rizika, ne mogu tačno predvidjeti isti (rizik) kod velikog broja pacijenata, pa čak i onih kod kojih je prisutno više HIV-specifičnih faktora. Uvođenje pojma vaskularnog starenja našlo je primjenu u poboljšanju efikasnosti ovih algoritama. Kako god, svaki novi algoritam uz uvođenje novih potencijalnih markera ili prediktora bio bi od koristi kako za same pacijente, tako i za ljekare koji se bave ovom problematikom u smislu boljeg praćenja ne-AIDS bolesti, kao i u prognostičkom smislu o ishodu istih. (47)

U posljednje vrijeme sve više se istražuje i spominje CD4/CD8 odnos kao potencijalni prediktor ne-AIDS bolesti, u prvom redu kardiovaskularnih bolesti. U skladu s tim, Castilho i sar. su utvrdili da veći CD4/CD8 odnos godinu dana nakon HIV virusne supresije na ART je bio nezavisni prediktor smanjenja rizika za nastanak kardiovaskularnih oboljenja, posebno kod mlađih pacijenata (41).

U velikoj kohortnoj studiji koju su sproveli Mussini i sar. utvrđeno je da su HIV inficirani pacijenti podvrgnuti ART postepeno vremenom povećavali odnos CD4/CD8 limfocita. Normalizacija CD4/CD8 odnosa 5 godina tokom ART bila je zabilježena kod 29,4% pacijenata. Prateći povezanost CD4/CD8 odnosa i ne-AIDS bolesti autori su utvrdili da su pacijenti sa nižim vrijednostima ovog odnosa u značajno većem riziku za nastanak istih. Njihovi rezultati su pokazali da je CD4/CD8 odnos manji od 0,30 nezavisno povezan s povećanim rizikom za nastanak ne-AIDS bolesti ili za smrtni ishod u poređenju sa pacijentima koji su imali ovaj odnos veći od 0,45. Od ne-AIDS oboljenja koja su bila povezana sa nižim vrijednostima CD4/CD8 autori su zabilježili veću učestalost javljanja malignih bolesti, ishemijskih bolesti srca, te završni stadijum bubrežnih bolesti. Kao moguće patogeno objašnjenje povezanosti između niskog odnosa CD4/CD8 i rizika za nastanak oboljenja koja nisu povezana sa AIDS-om, može biti da je nizak odnos marker dugotrajne aktivacije imuniteta (36).

S druge strane, ispitujući povezanost odnosa CD4/CD8 i udruženih ne-AIDS bolesti kod pacijenata sa HIV-om, Menozzi i sar. su pokazali da odnos CD4/CD8 nije bio povezan s prevalencom više bolesti kod ovih pacijenata. Međutim autori su pronašli da su pacijenti koji

su imali odnos CD4/CD8 u vrijednosti $<0,8$ pokazali veću prevalencu kardiovaskularnih oboljenja. Njihovi rezultati su modelom multivarijabilne logističke regresije utvrdili je da je odnos CD4/CD8 $<0,8$ nezavisni prediktor povećanog rizika za nastak kardiovaskularnih bolesti (KVB). Autori smatraju da bi pojava imuno-aktivacije ili imunostarenja kod ovih pacijenata mogla ležati u osnovi patogeneze kardiovaskularnih oboljenja (48).

Slične rezultate predočila je studija Serrano-Villar i sar., koji su kod HIV inficiranih pacijenata podvrgnutih ART pronašli značajnu povezanost između nižih vrijednosti odnosa CD4/CD8 i debljine intime medije karotidne arterije, kao i povezanost između nižih vrijednosti odnosa CD4/CD8 i niže vrijednosti glomerularne filtracije, nezavisno od broja CD4 limfocita (40).

U svom istraživanju Gao i sar. su pokazali da je odnos CD4/CD8 bio značajno niži kod pacijenata sa kardiovaskularnim bolestima u odnosu na kontrolnu skupinu. Isti autori su ustanovili da je odnos CD4/CD8 nezavisno povezan s pojavom veće učestalosti kardiovaskularnih oboljenja kod osoba starije životne dobi. Ovakav rezultat je dobiven uz prethodno kohortiranje na prisutnost faktora rizika, uključujući: dob, spol, sistolni i dijastolni krvni pritisak, ITM, pušenje, nivo triglicerida, nivo holesteola, HDL-c, LDL-c, vrijednost CRP, kao i broj CD3, CD4 i CD8 T limfocita (49).

1.7.5. CD4/CD8 odnos i metabolički sindrom

Mnoge studije pokazuju da je ART povećala preživljavanje pacijenata sa HIV infekcijom, a da ART takođe može dovesti do nekoliko trajnih metaboličkih abnormalnosti. Međutim, podaci o učestalosti metaboličkog sindroma (MS) kod osoba zaraženih HIV-om značajno variraju u različitim opservacijskim istraživanjima (50).

HIV je stanje koje se dovodi u vezu s rezistencijom na inzulin i lipoatrofijom. Rizik od inzulinske rezistencije može se povećati ART-om, inhibitorima proteaze (PI) ili nekim drugim modusom ART. Dosadašnja istraživanja su pokazala da je prevalenca metaboličkog sindroma kod pacijenata zaraženih HIV-om slična prevalenci opšte populacije i kreće se u rasponu od 17% i 47% (51) (52).

U studiji, koju su sproveli Calza i sar., prevalenca MS u studijskoj populaciji je bila 16% za IDF kriterij. Prevalenca MS je bila značajno veća među pacijentima koji su primali cART terapiju nego među HIV pacijentima bez terapije (50).

Studija Diouf i sar. je pokazala da je od pacijenata koji su tretirani 9 godina sa cART, 37% imalo lipodistrofiju, 28% hipertenziju i 14% je dobilo šećernu bolest (53).

U longitudinalnoj studiji, koju su sproveli Tiozzo i sar., utvrđeno je da se metabolički sindrom pojavio kod 33% pacijenata koji su bili podvrgnuti ART. Nastanak metaboličkog sindroma bio je potaknut prisutnošću naglašene abdominalne gojaznosti i hipertenzije. Veća upotreba PI, povećane vrijednosti krvnog pritiska, kao i viši unos i potrošnja ugljikohidrata zabilježeni kod pacijenata koji su razvili MS, u odnosu na one koji nisu razvili isti (54).

Tesfaye i sar. su pokazali da pacijenti na ART imaju značajno povišene nivoe holesterola, triglicerida i lipoproteina niske gustine (LDL), ali i značajno niži broj CD4 u odnosu na kontrole koje nisu primale ART. Također je pokazano da pacijenti ženskog pola, pacijenti sa ITM najmanje 25 kg/m², pacijentica starošću preko 45 godina i vrijednošću ukupnog holesterola od najmanje 200 mg/dl su značajno bili povezani s nastankom metaboličkog sindroma (MS) (55).

Odnos između broja CD4 i pojave MS još uvijek je nejasan zbog toga prdmet brojnih istraživanja. Jedan broj studija pokazao je direktnu povezanost, dok druge studije nisu pokazale korelaciju ili čak obrnutu korelaciju. Kakogod, uočeno je da je visok stepen viremije povezan sa razvojem MS, koji može uticati na učestalost pojave nižih nivoa HDL i visokih nivoa triglicerida u krvi. (52)

Riangwiwat i sar. su pokazali da je niži odnos CD4/CD8 prediktor sporijeg gubitka potkožnog masnog tkiva kod HIV inficiranih pacijenata. (56)

1.8. C-reaktivni protein

C-reaktivni protein (CRP) danas je jedan od standardnih testova koji se koriste u svakodnevnoj kliničkoj praksi, za postavljanje etiologije upale (dijagnoze) i praćenje efikasnosti terapije i prognoze upale. Međutim, uloga CRP-a u različitim fiziološkim procesima nije do kraja istražena (57).

Humani CRP je akutni plazmatski protein kojeg su otkrili William Tillett i Thomas Francis još davne 1930. godine. Naziv je dobio po njegovoj sposobnosti da se taloži i integriše sa fosforilholinskim partikulama C polisaharida, produkta teihoične kiseline unutar ćelijskog zida nekih bakterija, prevashodno *Streptococcus pneumoniae* (58).

CRP je protein akutne faze upale koji pripada porodici proteina pentraksina, stvara se u hepatocitima pod uticajem citokina, u prvom redu IL-6 iz upalnog tkiva te IL-1, a indirektno i faktorom tumorske nekroze alfa (TNF- α). Referentna vrijednost CRP-a ne razlikuje se kod muškaraca i žena, a zavisi od metodologije njegovog određivanja. Osim jetrene lokacije kao

mjesta sinteze CRP-a, nađena su i druga mjesta sa manjom sintezom CRP-a kao npr.: pluća, masno tkivo, neuroni, bubrezi, limfociti, aterosklerotske lezije te glatke mišićne ćelije (59).

Njegova koncentracija u serumu raste kao odgovor na razne infekcije ili povrede tkiva. Važna je komponenta urođenog imuniteta domaćina jer je sposoban da prepozna mnoge strane patogene kao i fosfolipidnu komponentu raznih oštećenih ćelija (60).

Struktura CRP-a je zasnovana na aminokiselinama, tačnije svaka subjedinica CRP je sastavljena od 206 aminokiselina povezanih nekovalentnim vezama. (57) Jetreno izlučivanje ovog proteina je u obliku topivog pentomera (pCRP) čiji sastav čini pet identičnih monomernih subjedinica (mCRP). Kada pCRP bude izložen stanjima koja ga odvajaju na mCRP, on se spaja u lipidni kompleks, takozvani biološki aktivni oblik „CRP“ sa snažnim proinflamatornim aktivnostima, kakav nije pCRP (61).

Oblik kakav je mCRP koji se luči kao odgovor na inflamatorni stimulans, pravi kompleks sa patogenom, a potom aktivira odbranu u vidu aktivacije komplementa čak i prije nego su se proizveli specifični imunoglobulini M i G (IgM ili IgG) (57).

Sistem komplementa sastoji se od 35 plazmatskih proteina, a svaki od njih ima važnu ulogu u odbrani domaćina od različitih mikroorganizama. Proteinska kaskada se aktivira u cilju postizanja vezivanja površine mikroba za imunski sistem, te kao kompleksi budu podvrgnuti fagocitozi (62).

Dokazi pokazuju da pCRP ima veću anti-inflamatornu aktivnost u odnosu na mCRP, jer aktivira klasični put sistema komplementa, pospješuje fagocitozu i utiče na apoptozu ćelija. S druge strane, mCRP pospješuje hemotaksiju i mobilizaciju cirkulirajućih leukocita u područja upale te na taj način može odgoditi apoptozu (63).

Zdravi ljudi imaju plazmatski CRP u tragovima, vrijednosti od 1 do 5 mg/L, samtraju normalnim varijacijama, a njegov poluživot u plazmi je oko 19 sati. Vrijednosti CRP-a se počinju povećavati 4-6 sati nakon početnog oštećenja tkiva ili infekcije, sa trendom daljeg povećavanja (64).

U različitim bakterijskim infekcijama, nekrozi tkiva, parazitemiji, malignoj neoplaziji kao i različitim upalnim stanjima, serumski nivo CRP-a se može povećati za oko 100 puta unutar 48 sati. Stanja kao što su hronične infekcije ili reumatske bolesti, serumski CRP može imati trajno visoke vrijednosti. Terapijskim ili spontanom smirivanjem upalnog procesa ili stanja

koje je dovelo do njegovog povišenja, vrijednosti CRP-a se vraćaju na normalnu, početnu vrijednost (60). Vrijednosti CRP-a se ne mogu normalizovati specifičnim lijekovima, nego je normalizacija moguća liječenjem osnovnog stanja koje je uzrokovalo njegovu elevaciju (63).

Uočene su neznačajne razlike u nivou CRP-a između starijih i mlađih osoba, odnosno mogu se detektovati povišene vrijednosti CRP-a kod starijih osoba. Odlika CRP-a kao visoko senzitivnog markera inflamacije ipak ima malu specifičnost. Diskretno povećana koncentracija može sugerisati na niski stepen inflamacije ili se može naći kod gojaznih osoba, pušača, dijabetičara, pacijenata sa hipertenzijom i drugim oboljenjima. Povišene vrijednosti se mogu detektovati i u nekim hroničnim stanjima kao što su reumatske i kardiovaskularne bolesti te maligna oboljenja (65) (66).

Mnoge studije su našle vezu između CRP-a i kardiovaskularnog rizika kakav je aterosklerotski plak (66). Istraživanjima je uočeno da kod osoba sa rizikom od kardiovaskularnih bolesti, kao što su gojazne osobe, masno tkivo se detektovalo kao značajan endokrini organ. Unutar masnog tkiva se oslobađaju proinflamatorni citokini kao što su IL-1 β i IL-6 (67).

Hiperplazija adipocita dovodi do hipoksije usljed povećanog skladištenja lipida, a posljedično i proinflamatorne sekrecije adipokina. Odgovor u smislu povećane produkcije CRP-a predstavlja vezu između gojaznosti i upale (66). Istraživanja su pokazala da mCRP oblik koji je vezan za LDL predstavlja vrlo važan biološki marker u aterosklerozi (68).

Kliničke studije su do sada pokazale značaj CRP-a u akutnim upalama. Međutim, uloga ovog markera je još kontradiktorna kada se govori o hroničnim stanjima, da li je proinflamatoran marker ili protuupalan. Opisane partikule p i m CRP se ne detektuju klasičnim kliničkim i laboratorijskim ispitivanjima, tako da su i rijetke studije koje su ispitivale njihov značaj (62).

Dosadašnje studije su pokazale da povišen nivo CRP-a u plazmi predstavlja pouzdan i nezavisan pokazatelj rizika za nastanak infarkta miokarda, cerebrovaskularnog infarkta, periferne vaskularne bolesti, srčane insuficijencije, atrijalne fibrilacije i drugih kardiovaskularnih oboljenja (69) (70).

Stanja koja imaju jednosmjerni ili dvosmjerni odnos prema inflamaciji, kao što su pušenje, depresivna stanja ili psihosocijalni stres, također mogu imati povišene vrijednosti CRP-a. (71).

Metabolički sindrom je takođe bolest u kojem se mogu detektovati povišene vrijednosti ovog markera (72).

1.8.1. CRP i infekcija

Istraživanja su pokazala da je CRP snažan upalni marker koji se detektuje kao prvi u nizu nakon početka upalnog dešavanja, a sintetiše se biosintezom u jetri posredstvom IL-6 (73). Koncentracija CRP-a se povećava u cirkulaciji tokom upalnog procesa, a deponuje se na mjestima upale i oštećenja tkiva (74). Vrijednost povećanja CRP-a je bitna kod određivanja etiologije infekta, kada je veća od 100 mg/l ukazuje na bakterijsku infekciju, dok vrijednost ispod 10 mg/l sugerira virusnu upalu. Tuberkuloza i neke atipične infekcije mogu imati vrijednost CRP-a između 10 i 100 mg/l (57). Brza detekcija bakterijske infekcije u febrilnosti je od izuzetnog značaja kako bi se obezbijedilo uzročno liječenje i izbjegao nepotrebnog antibiotički tretman. C-reaktivni protein je jedan u nizu alata koji pomažu u razlikovanju bakterijskog od virusnog ili aseptičnog procesa, uz leukocite, prokalcitonin, serumski amiloid, fibrinogen, ferritin, mikrobiološke kulture i druge markere (75).

1.8.2. CRP i kardiovaskularni rizik

Povezanost između povišenih vrijednosti CRP-a i akutnog infarkta miokarda, kao i lošije prognoze kod osoba nakon preležanog infarkta, predstavlja bitnu karakteristiku ovog proteina, nezavisnu od drugih markera kardijalne patologije. Nekroza tkiva koja se dešava nakon akutnog infarkta, snažan je stimulus za povećanje CRP-a u plazmi, a njegova visina je odraz stepena nekroze miokarda. Ćelijski i humoralni odgovor koji se pokreće nakon infarkta miokarda ima za cilj smanjenje ćelijske apoptoze i podsticanje lokalnog procesa stvaranja ožiljka (76). Neposredno nakon infarkta miokarda, nakon produkcije citokina u plazmi se povećava koncentracija CRP-a, on se veže za fosfolipinske receptore na nekrotičnim ćelijama miokarda, te dalje podstiče inflamatorni odgovor, oštećenje miokardijalnih ćelija i

napredovanje nekroze (77). Visoke vrijednosti CRP-a često se nalaze kod pacijenata koji boluju od hipertenzije i trenutno se smatraju nezavisnim faktorom rizika za hipertenziju jer mogu pogoršati istu uticajem na vaskularne endotelne ćelije preko sistemskog i lokalnog inflamatornog odgovora. Takođe, CRP može biti pokretač zadebljanja intime medije kao preteče razvoja ateroma, povećava se periferni otpor i brzina protoka krvi koja dovodi do povećanja krvnog pritiska. Osim toga, može dovesti do zadebljanja intime i progresije ateroma, što na kraju dovodi do povećanja perifernog otpora i posljedičnog povećanja krvnog pritiska (78).

1.8.3. CRP i HIV infekcija

Imunska aktivacija posredovana bakterijskim komponentama u krvi ima značajnog uticaja u progresiji HIV bolesti. Bakterije se pojačano umnožavaju i nalaze u krvi kao posljedica dislokacije, najčešće iz gastrointestinalnog trakta. C-reaktivni protein se u povećanoj koncentraciji javlja kao posljedica upalne reakcije na prisutne bakterije, ali i u imunološki posredovanim zbivanjima. Veće koncentracije CRP-a povezane su sa nižim brojem CD4 među HIV-om zaraženim pojedincima. Serumski CRP je detektovan i kao prediktor smrtnosti vezane za HIV i bržu progresiju do AIDS-a (79).

1.8.4. CRP i metabolički sindrom

C-reaktivni protein se intenzivno ispituje u različitim patološkim stanjima koja doprinise poremećaju metabolizma i sve više ima značaja u tim ispitivanjima. Prekomjerna tjelesna masa je postala važan zdravstveni problem u razvijenim zemljama. Gojaznost podrazumijeva i prisustvo niskog stepena hronične upale u masnom tkivu (80). C reaktivni protein se smatra nezavisnim faktorom rizika u odnosu na tradicionalne faktore kao što su povećan ukupni holesterol, dijabetes, hipertenzija, starost, visok indeks tjelesne mase, pušenje i loša fizička kondicija (81).

Mehanizam upalne reakcije kod gojaznih ljudi odnosi se na povećanu sekretornu aktivnost adipokina u adipoznom tkivu. Adipokini imaju značajne pro i antiinflamatorne efekte (82).

Sistemska upala može značajno doprinijeti rastu i progresiji karcinomatозnog procesa (83). C reaktivni protein se intenzivno ispituje kao biomarker za predviđanje rizika od raka, otkrivanje recidiva raka, ishoda terapije i prognoze, obzirom da je bitan indikator imunološkog odgovora na različite vrste malignih bolesti. Značajno mjesto zauzima u

predviđanju prognoze kod multiplog mijeloma, melanoma, tumora jajnika, pluća, te karcinoma gastrointestinalnog trakta, prevashodno jetre (57). Porast vrijednosti CRP-a sve više ima značaj u indeksima za graduiranje nekoliko vrsta kancera, uključujući i hepatocelularni karcinom (84).

Značaj CRP-a u oblasti onkologije nema posebnog značaja za prognostičke pokazatelje kakvi su veličina tumora, broj metastaza ili stepen oštećenja jetre. Međutim, danas se smatra da je prognoza zavisna od ne-tumorskih faktora, misleći prije svega na tumorsko mikrookruženje (85). Istraživanja su pokazala da elevacija CRP-a može predvidjeti razvoj dijabetesa tip 2 zbog mogućnosti upale u procesu dijabetogeneze. C reaktivni protein kao nezavisni faktor praćenja, javlja se skupa sa promjenjivim faktorima koji su detektovani kao loši prediktori u ovoj bolesti: centralna gojaznost, nedostatak fizičke aktivnosti i inzulinemija na tašte, promjenjivo prema polu (57).

Centralna gojaznost je samostalno povezana sa porastom CRP-a kod pacijenata sa dijabetes melitusom tipa 2, i sa prevalencom većom kod žena. Još uvijek nije do kraja izdiferenciran uzročni odnos gojaznosti i CRP-a kod ove patologije. Uočeno je da novodijagnosticiranim pacijentima dijabetesa tipa 2 CRP ima veće vrijednosti u odnosu na starije dobne skupine, što dovodi do opažanja da mlađe osobe imaju jači sistemski odgovor koji je pokretač elevacije CRP-a. (86)

U kontekstu inflamacijskih bolesti, nivo CRP-a predstavlja marker aktivnosti bolesti, može biti za neke više a za neke manje značajan. Direktna korelacija CRP-a je utvrđena za reumatoidni artritis i inflamatornu bolest crijeva (Crohn-ova bolest) (57). Monomerne subjedinice CRP-a (mCRP) na površini apoptotskih ćelijskih fragmenata mogu biti okidač antigena za proizvodnju anti-CRP antitijela kod pacijenata koji pate od sistemskog eritematoznog lupusa. Značajno je da se ova serumska anti-CRP antitijela ne mogu vezati na cirkulirajuću izoformu pCRP. Interakcija tkivno vezanog mCRP-a sa anti-CRP antitijelima u vaskularnom tkivu pogoduje nastanku hronične upale kod pacijenata sa sistemskim lupusom (87).

2. FORMULACIJA PROBLEMA

Efektivnom supresijom plazmatske HIV-viremije, kombinacija antiretroviralne terapije (cART) sprječava neprekidno oštećenje imunskog sistema zbog nekontrolisane HIV replikacije i pokreće oporavak imuniteta. Iako su AIDS-definirana stanja danas rijetka kod efektivno tretiranih osoba koje žive sa HIV-om, ne-AIDS-definirane bolesti, poput: kardiovaskularnih oboljenja, bubrežnih oboljenja, kognitivnog propadanja, te malignih oboljenja se sada sa većom učestalošću javljaju u mlađem uzrastu nego kod HIV-neinficiranih pacijenata. Pretpostavlja se da bi imunostarenje i perzistentna aktivacija imuniteta, čak i u kontekstu efektivne kontrole HIV-replikacije, mogli biti patogenetski faktori koji stoje u pozadini ne-AIDS-definiranih komorbiditeta i da bi praćenje markera imunostarenja moglo imati značajnu ulogu u kliničkom vođenju osoba koje žive sa HIV-om (88).

Pacijenti na dugotrajnoj terapiji imaju veću prevalencu ateroskleroze i vaskularne disfunkcije u odnosu na neinficirane osobe iste dobi. Takođe imaju povećan rizik od infarkta miokarda, srčane insuficijencije i drugih vaskularnih bolesti (89).

Osim faktora okoline i toksičnih efekata lijeka, smatra se da perzistentna HIV-om uzrokovana imunoaktivacija i hronična inflamacija imaju uticaj na povećan kardiovaskularni rizik. Dugoročno efektivna ART onemogućava potpunu regeneraciju vaskularnog zdravlja i osobe pod terapijom nastavljaju imati veći rizik od očekivanog za progresiju bolesti. Iako je povećani rizik tokom terapije moguće uzrokovan multiplim faktorima, sve više činjenica ukazuje na to da je hronična inflamacija, koja perzistira i tokom efikasne ART, direktno i uzročno povezana sa vaskularnom disfunkcijom i ubrzanim razvojem ateroskleroze (90).

Jedan od ključnih ciljeva same ART je oporavak odnosa CD4/CD8, za koji se zna da je narušen kod HIV pozitivnih pacijenata, jer bolest prati progresivni gubitak CD4 T-ćelija, uz ekspanziju CD8 T-ćelija, čime se posljedično mijenja i sam CD4/CD8 odnos. Mjerenje broja CD4 je posebno korisno prije početka ART. Broj CD4 ćelija pruža informacije o cjelokupnom imunom sistemu zaraženog HIV bolesnika. Mjerenje ovih vrijednosti u kliničkoj praksi je bitno za uspostavljanje praga za pokretanje terapijske profilakse, prekida tretmana oportunističke infekcije i procjene hitnosti za uključivanje ART. Kod mnogih pacijenata imunska rekonstrukcija nakon ART-a je često kvalitativno i kvantitativno nekompletna. Iako je CD4 broj najvažniji prediktor kliničke progresije AIDS-a, broj ćelija ne procjenjuje imunu aktivaciju i rizik za nastanak ne-AIDS događaja (91) (92).

Poznato je da je CD4/CD8 odnos dobar pokazatelj imunostarenja uopšteno. Monitoring ovog odnosa tokom primjene ART kod HIV pozitivnih pacijenata moglo bi dati bolju informaciju o stanju imune disfunkcije, a ujedno i dati informaciju o potencijalnim rizicima za nastanak ne-AIDS-definisanih bolesti. (38) (93) Što znači da se povećanje CD4/CD8 odnosa može smatrati optimalnim odgovorom na liječenje. Iako veoma oskudna, ali već postojeća, dosadašnja istraživanja koja su izučavala oporavak CD4/CD8 odnosa kod HIV pozitivnih pacijenata tretiranih ART dala su neusaglašene rezultate (39) (40).

Kakogod, povećanje broja CD4 ćelija i oporavak CD4/CD8 odnosa mogao bi značiti manji rizik za nastanak ne-AIDS povezanih oboljenja, uključujući i kardiovaskularne bolesti, jer je dokazano da održavanje veoma niskog odnosa ($<0,3$) procjenjuje rizik ozbiljne ne-AIDS bolesti ili smrti, nezavisno od broja CD4 ćelija, među ostalim varijablama (8). Pokazano je da je veći broj CD4 ćelija povezan sa manjim procentom ne-AIDS povezanih oboljenja. (94).

U ambulantnoj studiji sa HIV pacijentima se pokazala nezavisna povezanost između broja CD4 ćelija i incidentnih kardiovaskularnih oboljenja, te značajna povezanost sa incidencom akutnog infarkta miokarda kod HIV-pozitivnih pacijenata. (95) Takođe, utvrđeno je da nizak broj CD4 ćelija $<350\text{mm}^3$ je strogo povezan sa gubitkom elasticiteta u arterijskim zidovima (96).

S druge strane, pokazalo se da povećanje broja CD4 ćelija sa interleukinom 2 nema efekta na morbiditet i mortalitet. (97) Interesantne rezultate predočila je studija Karim i sar. (98) koji su pokazali da aktivacija T-ćelija, čak i nakon ART inicijacije, može doprinijeti strukturnim i/ili funkcionalnim vaskularnim oštećenjima i ubrzati aterogenezu kod HIV pozitivnih pacijenata. Kako god, postoje indikacije da bi se rizik od smrtnosti mogao predvidjeti količnikom CD4/CD8. Implikacije ovih nalaza su vrlo široke. Pojedinci koji imaju normalan omjer mogu imati dobru prognozu, i mogli bi se ne ponašati drugačije od HIV neinficiranih. Individue sa perzistentno niskim odnosom mogu zahtijevati više pažnje. U populaciji ovih pacijenata mora se obratiti pažnja i na ostale prisutne riziko faktore poput: hiperlipidemije, hipertenzije, gojaznosti, nedostatak fizičke aktivnosti i dr. (37).

U novije vrijeme je pokazano da CRP nije samo marker inflamacije, već i to da može biti uključen u patogenezu velikog broja oboljenja, uključujući i kardiovaskularna oboljenja (66). Utvrđeno je da ispoljava direktne proinflamatorne i proaterogene efekte (89) (87). U patogenezi ateroskleroze CRP može doprinosti na način da direktno aktivira sistem komplementa, indukcijom apoptoze, aktiviranjem vaskularnih ćelija, regrutovanjem monocita, akumulacijom lipida, tromboze, i drugim mehanizmima (37).

Pokazano je da potiče endotelne ćelije na ekspresiju adhezionih molekula: intracelularne adhezione molekule-1 (ICAM-1), vaskularne adhezione molekule-1 (VCAM-1), selektina i hemokina, te monocitnog hemotaktičnog proteina-1 (MCP-1). Isto tako potiče u endotelnim ćelijama izlučivanje IL-6 i endotelina 1, te umanjuje ekspresiju i bioraspoloživost endotelne NO sinteze (99). Također, CRP može uticati na produkciju reaktivnih vrsta kiseonika, odnosno, uticati na povećanje nivoa oksidativnog stresa (87).

Vjeruje se da je CRP jači pokazatelj predivđanja kardiovaskularnih oboljenja od LDL-holesterola. Korištenje metoda određivanja visoko senzitivnog CRP (hs-CRP, eng. high sensitive – visoko senzitivan), dobiveni nivoi hsCRP <1, te od 1 do 3, i iznad 3 mg/dL su odgovarali niskoj, umjerenoj i visokoj rizičnoj grupi prema mogućnosti za nastanak kardiovaskularnih komplikacija. Smatra se da osobe koje imaju vrijednost LDL-holesterola ispod 3,4 mmol/L, a koncentraciju CRP >3 mg/dL čine grupu koja ima visok rizik za nastanak kardiovaskularnih komplikacija. (100) Veliki broj dosadašnjih studija je pokazao da povećana koncentracija CRP povećava rizik za nastanak kardiovaskularnih oboljenja poput: infarkta miokarda, moždanog udara, periferne vaskularne bolesti, iznenadne srčane smrti (69) (70) (76) (101).

Povećan nivo CRP koji se javlja poslije infarkta miokarda snažno korelira sa postinfarktним morbiditetom i mortalitetom. (101) Uočeno je da se CRP lokalizuje u blizini terminalnog kompleksa komplementa u intimi ranih aterosklerotičnih lezija, što je dovelo do pretpostavke da CRP aktivira komplement i da aktivacija komplementa implicira u razvoju aterosklerotskog plaka (76). Pokazano je da perzistentno povišen nivo CRP u humanoј populaciji je u korelaciji sa razvojem hipertenzije (101).

Kod HIV inficiranih pacijenata, bez obzira na primjenu antiretrovirusnih lijekova, utvrđeno je da CRP ima jaku pozitivnu korelaciju sa zadebljanjem intime medije karotide, te da je u jakoj korelaciji sa smrtnim ishodom kod ovih pacijenata. Autori sugerišu da CRP može poslužiti kao marker hronične upale i nepovoljnih ishoda kod HIV-pozitivnih bolesnika (102).

U SMART studiji, pronađeno je da su povišeni nivoi IL-6, hs-CRP i nivoi D-dimera povezani sa rizikom za nastanak kardiovaskularnih oboljenja kod HIV-pozitivnih bolesnika, iako je povezanost bila izražajnije sa smrtnim ishodom, nego sa rizikom za nastanak kardiovaskularnih oboljenja (103). Nordell i sar. (104) su pokazali da IL-6 i D-dimer, imaju jaku i pozitivnu korelaciju sa mogućnošću nastanka kardiovaskularnih oboljenja, ali ne i CRP.

3. DEFINICIJA PROBLEMA

Glavni faktor koji utiče na prognozu HIV pacijenta je pojava ne-AIDS bolesti, poput bolesti jetre, kardiovaskularnih bolesti, renalnih bolesti i karcinoma. Da li pacijenti sa HIV-om imaju veću učestalost tih događaja i u kakvom su potencijalnom riziku za nastanak istih, u odnosu na populaciju bez HIV-a, ostaje još uvijek nedovoljno ispitano. Pronalazak pouzdanog markera koji bi mogao predvidjeti rizik za nastanak kardiovaskularnih bolesti mnogo bi značilo kako za pacijente tako i za ljekare koji liječe HIV inficirane pacijente. Postavlja se pitanje u kojoj mjeri CD4/CD8 odnos i nivo CRP u dvogodišnjem praćenju HIV pozitivnih bolesnika tretiranih ART može predvidjeti rizik za nastanak kardiovaskularnih oboljenja.

4. HIPOTEZE ISTRAŽIVANJA

- **H₁₀:** CD4/CD8 količnik nije značajan prediktor u praćenju promjena kardiovaskularnog rizika kod HIV pozitivnih pacijenata tokom dvije godine cART terapije.
- **H_{1A}:** CD4/CD8 količnik je značajan prediktor u praćenju promjena kardiovaskularnog rizika kod HIV pozitivnih pacijenata tokom dvije godine cART terapije.
- **H₂₀:** CRP nije značajan prediktor u praćenju promjena kardiovaskularnog rizika kod HIV pozitivnih pacijenata tokom dvije godine cART terapije.
- **H_{2A}:** CRP je značajan prediktor u praćenju promjena kardiovaskularnog rizika kod HIV pozitivnih pacijenata tokom dvije godine cART terapije.

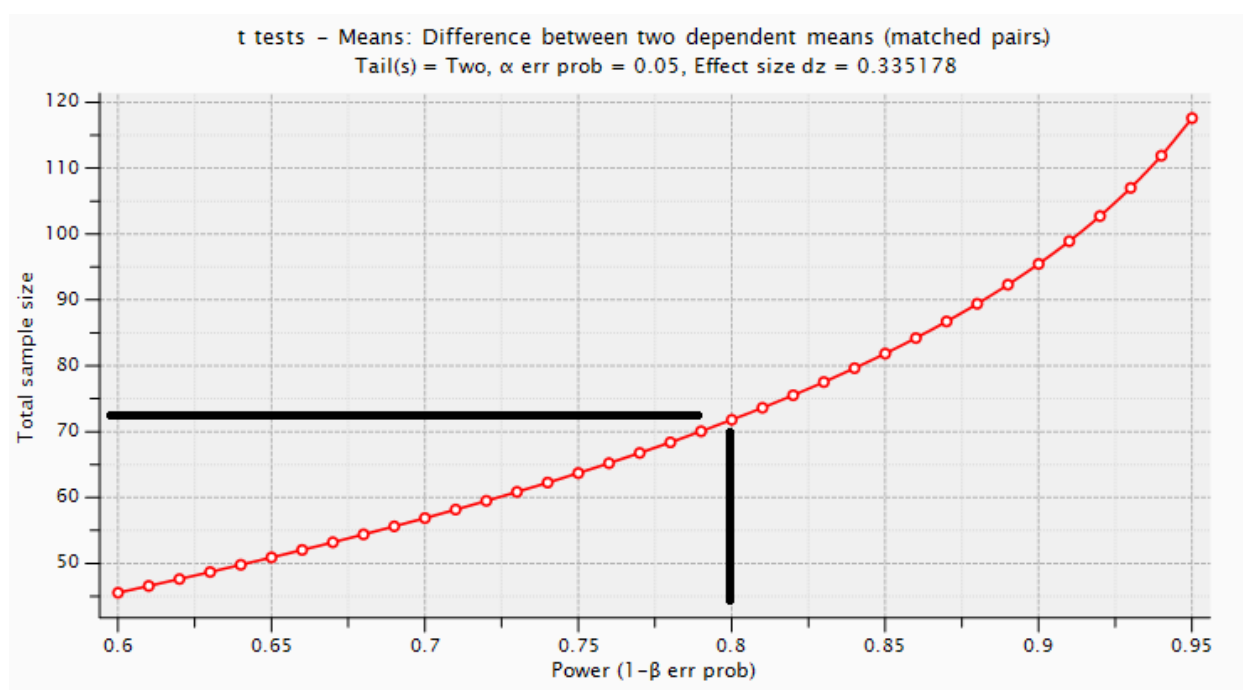
5. CILJEVI ISTRAŽIVANJA

- Analizirati trend promjena CD4/CD8 odnosa u svakoj vremenskoj tački: bazično prije otpočinjanja liječenja, potom nakon 3.,6.,12.,18., i 24. mjeseca cART-terapije.
- Analizirati trend promjena CRP-a u svakoj vremenskoj tački: bazično prije otpočinjanja liječenja, potom nakon 3.,6.,12.,18., i 24. mjeseca cART-terapije.
- Ispitati da li postoji povezanost promjene CD4/CD8 odnosa i CRP-a tokom dvije godine cART-terapije.
- Analizirati trend promjena kardiovaskularnog rizika u svakoj vremenskoj tački: bazično prije otpočinjanja liječenja, potom nakon 3.,6.,12.,18., i 24. mjeseca cART-terapije.
- Analizirati trend promjena nespecifičnih upalnih parametara (broj leukocita, vrijednosti neutrofila, limfocita, monocita, sedimentacije eritrocita) u svakoj vremenskoj tački: bazično prije otpočinjanja liječenja, potom nakon 3.,6.,12.,18., i 24. mjeseca cART-terapije.
- Analizirati trend promjena parametara krvne slike (broj eritrocita, vrijednost hematokrita, koncentracija hemoglobina u krvi) u svakoj vremenskoj tački: bazično prije otpočinjanja liječenja, potom nakon 3.,6.,12.,18., i 24. mjeseca cART-terapije.
- Analizirati trend promjena lipidnih parametara u krvi (ukupni holesterol, trigliceridi, LDL-holesterol, HDL-holesterol, aterogeni indeks) i ITMu svakoj vremenskoj tački: bazično prije otpočinjanja liječenja, potom nakon 3.,6.,12.,18., i 24. mjeseca cART-terapije.

6. ISPITANICI I METOD RADA

6.1. Ispitanici

Studija je dizajnirana kao retrospektivno-prospektivna, kohortna, longitudinalna i klinička studija. Veličina uzorka određena je pomoću softvera G-power, isti je besplatan i dostupan za široku upotrebu (Slika.3). Minimalan uzorak od 72 ispitanika ispunio je uslove: $\alpha=0,05$, snaga studije $(1-\beta)=0,8$ i veličinu efekta= $0,3351$ (prosječan terapijski efekat povećanja CD4/CD8 odnosa 1 godinu nakon primjene cART).



Slika 3. Proračun reprezentativnog uzorka za studiju pomoću softvera (G-power 3.1 manual)

Cjelokupno istraživanje je bazirano na prikupljanju podataka iz istorija bolesti sa Klinike za infektivne bolesti Kliničkog centra Univerziteta u Sarajevu (KCUS). Iz istorija bolesti HIV pozitivnih pacijenata uzimani su podaci o starosti, polu, pušačkom statusu, tjelesnoj masi i visini, vrijednosti sistolnog i dijastolnog krvnog pritiska, vrijednosti CD4 i CD8, CRP, ukupnog holesterola, triglicerida i HDL-holesterola, podaci o komorbiditetu-diabetes mellitus, porodična opterećenost kardiovaskularnim oboljenjima, podaci o antiretrovirusnoj terapiji i dužini njene primjene, te zbunjujuće varijable (broj eritrocita, broj leukocita, vrijednost hematokrita, hemoglobina, vrijednost triglicerida, LDL-holesterola i glukoze u krvi).

Kriteriji za uključivanja u studiju

U studiju su uključeni HIV pozitivni ispitanici liječeni na Klinici za infektivne bolesti KCU Sarajevo retrospektivno u periodu od 2005. do 2015. godine i prospektivno u periodu 2015. do 2017. godine, oba pola, starosti 18-65 godina, koji prethodno nisu liječeni antiretrovirusnom terapijom.

Kriteriji za isključivanje iz studije

Iz studije su isključeni ispitanici koji su u anamnestičkim podacima naveli da su prije terapije imali kardiovaskularni incident, također ispitanici sa anginom pektoris, implantiranim PACE MAKER-om, vještačkom valvulom ili drugim hirurškim intervencijama vezanim za kardiovaskularni sistem, inflamatorna i maligna oboljenja. Pacijenti koji su umrli sa manifestnom AIDS bolešću, ili nekom drugom bolešću u periodu kraćem od 2 godine nakon uključivanja terapije, bili su isključeni iz studije.

6.2. Metod rada

Procjena kardiovaskularnog rizika

S obzirom na to da postoji veći broj algoritama i jednačina u procjeni kardiovaskularnog rizika za opštu populaciju kako bi pomogli kliničarima u kliničkoj evaluaciji pacijenata, isti mogu neprecizno predstavljati rizik kod HIV-inficiranih pacijenata. Kod HIV-inficiranih pacijenata prednost za procjenu kardiovaskularnog rizika daje se D:A:D jednačini u odnosu na jednačine kao što su Framingham skor i PROCAM. (105) (106)

Stoga smo se odlučili za D:A:D kalkulator (107) koji je besplatan i dostupan na web stranici: <http://hivpv.org/Home/Tools/tabid/91/ctl/ExamView/mid/500/eid/0/lid/0/Default.aspx>

Tjelesna visina

Tjelesna visina ispitanika mjerila se antropometrom koji se sastojao od jedne vertikalne metalne šipke sa skalom, na kome je bio pokretan horizontalni krak. Ispitanici su mjereni tako što su stajali na vodoravnoj podlozi bosu sa sastavljenim petama i malo rastavljenim prstima, tijelom i potiljkom naslonjenim na mjernu skalu. Istraživač je stajao iza leđa osobe koju mjeri, držao lijevom rukom vertikalnu šipku, a desnom horizontalni krak antropometra. Pokretnim krakom antropometra doticao je tjeme ispitanika i očitavao visinu.

Tjelesna masa

Tjelesna masa ispitanika mjerena je medicinskom decimalnom vagom, koja je prethodno baždarena. Ispitanici su mjereni u donjem i gornjem vešu. Ispitanik bi stao na vagu, ne pomjerajući se dok traje mjerenje i očitavanje tjelesne težine.

Izračunavanje indeksa tjelesne mase

Indeks tjelesne mase (ITM) odnosno BMI (engl. Body Mass Index) je izračunat po formuli:

$$BMI = \frac{TM}{TV^2}$$

- TM – tjelesna masa (kg)
- TV – tjelesna visina (m)

Prema kriterijima Svjetske zdravstvene organizacije (SZO) vrijednost ITM su:

ITM: $\leq 18,5$ – pothranjenost

ITM: 18,5 - 24,9 – normalna tjelesna težina

ITM: 25,0 - 29,9 – prekomjerna tjelesna težina

ITM: 30,0 - 39,9 – gojaznost

ITM: ≥ 40 – prekomjerna gojaznost

Mjerenje sistolnog i dijastolnog krvnog pritiska

Mjerenje vrijednosti arterijskog krvnog pritiska vršeno je na nadlaktici lijeve ruke standardnom auskultatornom metodom po Korotkovu uz korištenje živinog manometra. Ispitanici su prije mjerenja proveli pet minuta sjedećoj poziciji. Vrijednosti krvnog pritiska su bile izražene u mmHg.

Auskultatorna metoda po Korotkovu

Indirektna auskultatorna metoda mjerenja krvnog pritiska se bazira na pojavi Korotkovljevih zvukova koji nastaju kao posljedica turbulentnog toka krvi kroz djelimično komprimiranu arteriju.

Ispitanik sjedi, a ruka na kojoj se vrši mjerenje i tlakomjer se postavljaju u nivou srca. Manžetna aparata za mjerenje krvnog pritiska se postavi oko nadlaktice i pričvrsti tako da donji rub manžetne bude oko 2 cm iznad pregiba u lakatnoj jami. Stetoskop se postavi u lakatnoj jami iznad mjesta gdje se najbolje osjete pulsacije a.cubitalis.

Zatvori se ventil na gumenoj pumpici i pritiskanjem pumpice upuhava se zrak u manžetnu i istovremeno se vrši auskultacija u području a.cubitalis. Kada pritisak u manžetni postane viši od dijastolnog pritiska pojavljuju se prvi zvučni fenomeni (Korotkovljevi šumovi ili tonovi) koji se čuju sve dok pritisak u manžetni ne postane viši od sistolnog pritiska. Otvaranjem ispusnog ventila na gumenoj pumpici, polako se ispušta zrak iz manžetne (brzinom od 2-3 mm u sekundi). U momentu kada pritisak u manžetni postane niži od vrijednosti sistolnog pritiska u brahijalnoj arteriji čuju se šumovi (Korotkovljevi šumovi). Kada se pojavi prvi šum, na skali manometra očita se vrijednost pritiska koji odgovara sistolnom krvnom pritisku.

Ako i dalje smanjujemo pritisak u manžetni, šumovi postaju prigušeni i potom sasvim nestaju (proticanje krvi ponovo poprima laminaran tok). U trenutku kad se Korotkovljevi šumovi naglo promijene, to jeste kad jasni i glasni šumovi postanu prigušeni, izmjereni pritisak odgovara dijastolnom arterijskom krvnom pritisku. Kada se a.cubitalis potpuno dekomprimira i tok krvi ponovo postane laminaran, tonovi se gube.

Laboratorijske analize

Imunofenotipizacija limfocita

Populacije i subpopulacije limfocita određene su pomoću monoklonalnih antitijela na površinske markere metodom protočne citometrije (imuno-fenotipizacija). Ova metoda omogućava preciznu, objektivnu i brzu enumeraciju velikog broja ćelija istovremeno obilježenih sa više fluorohromima konjugiranih monoklonalnih antitijela. Prilikom obilježavanja limfocita, korištena je četverokolorna kombinacija monoklonih antitijela koja su konjugirana FITC-om (florescin-izotiocijanat), PE-om (fikoeritrin), PerCP-om (peridinin-hlorofil) i APC-om (alofikocianin). Na ovaj način omogućen je detaljan uvid u imunološke osobine pojedinih subpopulacija limfocita.

U radu su korištene slijedeće kombinacije monoklonalnih antitijela koja su obilježena fluorescentnim bojama:

T1: CD3FITC/CD8PE/CD45PerCP/CD4APC

T2: CD3FITC/CD16+56PE/CD45PerCP/CD19APC

Imunofenotipizacija ćelija se provodila standardnim postupkom pripreme uzorka za površnu i intracelularno markiranje. U polustirenske epruvete (T1-T2) je dodano 100 µL pune krvi

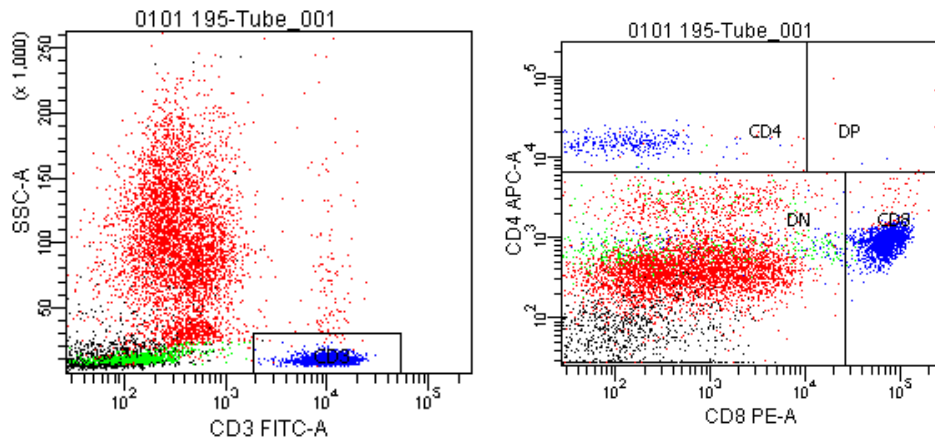
prethodno pipetiranim antitijelima, kojima obilježavamo markere na površini ćelije (po 10 μ L konjugiranog monoklonalnog antitijela).

Proizvođači korištenih reagenasa su: BD Bioscience (San Jose, CA, USA) i BD Pharmigen (San Diego, CA, SAD). Nakon inkubacije od 15-30 minuta na sobnoj temperaturi, ćelije su lizirane dodavanjem 2 mL FACS Lysing Solution, te inkubirane 10 minuta na tamnom mjestu i temperaturi 20-25°C. Ćelije su nataložene na dno epruvete procesom centrifugiranja u trajanju od 5 minuta brzinom 1500 RPM (obrta u minuti). Uslijedio je proces dvostrukog ispiranja ćelija u 2-3 mL PBS-a, a zatim su ćelije resuspendirane u 0,5 mL PBS-a i analizirane na protočnom citometru BD FACS Canto II (BD Bioscience; San Jose, CA, USA).

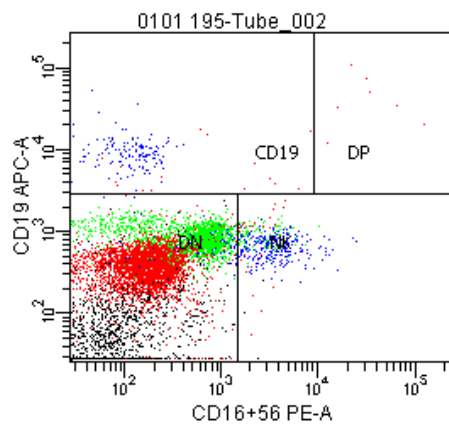
U analiziranom uzorku limfociti su se definisali postupkom ograđivanja (gate) na temelju veličine i granularnosti ćelija (FSC vs. SSC). Zatim smo odredili limfocitne subpopulacije prema fluorescenciji na dvo-parametrijskim histogramima. U svakom uzorku je analizirano 10.000 ćelija, a rezultati su izraženi kao postoci (udio) ispitivanih ćelija u pojedinoj subpopulaciji limfocita. Multiparametrijsko određivanje omogućilo nam je diferencijaciju T limfocita (CD4 i CD8) (slika 1), non-T limfocita (CD19 i NK ćelije) (slika 2). Ćelijske subpopulacije analizirane su u DIVA programu, verzija 6.1.3 (DB Bioscience; San Jose, CA, USA).

Relativne vrijednosti su izražene kao procenti (%) pozitivnih ćelija za svaki parametar u odnosu na ukupan broj limfocita. Apsolutan broj pojedinih subpopulacija (broj ćelija na 1 ml krvi) određuje se na osnovu apsolutnog broja limfocita, izračunat na osnovu broja leukocita u krvnoj slici bolesnika, i procenta limfocita, u leukocitarnoj formuli, te pomnoži relativnim brojem određene subpopulacije:

$$\text{WBC} \times (\text{Lym}/100) \times (\% \text{ pozitivnih ćelija} / 100)$$



Slika 2. Diferencijacija T limfocita (CD3) na subpopulacije T pomoćnih ćelija CD4 i citotoksičnih T limfocita (CD8) kod HIV pozitivnih pacijenata



Slika 3. Histogram prezentira CD16⁺56 i CD19 ćelije.

Određivanje koncentracije CRP u serumu

Koncentracija CRP u serumu ispitanika određena je laser nefelometrijom (aparatus BN II analizator) na Institutu za kliničku hemiju i biohemiju KCUS. Kao reagens za ovu metodu korišten je CardioPhase hs CRP (DADE BEHRING) koji se sastoji od polistirenskih čestica obloženih mišjim monoklonalnim antitijelima na CRP. Princip metode bazira se na agregaciji polistirenskih čestica obloženih sa monoklonalnim antitijelima specifičnim na ljudski CRP kada se pomiješaju sa uzorcima koji sadrže CRP. Nastali agregati raspršuju svjetlosni zrak koji prolazi kroz uzorak. Intenzitet raspršenog svjetla je proporcionalan koncentraciji relevantnog proteina u uzorku. Rezultat se procjenjuje usporedbom sa standardom poznate koncentracije. Kao referentne vrijednosti CRP u serumu korištenjem ove metode uzimaju se vrijednosti od 0 do 5 mg/L.

Lipidogram

Svim ispitanicima su upotrebom standardnih metoda urađene slijedeće laboratorijske pretrage: trigliceridi, ukupni holesterol, LDL-holesterol, HDL-holesterol.

Referentne vrijednosti za trigliceride, ukupni holesterol, LDL-holesterol, HDL-holesterol (prema uputama proizvođača) su: Trigliceridi, 0,11 – 1,70 mmol/L; Ukupni holesterol, 3,1 – 5,2 mmol/L; LDL-holesterol, 1,4 – 4,5 mmol/L; HDL-holesterol 1,04 – 1,55 mol/L

Nespecifični parametri upale

Određivanje brzine taloženja eritrocita (SE).

Brzina SE je izvršena prema Westergreen metodi na Institutu za kliničku hemiju i biohemiju KCUS, a 3.8% i 0.18 mmol/l rastvor Na-citrata je korišćen kao antikoagulant. Vrijednosti brzine SE su očitane nakon 1 i 2 sata (h). Izraženi su u milimetrima (mm) bistre plazme preko sloja istaloženih eritrocita.

SE vrijednosti za muškarce su 3-8mm / 1h; 15mm / 90mm / 24h, a za žene od 4-12mm /1h; 20mm /2h; 110 mm/24h.

Određivanje broja leukocita

Broj leukocita je određen iz uzorka pune krvi na automatskom hematološkom brojaču na osnovu principa volumetrijske impedancije, protočne citometrije i fotometrije na Institutu za kliničku hemiju i biokemiju KCUS. U hematološkoj laboratoriji koristi se nova generacija

automatskih brojača: Sysmex XE-2100 (5-DIF), Sysmex KX-21N (3DIF) i ABBOTT-CELL-DYN 3700 (5DIF). Normalni vrijednosti leukocita su $4-10 \times 10^9 / l$. Od toga, neutrofilni granulociti čine 40-70%, monociti 1-10%, eozinofilni granulociti 0-6%, limfociti 20-50%, bazofilni granulociti 0-1%.

Parametri krvne slike

Broj eritrocita, vrijednost hematokrita i koncentracija hemoglobina određeni su iz punog uzorka krvi na automatskom hematološkom brojaču.

Normalne vrijednosti broja eritrocita su od $3,86 \times 10^{12}/l$ do $5,08 \times 10^{12} /l$ za žene i od $4,34 \times 10^{12}/l$ do $5,72 \times 10^{12}/l$ za muškarce.

Normalne vrijednosti hematokrita za žene su 0,35 - 0,47, a kod muškaraca 0,41 - 0,53.

Normalne vrijednosti hemoglobina za žene su 120-160 g/l, a kod muškaraca 140-180 g/l.

6.3. Statistička obrada podataka

Po završetku ispitivanja izvršena je statistička obrada podataka. Za statističku analizu dobijenih podataka korišten je programski paket SPSS for Windows (verzija 19.0, SPSS Inc, Chicago, Illinois, SAD) i Microsoft Excell (verzija 11. Microsoft Corporation, Redmond, WA, SAD).

Za utvrđivanje distribucije kontinualnih varijabli korišten je Kolmogorov-Smirnov test (za uzorak veći od 50 ispitanika). Kod varijabli koje nisu pokazale statistički značajno odstupanje od normalne raspodjele, prosječne vrijednosti prikazali smo kao aritmetičke sredine i standardne devijacije (SD), a za poređenje tih varijabli prema referentnim vrijednostima i ponovljenim mjerenjima, kao i trendove promjena korišteni su parametrijski testovi (jedno uzorački t-test i uparjeni t-test). Varijable koje su pokazale statistički značajno odstupanje od normalne raspodjele, predstavili smo medianom i interkvartilnim rasponom (25ti-75-ti percentil), a za njihovo poređenje prema referentnim vrijednostima, ponovljena mjerenja i trendove promjena koristili smo neparametrijske testove (Wilcoxon test rangova, Friedman Test-ponovljenih mjerenja). Postojanje veze (korelacija), njen smjer i jačinu medju kontinualnim varijablama odredili smo testom korelacije po Spearman-u (ρ).

Modelom standardne regresione analize ispitaivani su nezavisni prediktori za praćenje vjerovatnoće (% rizika) razvoja petogodišnje kardiovaskularne bolesti (KVB). Rizik (%) smo računali koristeći besplatni D:A:D kalkulator dostupan na internet stranici (107).

ROC krivom smo pokazali da li CRP i CD4/CD8 količnik (odnos), mogu biti markeri za rizik KVB koji je praćen u različitim periodima, bazično, i nakon 3, 6,12,18,24 mjeseca. Statističku značajnost regresionog modela provjerili smo ANOVA testom, a vrijednost modela (r^2) prikazali kao % varijanse. Na osnovu Youndenovog indeksa odredili smo optimalni presjek (*engl.* cut off.) za svaku varijablu, a potom senzitivnost i specifičnost iste.

Za granicu statističke značajnosti uzeta je vrijednost $\alpha=0,05$. Odluke o prihvatanju ili odbacivanju hipoteza u odgovarjućim testovima donosila se prema p vrijednsoti statističkog testa ($p \geq \alpha$ hipoteza se prihvata, $p < \alpha$ hipoteza se odbacuje).

Rezultati su detaljno razrađeni i dokumentirani, prezentirani apsolutnim brojevima, relativnim brojevima, statističkim vrijednostima uz korištenje statističkih pokazatelja, a prikazani jednostavnim i razumljivim tabelama i grafikonima.

7. REZULTATI RADA

Istraživanje je sprovedeno na Klinici za infektivne bolesti Kliničkog centra Univerziteta u Sarajevu, retrospektivno u periodu 2008-2015. godine i prospektivno 2015-2017. godine.

7.1. Opšte karakteristike uzorka.

U istraživanje je uključeno 76 HIV inficiranih ispitanika, 67 (88,2%) muškaraca i 9 (11,8%) žena. Ispitanici su prosječne starosti $35,2 \pm 8,7$ godina, najmlađi ispitanik imao je 18, a najstariji 57 godina. Ostale karakteristike HIV ispitanika predstavljene su u Tabeli 8.,9.i 10.

Tabela 4. Opšte karakteristike HIV ispitanika, bazično, prije početka terapije

Varijable		n	%
Pol	Muški	47	61,8
	Ženski	29	38,2
Navike pušenje duhana	Da	47	61,8
	Ne	29	38,2
Biviši pušač duhana	Da	28	36,8
	Ne	48	63,2
Pozitivna anamneza za KVB	Da	51	67,1
	Ne	25	32,9
		Ar.sred	\pm SD
Starost (godine)	Muški	35,00	8,8
	Ženski	36,33	8,4
Visina (cm)	Muški	182,58	5,95
	Ženski	167,22	6,85
Tjelesna težina (Kg)	Muški	79,96	10,79
	Ženski	63,44	11,68
ITM	Muški	24,02	2,79
	Ženski	22,57	3,06
Sistolni pritisak mmHg	Muški	121,31	12,00
	Ženski	123,33	9,68
Dijastolni pritisak mmHg	Muški	79,55	8,34
	Ženski	80,56	6,82

n-apsolutni broj, %- procenat od ukupnog broja ispitanika (N=76);

Ar.sred.- aritmetička sredina; SD- standardna devijacija

Pušači su zastupljeniji od nepušača u odnosu 47(61,8%) naprema 29(32,8%). Pozitivnu porodičnu anamnezu za KVB prijavilo je 51(67,1%) ispitanika, naspram 25(32,9%) koji istu nisu naveli u istoj bolesti. Razlike u starosti ispitanika u odnosu na pol nije značajna, muškarci su u prosjeku nešto mlađi ($35,0 \pm 8,8$ godina), od ženskih HIV pozitivnih ispitanika ($36,33 \pm 8,4$ godine). Indeks tjelesne mase (ITM) za muške HIV ispitanike u prosjeku je

iznosio 24,02±2,79, a za ženske HIV ispitanike 22,57±3,06. Sistolni pritisak kod muškaraca iznosio je u prosjeku 121,31±12 mmHg, a kod žena 123,33±9,68 mmHg. Dijastolni pritisak kod muškaraca iznosio je u prosjeku 79,55±8,34 mmHg, a kod žena 80,56±6,8mmHg.

Tabela 5. Opšte karakteristike HIV infekcije, bazično, prije početka ART

Varijabla	N	Percentili		
		25ti	50ti (Mediana)	75ti
CD4(cel/mm ³)	76	70,00	185,00	342,00
CD4 (%)	76	6,55	12,55	21,93
CD8(cel/mm ³)	76	334,96	753,11	1278,35
CD8 (%)	76	50,53	57,85	66,40
CD4/CD8 odnos	76	0,11	0,21	0,39
PCRRNA HIV(cop/ml)	76	34131,00	184000,0	525321,5

Apsolutni broj CD4 limfocita prije početka terapije kretao se u prosjeku (medijana) 185 cel/ml odnosno između 70-342 cel/ml. Procentulani udio (CD4%) prije početka terapije iznosio je u prosjeku 12,55%, odnosno između 6,5-21,9%. Apsolutni broj CD8 limfocita prije početka terapije kretao se u prosjeku (medijana) 753,11 cel/mm³ odnosno između 334-1278 cel/mm³. Procentulani udio (CD8%) prije početka terapije iznosio je u prosjeku 57,8 %, odnosno između 50,5 – 66,4%. Odnos CD4/CD8 prije terapije kretao se u prosjeku 0,21, odnosno između 0,11-0,39. Prosječna viremija prije terapije iznosila je 184000,0 cop/ml, a kretala se u interkvartilnom rasponu 31131,0-525321,5 cop/ml.

Tabela 6. Broj i procenat ispitanika prema terapijskom režimu (cART)

	3mj.		6 mj.		12 mj.		18 mj.		24 mj	
	N	%	N	%	N	%	N	%	N	%
Kombinovana antiretrovirusna terapija (cART)										
NNRTIs+NRTI	27	35,5	27	35,5	27	35,5	23	30,3	23	30,3
PI+NRTI	49	64,5	49	64,5	49	64,5	53	69,7	53	69,7
Total	76	100,0	100,0	100,0	100,0	100,0	76	100,0	76	100,0

cART- *engl.*combined antiretroviral therapy, NNRTIs – *engl.*Non-nucleoside reverse transcription inhibitors, NRTI – *engl.* nucleoside reverse transcription inhibitors, PI – *engl.*Protease inhibitors; mj.-mjesec

U tabeli je prikazan apsolutni broj i procentualni udio ispitanika na kombinovanoj antiretrovirusnoj terapiji (*engl.* cART-combination antiretroviral therapy).

Broj ispitanika na terapiji PI+NRTI je u startu je veći 49 (64,5%) u odnosu na ispitanike na terapiji NNRTIs+NRTI 27(35,5%). Ovakav odnos se zadržao do 18 mjeseci, potom se

povećao broj ispitanika sa kombinacijom PI+NRTI na 53(69,7%) i takav odnos se zadržao do 24 mjeseca.

7.2. Analize prediktora na razvoj rizika za KVB, bazično i tokom cART.

Standardnom regresionom analizom ispitivan je uticaj nezavisnih prediktora (starosti, pola, navika pušenja, familijarna anameza za KVB, ITM, sistolnog i dijastolnog pritiska, holesterola, triglicerida, HDL-a, ŠUK-a, CRP-a, CD4 i CD4/CD8) na zavisno promjenljivu rizik za KVB, **bazično**-prije početka ART.

Tabela 7. Uticaj nezavish prediktora na rizikza KVB, bazično, prije početka cART

Model		Nestandardizovani koeficijent		Standardizovani koeficijent	p
		B	St.greška	Beta	
1	(Constant)	-3,304	1,061		,003
	Starost (godine)	0,107	0,221	0,046	,630
	Pol (m/ž)	0,396	0,140	0,257	,006
	Navike pušenja (da/ne)	0,396	0,140	0,056	,584
	Pozitivna anamenza za KVB (da/ne)	0,056	0,025	0,210	,030
	ITM	0,015	0,009	0,227	,110
	Sistolni pritisak (mmHg)	-0,004	0,012	-0,045	,721
	Diastolni pritisak (mmHg)	0,012	0,083	0,015	,882
	Holesterol (mmol/l)	-0,088	0,242	-0,035	,716
	HDL (mmol/l)	0,014	0,063	0,022	,820
	Trigliceridi (mmol/l)	-0,027	0,098	-0,026	,785
	ŠUK(mmol/l)	-0,040	0,030	-0,128	,184
	CRP (mg/l)	0,0001	0,0001	-0,037	,780
	CD4 cel/mm3	-0,149	0,405	-0,044	,715
	CD4/CD8 odnos	-0,218	0,305	-0,064	0,477
11	(Constant)	-3,380	0,775		,0001
	Starost (godine)	0,046	0,008	0,538	,0001
	Navike pušenja (da/ne)	0,384	0,130	0,249	0,004
	ITM	0,047	0,022	0,178	0,039
	Sistolni pritisak (mmHg)	0,012	0,006	0,190	0,049

B-nestandardizovani koeficijent; Beta- standardizovani koeficijent; p-vjerovatnoća;

Model objašnjava 53,4% varijanse rizika za KVB ($r^2=0,534$), sa statističkom značajnošću $p_{(ANOVA)}=0,0001$.

Metodom „backward“ korak po korak, eliminisan je uticaj promjenljivih bez značaja i u jedanaestom koraku je pokazano da statistički značajan uticaj na rizik KVB, najviše ima starost ispitanika (beta=0,538; p=0,0001), potom navike pušenja duhana (beta=0,249; p=0,004), sistolni pritisak (beta=0,190; p=0,049) i na kraju ITM (beta=0,178; p=0,039).

Standardnom regresionom analizom, ispitivan je uticaj nezavisnih prediktora (starosti, pola, navike pušenja, familijana anamneza za KVB, ITM, cART sistolnog i dijastolnog pritiska, holesterola, triglicerida, HDL-a, ŠUK-a, CRP-a, CD4 i CD4/CD8) na zavisno promjenljivu- rizik za KVB, **tri mjeseca** nakon početka ART.

Tabela 8. Uticaj nezavisnih prediktora na rizik za KVB, tri mjeseca nakon početka cART

Model		Nestandardizovani koeficijent		Standardizovani koeficijent	
		B	St.greška	Beta	p
1	(Constant)	-3,068	1,195		,013
	Starost (godine)	,052	,011	,538	,000
	Pol (m/ž)	,210	,248	,081	,401
	Navike pušenja (da/ne)	,487	,159	,283	,003
	Pozitivna anamneza za KVB (da/ne)	,178	,184	,100	,335
	cART (NNRTIs+NRTI u odnosu na PI+NRTI)	-,176	,194	-,101	,369
	ITM	,048	,029	,170	,102
	Sistolni pritisak (mmHg)	,013	,010	,181	,217
	Diastolni pritisak (mmHg)	-,008	,014	-,077	,552
	Holesterol (mmol/l)	-,012	,104	-,012	,911
	HDL (mmol/l)	-,033	,076	-,044	,672
	Trigliceridi (mmol/l)	-,131	,172	-,073	,451
	ŠUK(mmol/l)	,058	,101	,056	,564
	CD4 (cel/mm3)	-4,03	,000	-,011	,926
	CD4/CD8 odnos	-,157	,214	-,081	,465
	CRP (mg/l)	-,015	,038	-,038	,703
13	(Constant)	-2,332	,640		,001
	Starost (godine)	,060	,008	,626	,000
	Navike pušenja (da/ne)	,517	,146	,301	,001
	ITM	,050	,024	,174	,043

B-nestandardizovani koeficijent; Beta-standardizovani koeficijent; p-vjerovatnoća; cART-kombinovana antiretrovirusna terapija

Model objašnjava 54,5% varijanse rizika za KVB ($r^2=0,545$), sa statističkom značajnošću $p_{(ANOVA)}=0,0001$.

Metodom „backward“ korak po korak, eliminisan je uticaj promjenljivih bez značaja, da bi u trinaestom koraku model pokazano da statistički značajan uticaj na rizik za KVB najviše ima starost ispitanika (beta=0,626; p=0,0001), potom navike pušenja duhana (beta=0,301; p=0,001) i na kraju ITM (beta=0,17; p=0,043).

Standardnom regresionom analizom, ispitivan je uticaj nezavisnih prediktora (starosti, pola, navike pušenja, familijana anamneza za KVB, ITM, cART sistolnog i dijasolnog pritiska, holesterola, triglicerda, HDL-a, ŠUK-a, CRP-a, CD4 i CD4/CD8) na zavisno promjenjivu rizik za KVB, šest mjeseci nakon početka ART.

Tabela 9. Uticaj nezavisnih prediktora na rizik za KVB, šest mjeseci nakon početka cART

Model	Nestandardizovani koeficijent		Standardizovani koeficijent	
	B	St.greška	Beta	p
1 (Constant)	-4,399	1,740		,014
Starost (godine)	,054	,014	,438	,000
Pol (m/ž)	,479	,358	,145	,186
Navike pušenja (da/ne)	,590	,221	,269	,010
Pozitivna anamneza za KVB (da/ne)	-,025	,247	-,011	,921
cART (NNRTIs+NRTI u odnosu na PI+NRTI)	-,015	,252	-,007	,954
ITM	,105	,039	,290	,010
Sistolni pritisak (mmHg)	,012	,011	,139	,304
Diastolni pritisak (mmHg)	,013	,016	,101	,417
Holesterol (mmol/l)	,086	,105	,089	,417
HDL (mmol/l)	-,043	,077	-,067	,577
Trigliceridi (mmol/l)	-,812	,439	-,204	,069
ŠUK(mmol/l)	-,206	,144	-,141	,157
CD4 (cel/mm3)	,001	,001	,311	,052
CD4/CD8 odnos	-1,004	,673	-,229	,141
CRP (mg/l)	-,054	,055	-,107	,335
13 (Constant)	-3,106	,912		,001
Starost (godine)	,053	,012	,431	,000
Navike pušenja (da/ne)	,609	,208	,278	,005
ITM	,103	,035	,285	,004

B -nestandardizovani koeficijent; Beta -standardizovani koeficijent; p-vjerovatnoća;

Model objašnjava 48,3% varijanse rizika za KVB ($r^2=0,483$), sa statističkom značajnošću $p_{(ANOVA)}=0,0001$.

Metodom „backward“ korak po korak, eliminisan je uticaj promjenljivih bez značaja, u trinaestom koraku model je pokazao da statistički značajan uticaj na rizik za KVB najviše imastarost ispitanika (beta=0,431; p=0,0001), potom navike pušenja duhana (beta=0,278; p=0,005) i na kraju ITM (beta=0,285; p=0,004).

Standardnom regresionom analizom, ispitivan je uticaj nezavisnih prediktora (starosti, pola, navike pušenja, familijana anameza za KVB, ITM, cART sistolnog i dijastolnog pritiska, holesterola, triglicerida, HDL-a, ŠUK-a, CRP-a, CD4 i CD4/CD8) na zavisno promjenljivu rizik za KVB **dvanaest mjeseci** nakon početka ART.

Tabela 10. Uticaj nezavisnih prediktora na rizik za KVB, dvanaest mjeseci nakon početka cART

Model	Varijabla	Nestandardizovani koeficijent		Standardizovani koeficijent	
		B	St.greška	Beta	p
1	(Constant)	-4,549	2,148		,038
	Starost (godine)	,053	,015	,376	,001
	Pol (m/ž)	-,138	,375	-,037	,714
	Navike pušenja (da/ne)	,170	,262	,068	,519
	Pozitivna anamneza za KVB (da/ne)	,110	,261	,042	,675
	cART (NNRTIs+NRTI u odnosu na PI+NRTI)	,388	,240	,152	,111
	ITM	,032	,038	,080	,395
	Sistolni pritisak (mmHg)	,015	,014	,137	,311
	Diastolni pritisak (mmHg)	-,003	,029	-,016	,907
	Holesterol (mmol/l)	,121	,138	,108	,385
	HDL (mmol/l)	,020	,084	,030	,816
	Trigliceridi (mmol/l)	-,384	,494	-,085	,440
	ŠUK(mmol/l)	,499	,181	,262	,008
	CD4 (cel/mm3)	-7,005	,000	-,018	,872
	CD4/CD8 odnos	-,788	,565	-,165	,168
	CRP (mg/l)	,003	,057	,006	,955
	11	(Constant)	-4,712	1,363	
Starost (godine)		,056	,013	,396	0,0001
ŠUK(mmol/l)		,552	,165	,290	0,001
CD4/CD8 odnos		-1,292	,473	-,246	0,008
cART		,400	,221	,157	0,074
Sistolni pritisak (mmHg)		,021	,009	,197	0,028

B -nestandardizovani koeficijent; Beta -standardizovani koeficijent; p-vjerovatnoća; ŠUK –šećer u krvi

Model objašnjava 53,0% varijanse rizika za KVB ($r^2=0,530$), sa statističkom značajnošću $p_{(ANOVA)}=0,0001$. Metodom „backward“ korak po korak, eliminisan je uticaj promjenjivih bez značaja, u jedanaestom koraku model je pokazao da statistički značajan uticaj na rizik za KVB najviše ima starost ispitanika (beta=0,396; p=0,0001), potom ŠUK (beta=0,290; p=0,001), CD4/CD8 odnos (beta=-0,246; p=0,008). Što je veći CD4/CD8 odnos smanjuje se petogodišnji rizik za KVB. Na kraju sistolni pritisak (beta=0,197; p=0,028) tj. veći pritisak povećava rizik za KVB.

Standardnom regresionom analizom, ispitivan je uticaj nezavisnih prediktora (starosti, pola, navike pušenja, familijana anamneza za KVB, ITM, cART sistolnog i dijastolnog pritiska, holesterola, triglicerida, HDL-a, ŠUK-a, CRP-a, CD4 i CD4/CD8) na zavisno promjenjivu rizik za KVB, **osamnaest mjeseci** nakon početka cART.

Tabela 11. Uticaj nezavisnih prediktora na petogodišnji rizik za KVB, osamnaest mjeseci nakon početka cART

Model	Varijabla	Nestandardizovani koeficijent		Standardizovani koeficijent	
		B	St.greška	Beta	p
1	(Constant)	-6,751	3,596		,065
	Starost (godine)	,052	,023	,257	,027
	Pol (m/ž)	-,186	,520	-,034	,722
	Navike pušenja (da/ne)	,148	,350	,041	,673
	Pozitivna anamneza za KVB (da/ne)	,260	,374	,070	,490
	ITM	,106	,054	,187	,054
	Sistolni pritisak (mmHg)	-,004	,021	-,025	,860
	Diastolni pritisak (mmHg)	,061	,050	,180	,230
	Holesterol (mmol/l)	-,008	,199	-,004	,969
	HDL (mmol/l)	-,016	,108	-,017	,886
	Trigliceridi (mmol/l)	,246	,707	,037	,729
	ŠUK (mmol/l)	,369	,231	,156	,115
	CD4/CD8 odnos	-2,483	,861	-,288	,005
	CRP (mg/l)	,054	,035	,177	,129
10	cART (NNRTIs+NRTI u odnosu na PI+NRTI)	,554	,355	,152	,123
	(Constant)	-2,566	1,795		,157
	Starost (godine)	,050	,020	,247	,014
	ITM	,138	,049	,245	,006
	ŠUK (mmol/l)	,346	,203	,147	,093
	CD4/CD8 odnos	-2,523	,788	-,292	,002
	CRP (mg/l)	,078	,029	,258	,009

B -nestandardizovani koeficijent; Beta -standardizovani koeficijent; p-vjerovatnoća

Model objašnjava 53,9% varijanse rizika za KVB ($r^2=0,539$), sa statističkom značajnošću $p_{(ANOVA)}=0,0001$.

Od svih navedenih faktora korak po korak, eliminisan je uticaj promjenjivih bez značaja i u desetom koraku ostali su prediktori koji statistički značano uticu na rizik za KVB. Od toga statistički značajan i najveći uticaj ima CD4/CD8 odnos ($p=0,002$; $\beta=-0,292$), s sa tim da veći odnos smanjuje rizik KVB; CRP ($p=0,009$; $\beta=0,258$). Veće vrijednosti CRP-a povećavaju rizik za KVB, potom starost ispitanika ($p=0,014$; $\beta=0,247$) stariji ispitanici imaju veći rizik za KVB. Na kraju ITM ($p=0,009$; $\beta=0,245$), odnosno veći ITM povećava rizik za KVB.

Standardnom regresionom analizom, ispitivan je uticaj nezavisnih prediktora (starosti, pola, navike pušenja, familijrana anamneza za KVB, ITM, cART sistolnog i dijasolnog pritiska, holesterola, triglicerda, HDL-a, ŠUK-a, CRP-a, CD4 i CD4/CD8) na zavisno promjenljivu rizik za KVB **dvadeset četiri mjeseca** nakon početka kombinovane antiretroviralne terapije.

Tabela 12. Uticaj nezavisnih prediktora na rizik za KVB, dvadeset četiri mjeseca nakon početka cART

Model	Varijabla	Nestandardizovani koeficijent		Standardizovani koeficijent	
		B	St.greška	Beta	p
1	(Constant)	-7,787	3,285		,021
	Starost (godine)	,053	,023	,239	,023
	Pol (m/ž)	,238	,511	,040	,643
	Navike pušenja (da/ne)	,102	,334	,026	,762
	Pozitivna anamneza za KVB (da/ne)	,245	,366	,060	,506
	ITM	,198	,052	,317	,000
	Sistolni pritisak (mmHg)	-,029	,020	-,156	,168
	Diastolni pritisak (mmHg)	,085	,032	,261	,010
	Holesterol (mmol/l)	,013	,194	,007	,945
	HDL (mmol/l)	-,122	,119	-,104	,312
	Trigliceridi (mmol/l)	-,598	,675	-,087	,379
	ŠUK(mmol/l)	,344	,196	,143	,085
	CRP (mg/l)	,102	,045	,245	,027
	CD4/CD8 odnos	-1,568	,845	-,166	,068
	9	cART (NNRTIs+NRTI u odnosu na PI+NRTI)	,890	,366	,214
(Constant)		-7,368	2,779		,010
Starost (godine)		,060	,021	,257	,006
ITM		,199	,052	,303	,000
Diastolni pritisak (mmHg)		,053	,028	,155	,068
CRP (mg/l)		,097	,043	,224	,027
CD4/CD8 odnos		-1,985	,829	-,200	,019
cART 18		,864	,346	,197	,015

B -nestandardizovani koeficijent; Beta -standardizovani koeficijent; p-vjerovatnoća;

Model objašnjava 63,3% varijanse rizika KVB ($r^2=0,633$), sa statističkom značajnošću $p_{(ANOVA)}=0,0001$.

Od svih navedenih prediktora korak po korak, eliminisan je uticaj promjenljivih bez značaja i u devetom koraku modela ostali su prediktori koji značajno utiču na rizik za KVB, nakon 24 mjeseca CART. Od toga statistički značajan i najveći uticaj ima ITM ($p=0,0001$; $\beta=0,303$), potom starost ispitanika ($p=0,012$; $\beta=0,257$), CRP ($p=0,026$; $\beta=0,224$). Veće vrijednosti ovih parametara utiču na veći rizik za KVB. Terapija (cART) u ovom regresionom modelu prvi put je nakon 24 mjeseca pokazala statistički značajan uticaj na rizik za KVB ($\beta=0,197$; $p=0,013$). Ispitanici koji su u kombinovanoj terapiji imali PI, imaju veći rizik za KVB. Odnos

CD4/CD8 se zadržao kao značajan prediktor i nakon 24 mjeseca ($p=0,025$; $\beta=-0,200$), s tim da veći odnos smanjuje vjerovatnoću za rizik KVB.

U Tabeli 13. je prikazan apsolutni broj (N) i procentualni udio ispitanika prema riziku za KVB (nizak <1%, srednji 1-5% i visok rizik >5-10%) za svaki posmatrani period, bazično i tokom 24 mjeseca cART.

Tabela 13. Prikaz učestalosti stepena rizika za KVB bazično prije početka cART, i tokom 24 mjeseca cART.

Petogodišnji rizik za KVB	Prije početka cART		3 mjeseca nakon cART		6 mjesecinakon cART		12 mjeseci nakon cART		18 mjeseci nakon cART		24 mjeseca nakon cART	
	N	%	N	%	N	%	N	%	N	%	N	%
Bez rizika (<1%)	54	71,1	43	56,6	28	36,8	11	14,5	0	0	0	0
Nizak rizik (1-5%)	22	28,9	33	43,4	47	61,8	63	82,9	54	71,1	50	65,8
Srdnji rizik (>5-10%)	0	0	0	0	1	1,3	2	2,6	22	28,9	26	34,2

KVB-kardiovaskularna bolest; cART-kombinovana antiretrovirusna terapija

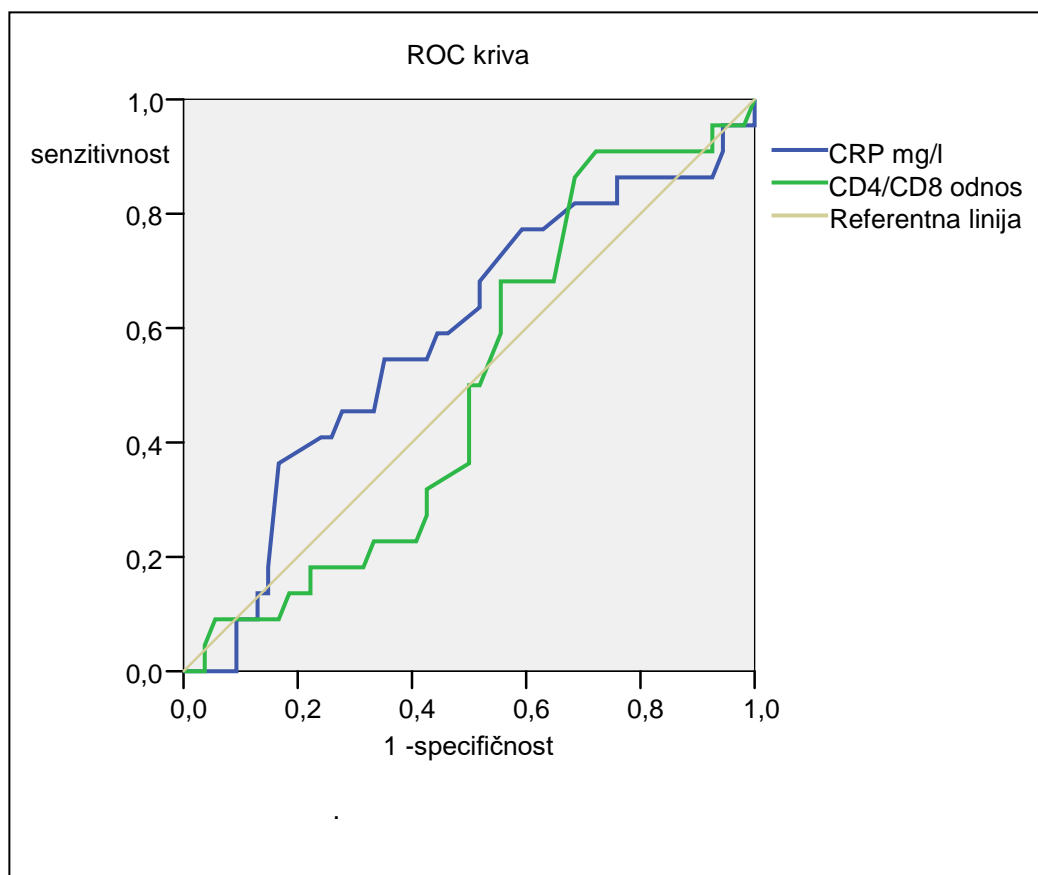
Prije početka cART 54(71,1%) HIV+ ispitanika bilo je bez rizika (<1%) za razvoj KVB i 22(28,9%) u niskom riziku (između 1-5%). Nije bilo ispitanika koji su na početku imali srednji rizik za KVB (>5-10%).

Tri mjeseca nakon uvođenja kombinovane antiretrovirusne terapije, povećao se broj ispitanika sa niskim rizikom na 33 (43,4%). Dalje, nastavio se trend rasta broja ispitanika sa srednjim rizikom, tako da je nakon šest mjeseci 47 (61,8%) HIV+ ispitanika imalo srednji rizik za KVB, i jednog koji je prešao u kategoriju srednjeg rizika.

Nakon 12 mjeseci 63 (82,9%) ispitanika imalo je nizak rizik, 2 (2,6%) srednji rizik i 11 (14,5%) ispitanika ostalo je u kategoriji niskog rizika za petogodišnju KVB.

Nakon 18 mjeseci cART, nije bilo ispitanika bez rizika za KVB, a 54 (71,1%) ispitanika imalo je nizak rizik i 22 (28,9%) srednji rizik za KVB. Taj trend rasta broja ispitanika sa srednjim rizikom se nastavio i nakon 24 mjeseca cART, i iznosio je 26 (34,2%). Odnosno svaki treći ispitanik na cART nakon 24 mjeseca terapije je u srednjem riziku za KVB.

7.3. CRP i CD4/CD8 kao markeri niskog/srednjeg rizika za KVB.

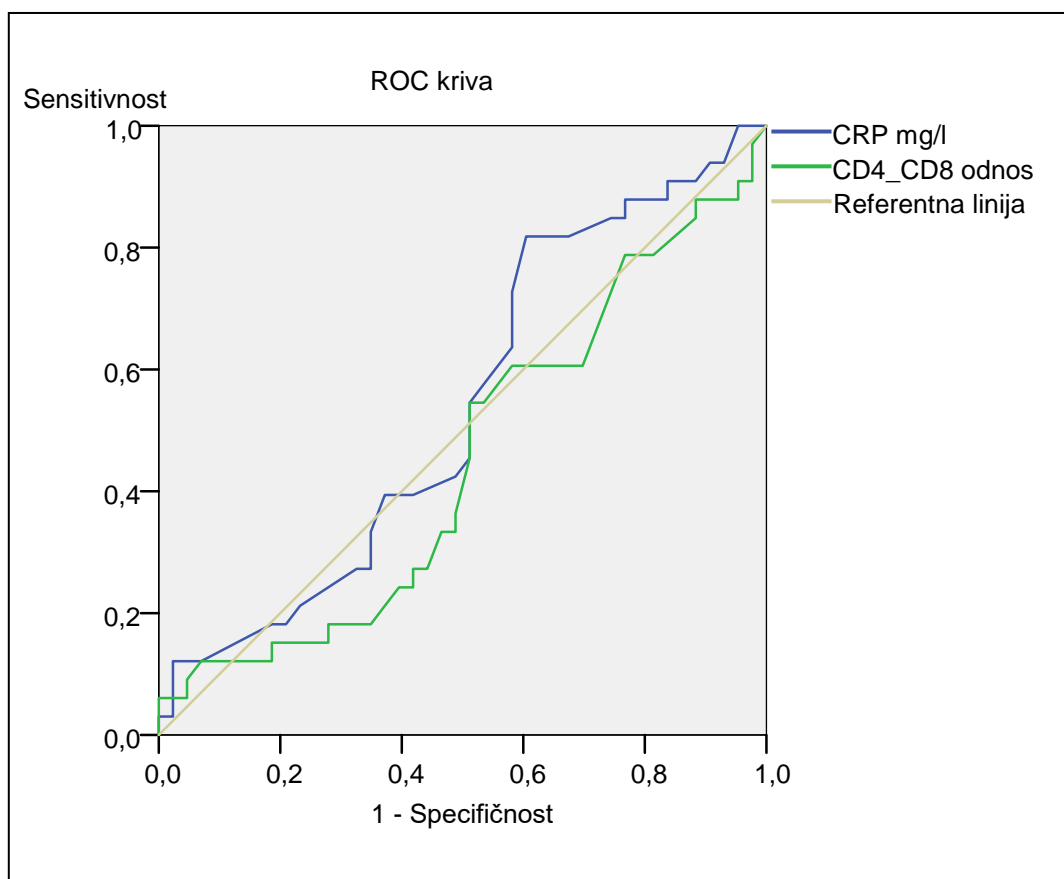


Grafikon 3. ROC kriva (*engl.* ROC - Receiver operating characteristic), CRP i CD4/CD8 odnos kao marker srednjeg/niskog rizika za razvoj KVB **prije početka** ART.

Tabela 14. Površina ispod ROC krive prije početka terapij

Testirane varijable/markeri	AUC	St.greška	p	95% Interval Povjerenja za površinu	
				Donja granica	Gornja granica
CRP (mg/l)	0,586	0,073	0,240	0,442	0,730
CD4/CD8 odnos	0,496	0,069	0,959	0,360	0,632

Uvidom u grafikon 3 i tabelu 14, CRP i CD4/CD8 odnos ne mogu razlikovati srednji od niskog rizika za KVB, HIV+ ispitanika prije početka cART, $p > 0,05$.

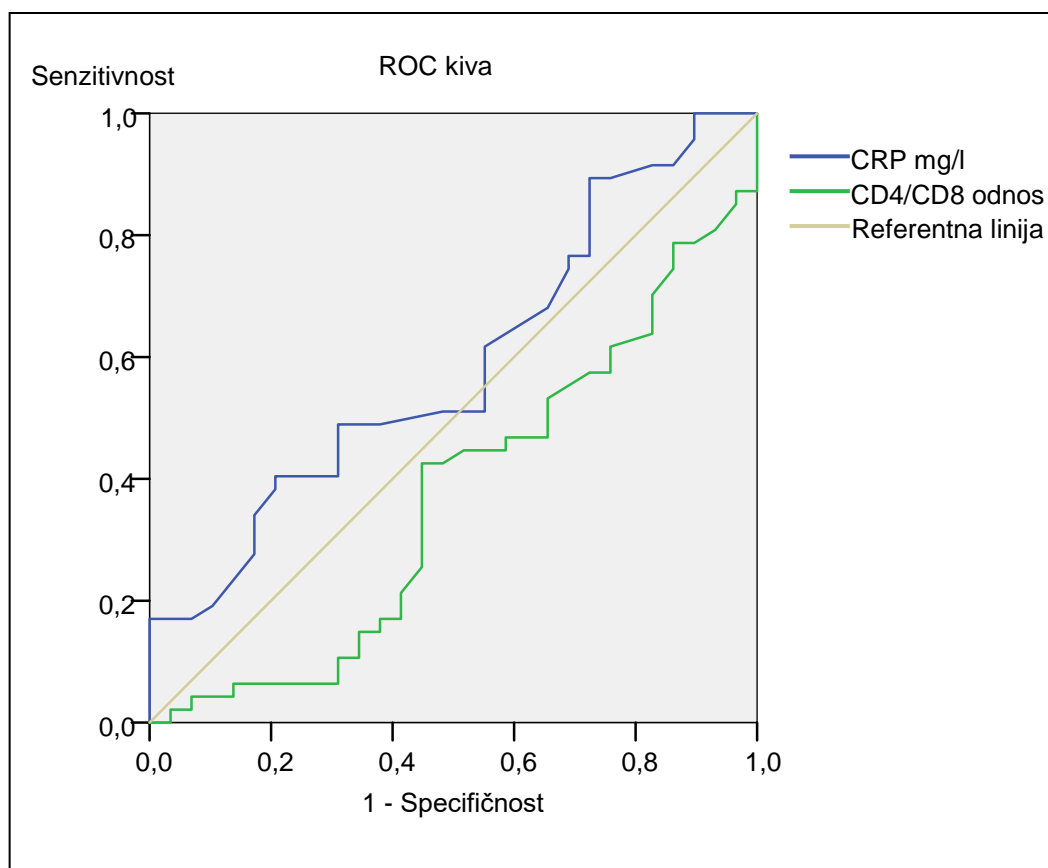


Grafikon 4. ROC kriva; CRP i CD4/CD8 odnos kao marker srednjeg/niskog rizika za razvoj KVB, tri mjeseca nakon početka cART terapije.

Tabela 15. Površina ispod ROC krive nakon tri mjeseca terapije

Testirane varijable/markeri	AUC	St.greška	p	95% Interval povjerenja za površinu	
				Donja granica	Gornja granica
CRP (mg/l)	0,537	0,067	0,579	0,406	0,669
CD4/CD8 odnos	0,450	,067	0,457	0,318	0,582

Uvidom u grafikon 4 i tabelu 15, CRP i CD4/CD8 odnos ne mogu razlikovati srednji od niskog rizika za razvoj kardiovaskularne bolesti, HIV ispitanika tri mjeseca od početka cART, $p > 0,05$.

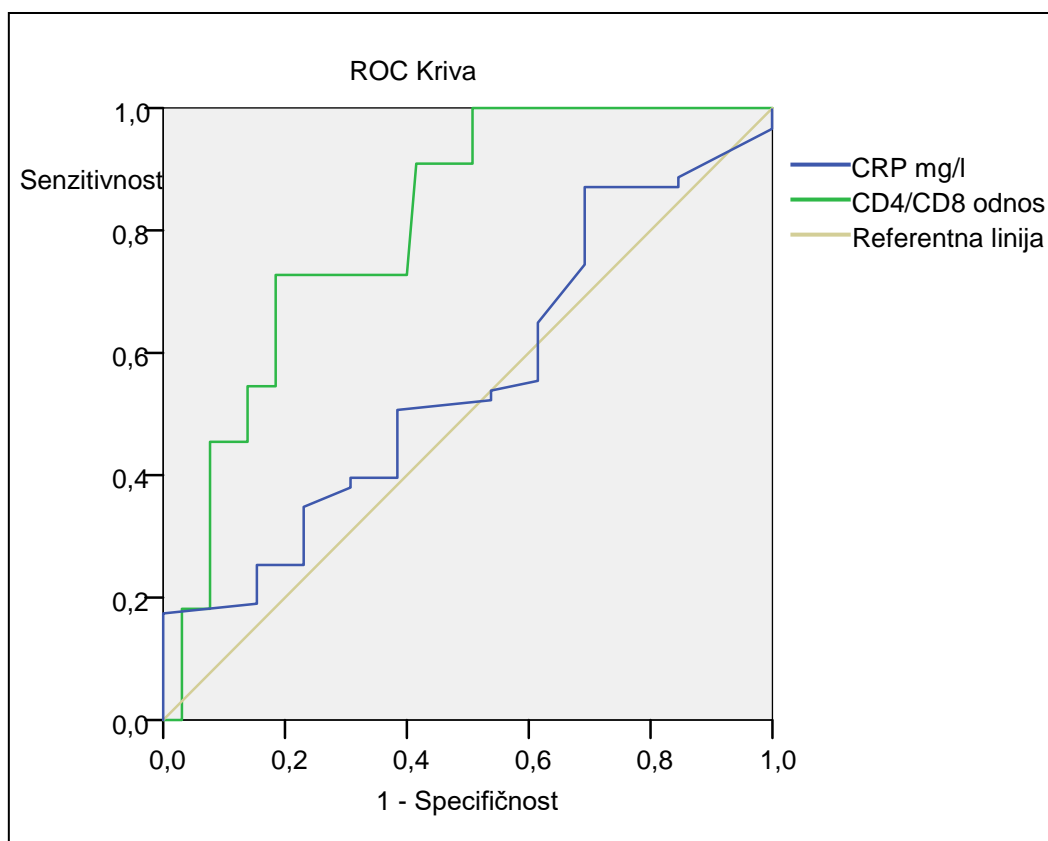


Grafikon 5. ROC kriva; CRP i CD4/CD8 odnos kao marker srednjeg/niskog rizika za razvoj KVB, šest mjeseci nakon početka cART terapije.

Tabela 16. Površina ispod ROC krive nakon šest mjeseci terapije

Testirane varijable/markeri	AUC	St.greška	p	95% Interval povjerenja za površinu	
				Donja granica	Gornja granica
CRP (mg/l)	0,588	0,067	,201	0,457	0,718
CD4/CD8 odnos	0,370	0,066	0,058	0,240	0,500

Uvidom u grafikon 5 i tabelu 16, CRP i CD4/CD8 odnos ne mogu razlikovati srednji od niskog rizika za razvoj kardiovaskularne bolesti HIV ispitanika šest mjeseci od početka cART, $p > 0,05$.

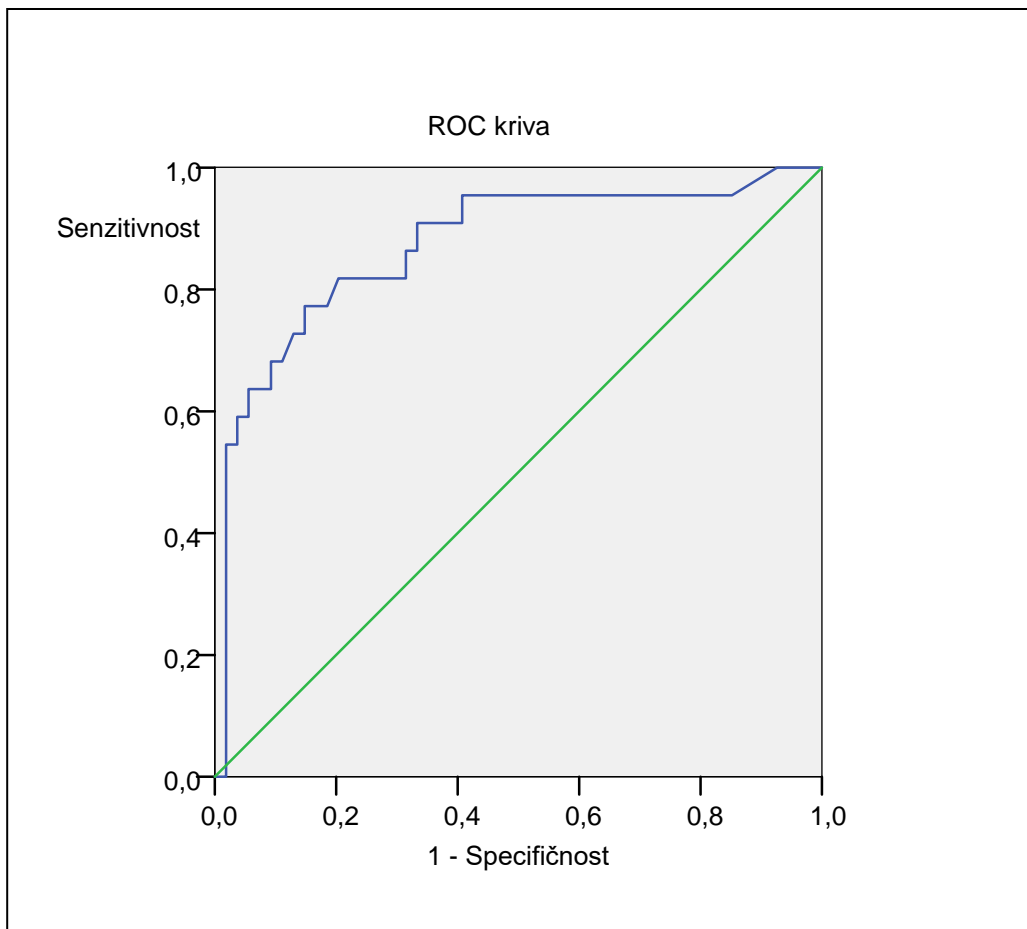


Grafikon 6. ROC kriva; CRP i CD4/CD8 odnos kao marker srednjeg/niskog rizika za razvoj KVB, **dvanaest mjeseci** od početka cART terapije.

Tabela 17. Površina ispod ROC krive nakon dvanaest mjeseci terapije

Testirane varijable/markeri	AUC	St.greška	p	95% Interval povjerenja za površinu	
				Donja granica	Gornja granica
CRP (mg/l)	0,427	0,095	0,438	0,240	0,613
CD4/CD8 odnos	0,807	0,059	0,001	0,691	0,923

Uvidom u grafikon 6 i tabelu 17, CRP ne može razlikovati srednji od niskog rizika KVB ($p=0,438$), dok CD4/CD8 odnos se pokazao da može razlikovati niski od srednjeg rizika za KVB HIV ispitanika, nakon 12 mjeseci od početka cART ($p=0,001$; $AUC=0,807$) u našem uzorku, dok se u populaciji ovakvih ispitanika površina se kreće između 0,691 i 0,923.



Grafikon 7. ROC kriva; CRP kao marker srednjeg/niskog rizika za razvoj KVB, **osamnaest mjeseci** od početka cART terapije.

Tabela br 18. Površina ispod ROC krive nakon osamnaest mjeseci terapije

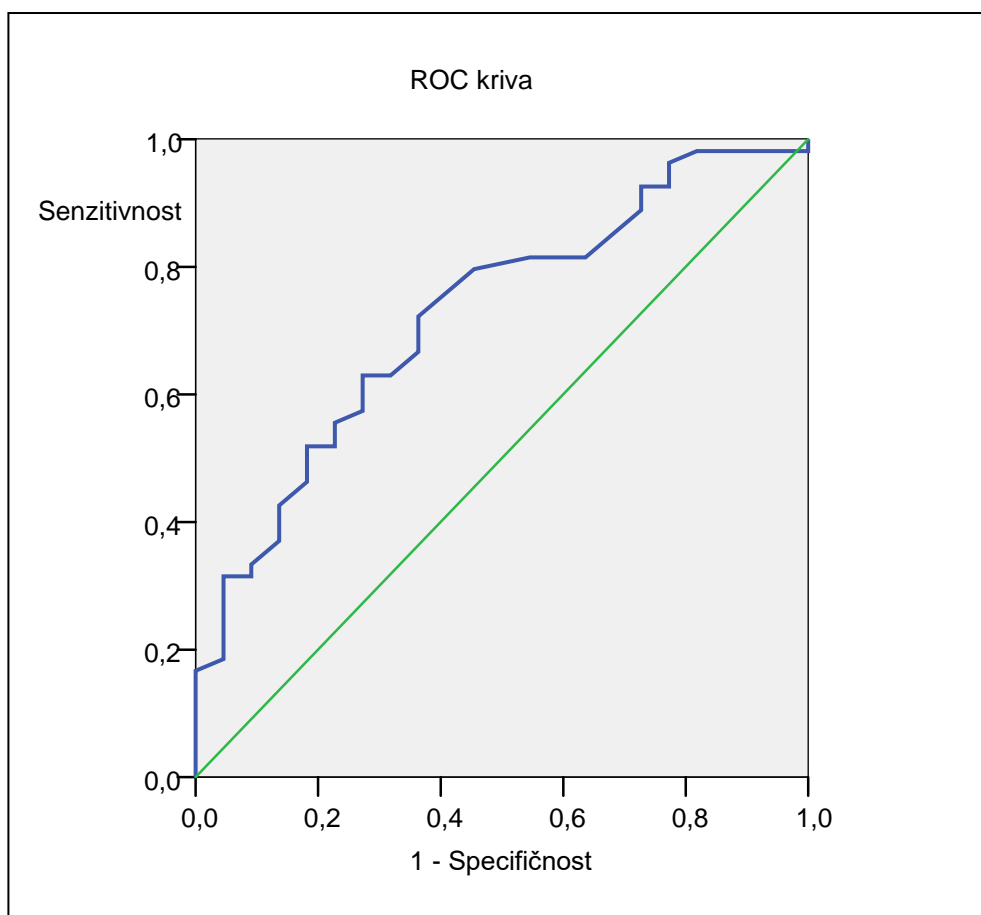
Testirana varijabla/marker	AUC	St.greška	p	95% Interval povjerenja za površinu	
				Donja granica	Gornja granica
CRP mg/l	0,875	0,049	,0001	0,779	0,972

Uvidom u grafikon 7 i tabelu 18, CRP se pokazao da može biti marker srednjeg rizika KVB nakon 18 mjeseci od početka terapije ($p=0,0001$; $AUC =0,875$) u našem uzorku, dok se u populaciji ovakvih ispitanika površina kreće između 0,779 i 0,972.

Tabela 19. Senzitivnost i specifičnost CRP-a kao markera srednjeg rizika KVB nakon 18 mjeseci cART

Pozitivni ako je veći od ili jednak:	Senzitivnost	1 - specifičnost	Y-indeks
-0,700	1,000	1,000	0,000
0,375	1,000	0,981	0,019
0,500	1,000	0,963	0,037
0,555	1,000	0,944	0,056
0,580	1,000	0,926	0,074
0,700	0,955	0,852	0,103
0,850	0,955	0,833	0,122
0,925	0,955	0,815	0,140
1,075	0,955	0,796	0,159
1,300	0,955	0,778	0,177
1,425	0,955	0,741	0,214
1,475	0,955	0,722	0,233
1,550	0,955	0,704	0,251
1,650	0,955	0,685	0,270
1,800	0,955	0,667	0,288
1,950	0,955	0,648	0,307
2,050	0,955	0,630	0,325
2,150	0,955	0,574	0,381
2,225	0,955	0,556	0,399
2,275	0,955	0,537	0,418
2,350	0,955	0,500	0,455
2,550	0,955	0,481	0,474
2,800	0,955	0,463	0,492
2,925	0,955	0,444	0,511
2,975	0,955	0,426	0,529
3,025	0,955	0,407	0,548
3,125	0,909	0,407	0,502
3,250	0,909	0,389	0,520
3,350	0,909	0,370	0,539
3,500	0,909	0,352	0,557
3,700	0,909	0,333	0,576
3,875	0,864	0,333	0,531
3,975	0,864	0,315	0,549
4,050	0,818	0,315	0,503
4,270	0,818	0,278	0,540
4,445	0,818	0,259	0,559
4,475	0,818	0,241	0,577
4,550	0,818	0,222	0,596
4,750	0,818	0,204	0,614
4,975	0,773	0,185	0,588
5,075	0,773	0,167	0,606
5,150	0,773	0,148	0,625
5,215	0,727	0,148	0,579
5,265	0,727	0,130	0,597
5,350	0,682	0,111	0,571
5,650	0,682	0,093	0,589
5,950	0,636	0,093	0,543
6,050	0,636	0,074	0,562
6,125	0,636	0,056	0,580
6,175	0,591	0,056	0,535
6,350	0,591	0,037	0,554
6,850	0,545	0,037	0,508
7,350	0,545	0,019	0,526
7,650	0,500	0,019	0,481
7,850	0,455	0,019	0,436
7,950	0,409	0,019	0,390
8,050	0,364	0,019	0,345
8,400	0,318	0,019	0,299
8,900	0,273	0,019	0,254
9,300	0,227	0,019	0,208
9,800	0,182	0,019	0,163
11,100	0,136	0,019	0,117
15,300	0,091	0,019	0,072
20,350	0,045	0,019	0,026
32,600	0,000	0,019	-0,019
44,000	0,000	0,000	0,000

U tabeli su predstavljene vrijednosti CRP-a, senzitivnost, 1-specifičnost i Yundanov indeks. Vrijednosti CRP-a od 5,15 mg/l ima najveći Yundanov indeks=0,625, odnosno CRP na ovom presjeku ima najveću senzitivnost od 77,3% i najveću specifičnost od 85,2%. Vrijednosti CRP-a >5,15 mogu razlikovati srednji od niskog rizika KVB, osamnaest mjeseci nakon cART.



Grafikon 8. ROC kriva; CD4/CD8 odnos kao marker srednjeg/niskog rizika za razvoj KVB, **osamnaest mjeseci** od početka cART terapije.

Tabela 20. Površina ispod ROC krive nakon osamnaest mjeseci terapije

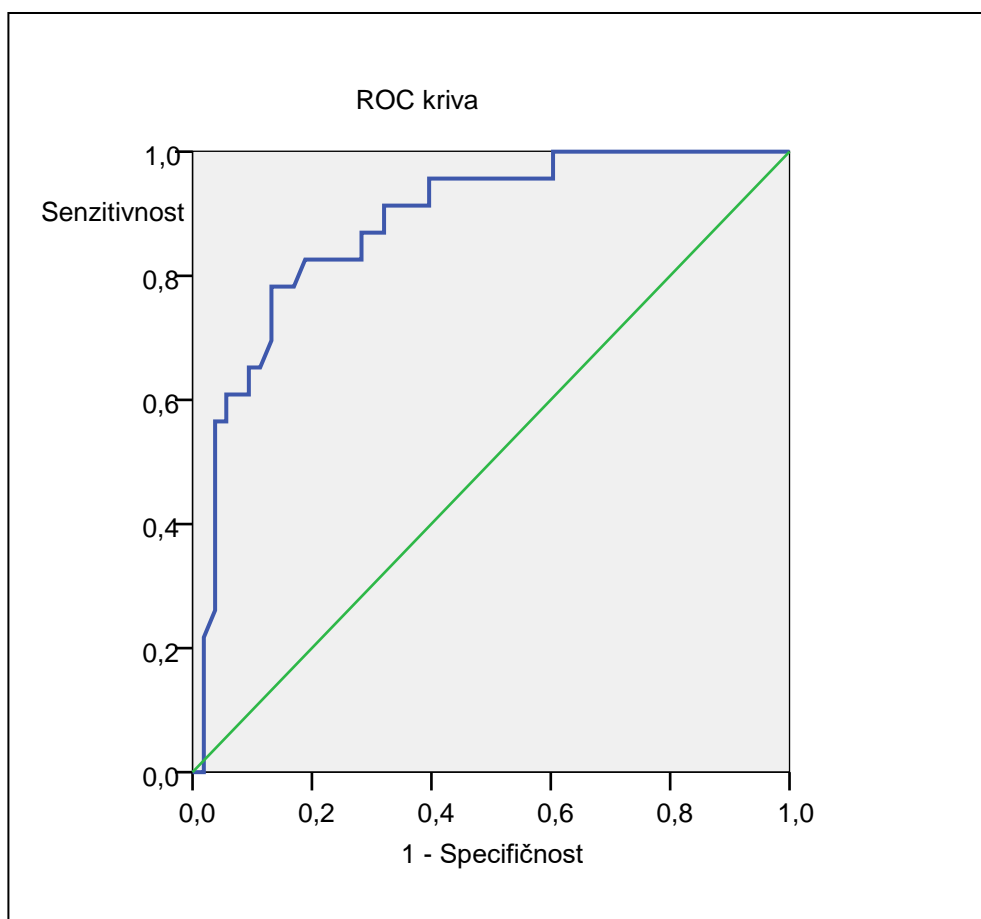
Testirane varijable/markeri	AUC	St.greška	p	95% Interval Povjerenja za površinu	
				Donja granica	Gornja granica
CD4/CD8 odnos	0,724	0,062	0,002	0,603	0,846

Uvidom u grafikon 8 i tabelu 20, CD4/CD8 može biti marker niskog rizika za KVB nakon 18 mjeseci od početka cART ($p=0,002$; $AUC =0,724$) u našem uzorku, dok se u populaciji ovakvih ispitanika površina kreće između 0,603 i 0,846.

Tabela 21 . Senzitivnost i specifičnost CD4/CD8 odnosa kao markera niskog rizika KVB nakon 18 mjeseci cART

Pozitivni ako je veći od ili jednak:	Senzitivnost	1 - Specifičnost	Y-indeks				
0,000	1,000	1,000	0,000	,465	0,630	0,318	0,312
0,075	0,981	1,000	-0,019	0,475	0,630	0,273	0,357
0,150	0,981	0,955	0,026	0,490	0,574	0,273	0,301
0,185	0,981	0,909	0,072	0,505	0,556	0,227	0,329
0,220	0,981	0,864	0,117	0,515	0,519	0,227	0,292
0,245	0,981	0,818	0,163	0,525	0,519	0,182	0,337
0,265	0,963	0,773	0,190	0,545	0,500	0,182	0,318
0,275	0,944	0,773	0,171	0,565	0,463	0,182	0,281
0,285	0,926	0,773	0,153	0,575	0,426	0,136	0,290
0,300	0,926	0,727	0,199	0,590	0,370	0,136	0,234
0,315	0,907	0,727	0,180	0,635	0,333	0,091	0,242
0,325	0,889	0,727	0,162	0,675	0,315	0,091	0,224
0,345	0,852	0,682	0,170	0,690	0,315	0,045	0,270
0,365	0,815	0,636	0,179	0,705	0,296	0,045	0,251
0,375	0,815	0,545	0,270	0,730	0,278	0,045	0,233
0,400	0,796	0,455	0,341	0,765	0,222	0,045	0,177
0,425	0,759	0,409	0,350	0,785	0,185	0,045	0,140
0,435	0,722	0,364	0,358	0,805	0,167	0,000	0,167
0,445	0,704	0,364	0,340	0,835	0,130	0,000	0,130
0,455	0,667	0,364	0,303	0,855	0,093	0,000	0,093
				0,875	0,074	0,000	0,074
				0,905	0,037	0,000	0,037
				1,000	0,000	0,000	0,000

U tabeli su predstavljene vrijednosti CD4/CD8 odnosa, senzitivnost, 1-specifičnost i Yundanov indeks. Presječna vrijednost CD4/CD8 odnosa od 0,435 ima najveći Yundanov indeks=0,358, odnosno na ovom presjeku CD4/CD8 ima najveću senzitivnost 72,2% i najveću specifičnost 63,6% za predviđanje niskog rizika za razvoj KVB osamnaest mjeseci nakon cART.



Grafikon 9. ROC kriva; CRP kao marker srednjeg/niskog rizika za razvoj KVB, **24 mjeseca** od početka cART.

Tabela 22. Površina ispod ROC krive nakon dvadeset četiri mjeseca terapije

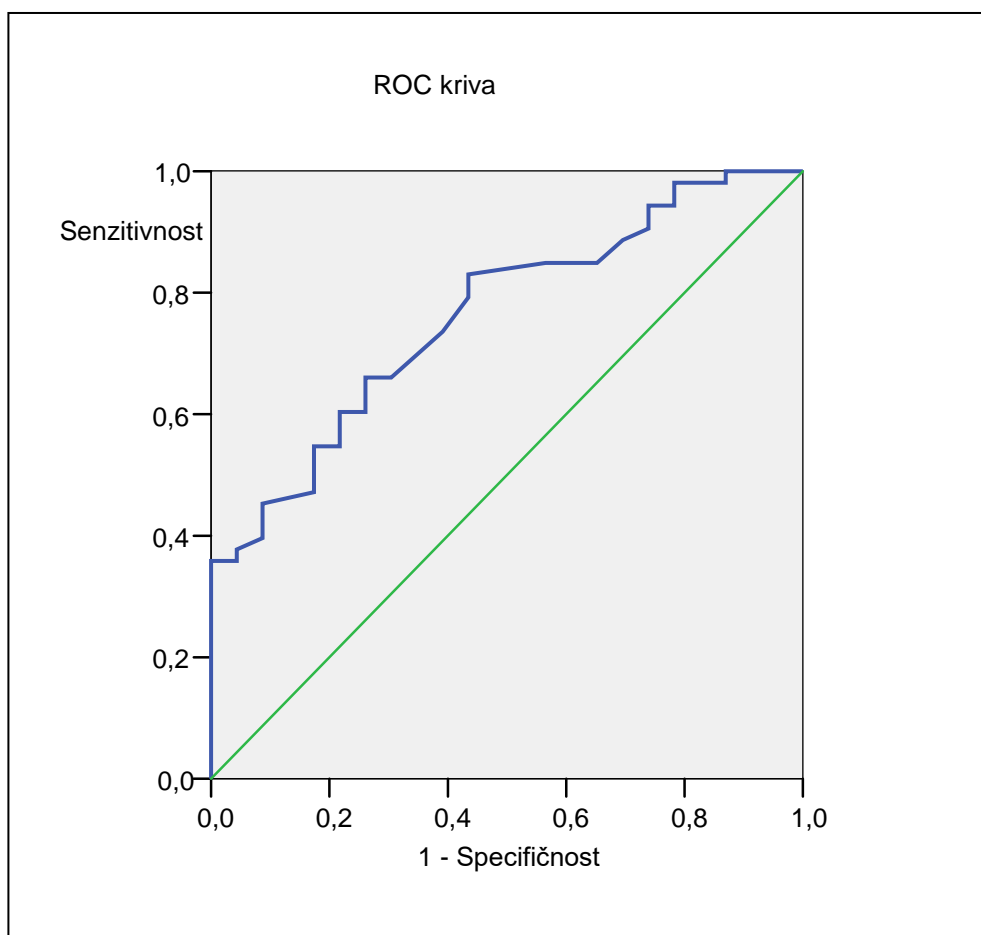
Testirane varijable/markeri	AUC	St.greška	p	95% Interval povjerenja za površinu	
				Donja granica	Gornja granica
CRP mg/l	0,882	0,041	0,0001	0,802	0,962

Uvidom u grafikon 9 i tabelu 22, CRP može biti marker srednjeg rizika za KVB nakon 24 mjesca od početka cART ($p=0,0001$; $AUC =0,882$,) u našem uzorku, dok se u populaciji ovakvih ispitanika površina kreće između 0,802- 0,962.

Tabela 23 . Senzitivnost i specifičnost CRP-a kao markera srednjeg rizika KVB nakon 24 mjeseca cART

Pozitivni ako je veći od ili jednak:	Sensitivity	1 - Specificity	Y-indeks				
-0,540	1,000	1,000	0,000	4,105	0,870	0,302	0,568
0,535	1,000	0,981	0,019	4,135	0,870	0,283	0,587
0,660	1,000	0,962	0,038	4,210	0,826	0,283	0,543
0,715	1,000	0,943	0,057	4,430	0,826	0,264	0,562
0,740	1,000	0,925	0,075	4,605	0,826	0,245	0,581
0,860	1,000	0,830	0,170	4,635	0,826	0,226	0,600
0,980	1,000	0,811	0,189	4,710	0,826	0,208	0,618
1,030	1,000	0,792	0,208	4,910	0,826	0,189	0,637
1,085	1,000	0,774	0,226	5,135	0,783	0,170	0,613
1,235	1,000	0,755	0,245	5,235	0,783	0,151	0,632
1,460	1,000	0,736	0,264	5,310	0,783	0,132	0,651
1,585	1,000	0,698	0,302	5,375	0,739	0,132	0,607
1,635	1,000	0,679	0,321	5,425	0,696	0,132	0,564
1,710	1,000	0,660	0,340	5,510	0,652	0,113	0,539
1,810	1,000	0,642	0,358	5,810	0,652	0,094	0,558
1,960	1,000	0,623	0,377	6,110	0,609	0,094	0,515
2,110	1,000	0,604	0,396	6,210	0,609	0,075	0,534
2,210	0,957	0,604	0,353	6,285	0,609	0,057	0,552
2,335	0,957	0,547	0,410	6,335	0,565	0,057	0,508
2,435	0,957	0,528	0,429	6,510	0,565	0,038	0,527
2,510	0,957	0,491	0,466	7,010	0,522	0,038	0,484
2,710	0,957	0,472	0,485	7,510	0,478	0,038	0,440
2,960	0,957	0,453	0,504	7,810	0,435	0,038	0,397
3,085	0,957	0,434	0,523	8,060	0,391	0,038	0,353
3,135	0,957	0,415	0,542	8,210	0,348	0,038	0,310
3,185	0,957	0,396	0,561	8,560	0,304	0,038	0,266
3,285	0,913	0,396	0,517	8,930	0,261	0,038	0,223
3,410	0,913	0,377	0,536	9,130	0,217	0,019	0,198
3,510	0,913	0,358	0,555	9,460	0,174	0,019	0,155
3,660	0,913	0,340	0,573	10,330	0,130	0,019	0,111
3,860	0,913	0,321	0,592	13,000	0,087	0,019	0,068
4,030	0,870	0,321	0,549	16,000	0,043	0,019	0,024
				25,000	0,000	0,019	-0,019
				34,000	0,000	0,000	0,000

U tabeli su predstavljene vrijednosti CRP-a, senzitivnost, 1-specifičnost i Yundanov indeks. Vrijednosti CRP-a od 5,31mg/L ima najveći Yundanov indeks=0,651, odnosno CRP na ovom presjeku ima najveću senzitivnost 78,3% i najveću specifičnost 86,8%, kao marker srednjeg u odnosu na niski rizik za KVB.



Grafikon 10. ROC kriva; CD4/CD8 odnos kao marker srednjeg/niskog rizika za razvoj KVB, dvadeset četiri mjesec od početka cART terapije

Tabela 24. Površina ispod ROC krive nakon dvadeset četiri mjeseca terapije

Testirane varijable/markeri	AUC	St.greška	p	95% Interval povjerenja za površinu	
				Donja granica	Gornja granica
CD4/CD8 odnos	0,762	0,056	0,0001	0,653	0,872

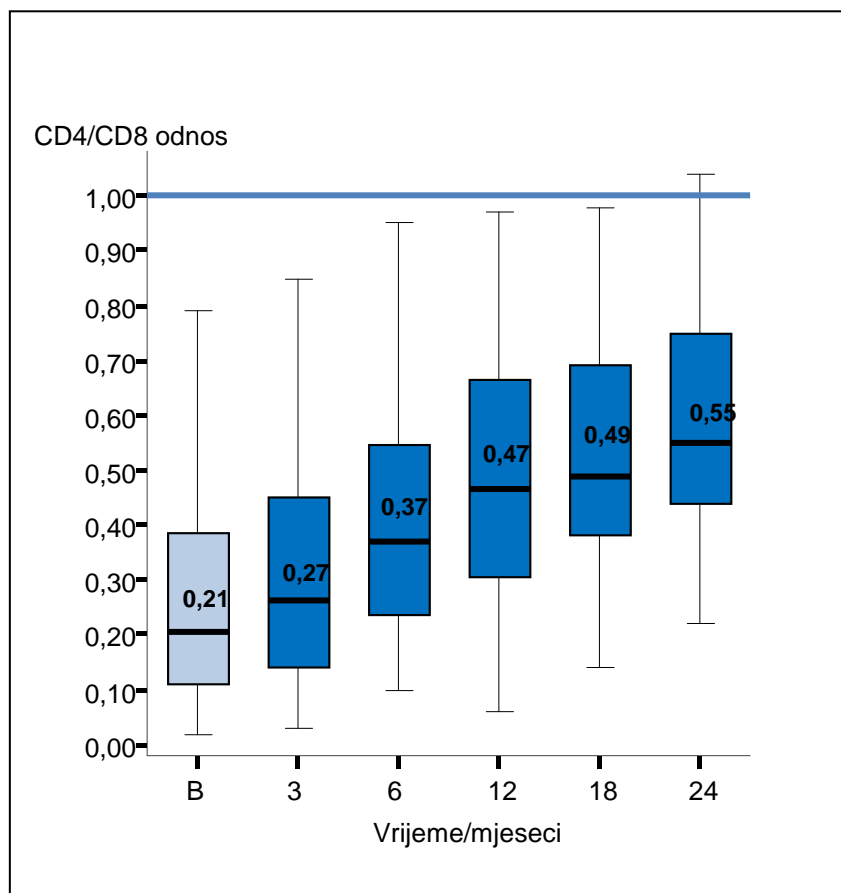
Uvidom u grafikon 10 i tabelu 24, CD4/CD8 odnos može biti marker niskog rizika KVB nakon 24 mjeseca od početka terapije, ($p=0,001$; $AUC =0,762$) u našem uzorku, dok se u populaciji ovakvih ispitanika površina kreće između 0,653 i 0,872.

Tabela 25 . Senzitivnost i specifičnost CD4/CD8 odnosa kao markera niskog rizika za KVB nakon 24 mjeseca cART

Pozitivni ako je veći od ili jednak:	Sensitivity	1 - Specificity	Y-indeks				
-0,780	1,000	1,000	0,000	0,565	0,604	0,217	0,387
0,245	1,000	0,913	0,087	0,575	0,547	0,217	0,330
0,280	1,000	0,870	0,130	0,590	0,547	0,174	0,373
0,305	0,981	0,870	0,111	0,610	0,509	0,174	0,335
0,325	0,981	0,783	0,198	0,625	0,472	0,174	0,298
0,335	0,962	0,783	0,179	0,635	0,453	0,087	0,366
0,350	0,943	0,783	0,160	0,650	0,396	0,087	0,309
0,365	0,943	0,739	0,204	0,695	0,377	0,043	0,334
0,375	0,925	0,739	0,186	0,735	0,358	0,043	0,315
0,385	0,906	0,739	0,167	0,750	0,358	0,000	0,358
0,405	0,887	0,696	0,191	0,765	0,340	0,000	0,340
0,425	0,849	0,652	0,197	0,790	0,321	0,000	0,321
0,435	0,849	0,565	0,284	0,825	0,264	0,000	0,264
0,460	0,830	0,435	0,395	0,845	0,226	0,000	0,226
0,485	0,792	0,435	0,357	0,865	0,189	0,000	0,189
0,495	0,736	0,391	0,345	0,885	0,170	0,000	0,170
0,510	0,698	0,348	0,350	0,900	0,151	0,000	0,151
0,525	0,660	0,304	0,356	0,915	0,113	0,000	0,113
0,535	0,660	0,261	0,399	0,935	0,094	0,000	0,094
0,550	0,604	0,261	0,343	0,960	0,075	0,000	0,075
				0,975	0,057	0,000	0,057
				1,010	0,019	0,000	0,019
				2,040	0,000	0,000	0,000

U tabeli su predstavljene vrijednosti CD4/CD8 odnosa, senzitivnost, 1-specifičnost i Yundanov indeks. Prosječna vrijednost CD4/CD8 odnosa od 0,53 ima najveći Yundanov indeks=0,399, odnosno ima najveću senzitivnost 66,0% i najveću specifičnost 73,9%. Vrijednosti CD4/CD8 odnosa >0,53 mogu biti marker niskog rizika KVB, nakon 24 mjeseca cART.

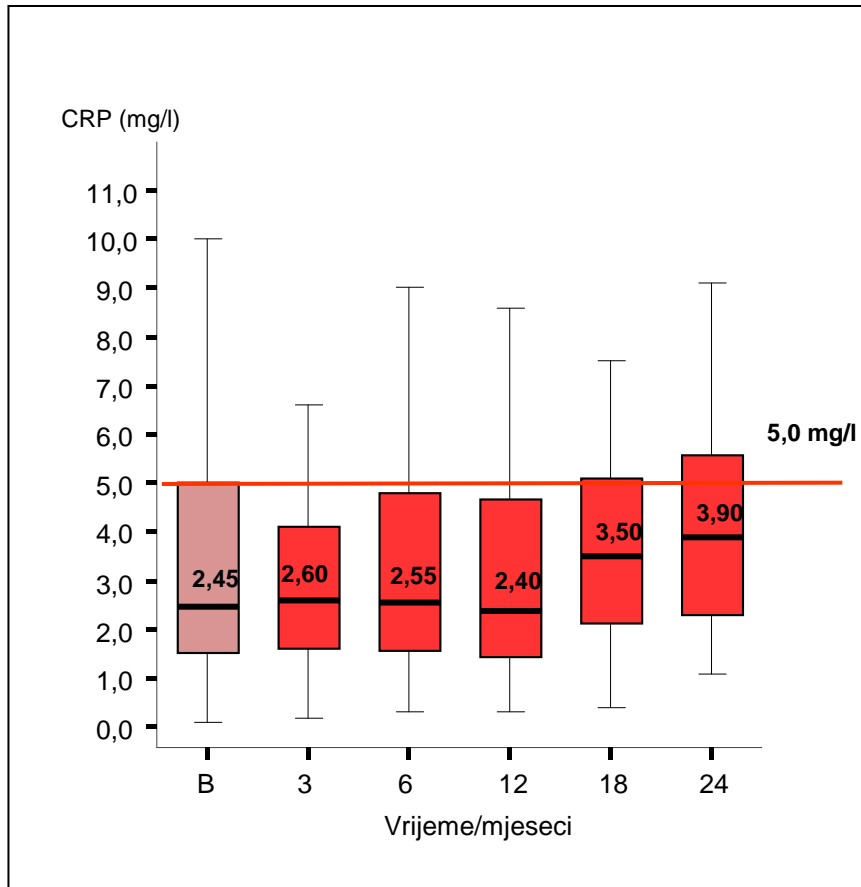
7.4. Analiza trenda CD4/CD8 odnosa, CRP-a i rizika za KVB, bazično i tokom 24 mjeseca cART.



Grafikon 11. Analiza trenda CD4/CD8 odnosa, bazično (B) i tokom od 24 mjeseca cART

Najniže vrijednosti odnosa CD4/CD8 izmjerne su bazično kod HIV ispitanika prije početka cART 0,21 (0,11-0,39); kada su i apsolutne vrijednosti CD4 bile najmanje. Nakon početka cART, vrijednosti odnosa CD4/CD8 su porasle na 0,27 (0,11-0,39). Trend statistički značajnog rasta ($p=0,001$) nastavio se i dalje, nakon 6 mjeseci cART iznosio je 0,37 (0,23-0,55).

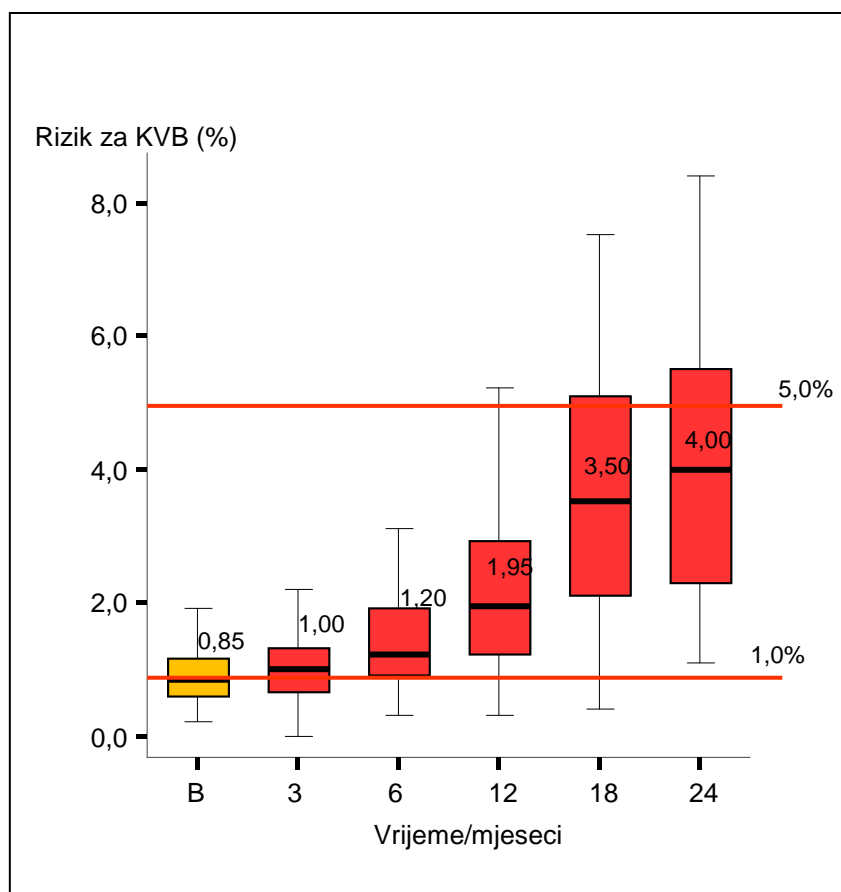
Od dvanaestog mjeseca terapije pa do kraja poamtranog perioda nastavlja se blagi trend rasta. Na kraju, 24 mjeseca cART CD4/CD8 odnos u prosjeku je iznosio 0,55 (0,44-0,76). Kod jednog HIVispitanika odnos CD4/CD8 je bio veći od 1.



Grafikon 12. Analiza trenda CRP-a, bazično i tokom od 24 mjeseca cART

Vrijednosti CRP-a bazično i tokom prvih 12 mjeseci cART terapije bile su ujednačene, bez značajnog trenda rasta ($p > 0,05$). Bazično, vrijednosti CRP-a su iznosile u prosjeku 2,45 mg/l (1,50-5,0 mg/l), a u dvanaestom mjesecu 2,4 mg/l (1,42-4,75 mg/l). Nakon 12 mjeseci prosječne vrijednosti CRP-a su statistički značajno porasle i u osmanestom mjesecu bile su 3,5 mg/l (2,1-5,10 mg/l). Trend blagog rasta nastavio se do 24 mjeseca, kada je CRP iznosio u prosjeku 3,9 mg/l (2,3-5,6 mg/l).

Prosječne vrijednosti (medijane) CRP-a tokom opservacije od 24 mjeseca bile su u okvirima referentnih granica, do 5,0 mg/l, dok su se vrijednosti oko 75 percentile, nakon 18 mjeseci kretale iznad referentne granice od 5,0 mg/l.



Grafikon 13. Analiza trenda razvoja rizika KVB (%), bazično (B) i tokom od 24 mjeseca cART

Bazično i tokom 24 mjeseca, praćen je rizik za KVB, vrijednosti skora manje od 1% smatrane su bez rizika za KVB, vrijednosti skora između 1-5% predstavljaju nizak rizik za KVB, vrijednosti veće od 5% srednji rizik za KVB.

Bazične vrijednosti skora iznosile su u prosjeku 0,85% (0,6-1,18 %) i ispitanici bazično su u prosjeku bez rizika za KVB. Nakon početka cART, rizik za KVB raste tako da je već u trećem mjesecu u prosjeku iznosio 1,0% (0,63-1,30%). Od šestog mjeseca terapije ispitanici su u prosjeku u blagom srednjem riziku 1,2% (0,9-1,9 %).

Dalje, do dvanaestog mjeseca trend rasta rizika je veći i statistički značajan ($p=0,0001$), tada rizik za KBV u prosjeku iznosio 1,9% (1,2 -2,9 %), u 18 mjesecu 3,7% (1,75-5,98 %). Nakon 24 mjeseca terapije rizik za KVB iznosio je 3,86 % (2,3-6,14 %), kada je dio ispitanika ušao u kategoriju srednjeg rizika za KVB (>5%).

Tabela 26. Korelacije CD4/CD8 odnosa, CRP-a i rizik za KVB, bazično i tokom 24 mjeseca cART

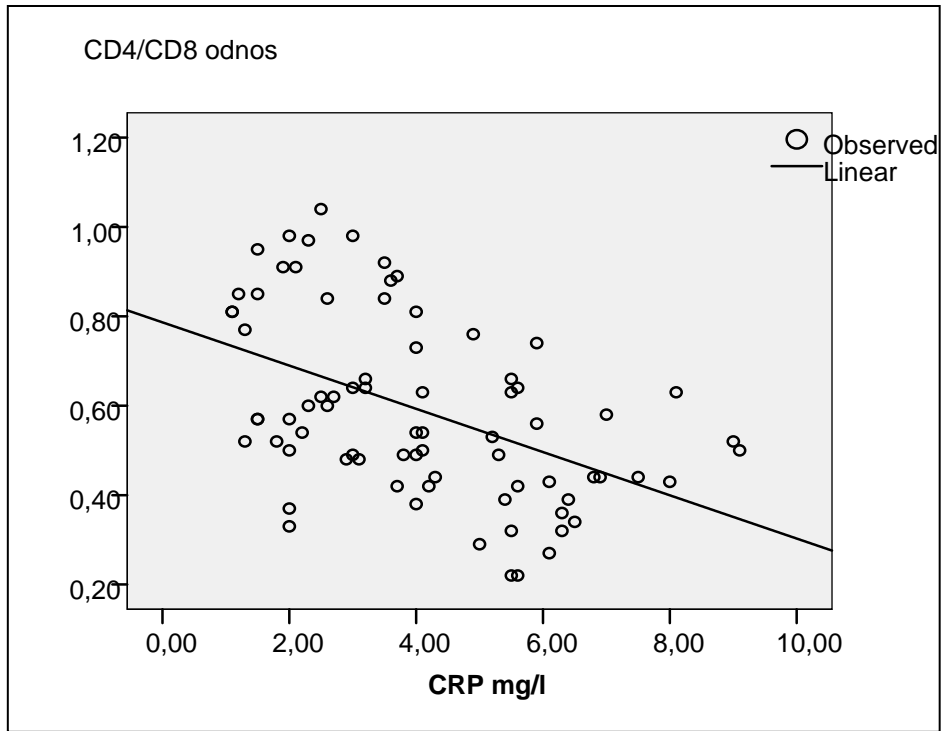
CD4/CD8 odnos	Spearman's rho	CRP (mg/l)	Rizik za KVB (%)
Bazično	Correlation Coefficient	-0,045	-0,111
	p	0,700	0,340
	N	76	76
3 mjeseca cART	Correlation Coefficient	-0,086	-,012
	p	,458	0,915
	N	76	76
6 mjeseci cART	Correlation Coefficient	-0,193	-0,171
	p	,095	0,139
	N	76	76
12 mjeseci cART	Correlation Coefficient	-0,046	-0,409
	p	,692	0,0001
	N	76	76
18 mjeseci cART	Correlation Coefficient	-0,483	-0,483
	p	,0001	0,0001
	N	76	76
24 mjeseca cART	Correlation Coefficient	-0,497	-0,490
	p	0,0001	0,0001
	N	76	76

N-uzorak; Correlation Coefficient- rho; p.vjerovatnoća

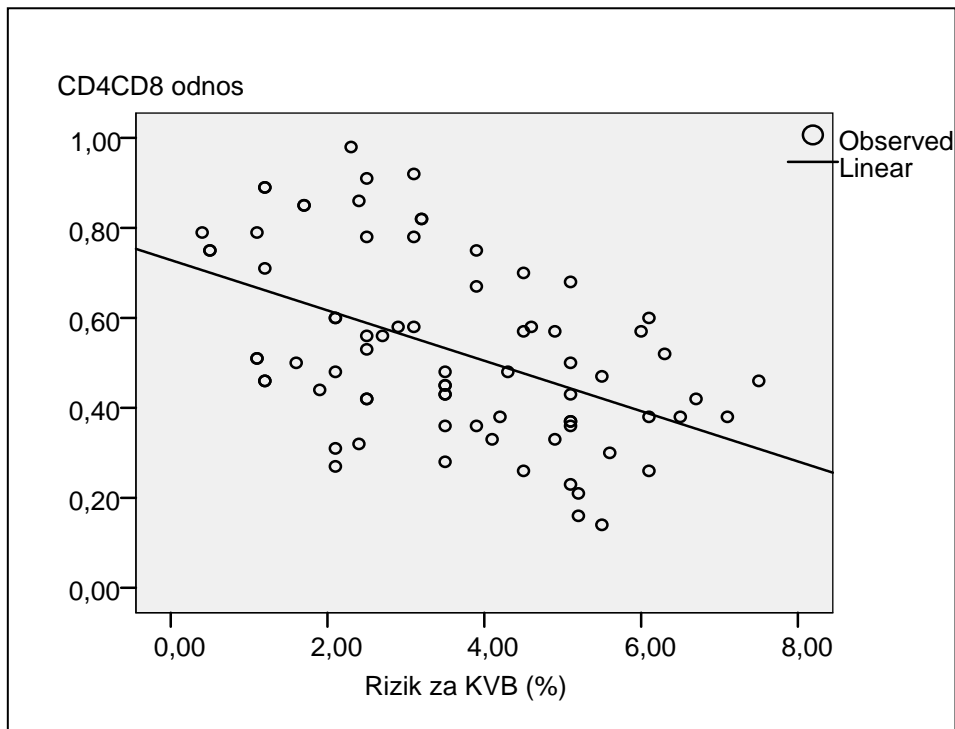
U tabeli su prikazani korelacioni koeficijenti- Spearman's rho, između CD4/CD8, CRP-a i rizika za KVB.

Bazično, prije početka terapije CD4/CD8 odnos, CRP i rizik za KVB nisu u značajnoj korelaciji $p > 0,05$. Ovakva korelacija se zadržala i nakon početka terapije, u trećem i šestom mjesecu. Nakon dvaneastog mjeseca terapije CD4/CD8 odnos je u korelaciji sa rizikom za KVB ($\rho = -0,409$; $p = 0,0001$). Korelacija je srednje jaka i negativna, što je veći CD4/CD8 odnos, manja je vjerovatnoća (%) za KVB. Nakon 18 mjeseci cART, CD4/CD8 odnos je u negativnoj i srednje jakoj korelaciji i sa CRP-om i sa rizikom za KVB ($\rho = -0,483$ i $\rho = 0,483$; $p < 0,01$). Što je veći CD4/CD8 odnos, manje su vrijednosti CRP-a i manji je rizik za KVB.

Ista, negativna i srednje jaka korelacija sa CRP-om (Grafikon 14.) i rizikom za KVB (Grafikon 15.) se zadržala i nakon 24 mjeseca cART.



Grafikon 14. Dijagram rasturanja (eng. scatter dot), korelacije između CRP-a i CD4/CD8 nakon 24 mjeseca cART.



Grafikon 15. Dijagram rasturanja (scatter dot), korelacije između rizika za KVB i CD4/CD8 nakon 24 mjeseca cART

Tabela 27. Povezanost (korelacije) CRP-a i rizika za KVB, bazično i tokom 24 mjeseca cART

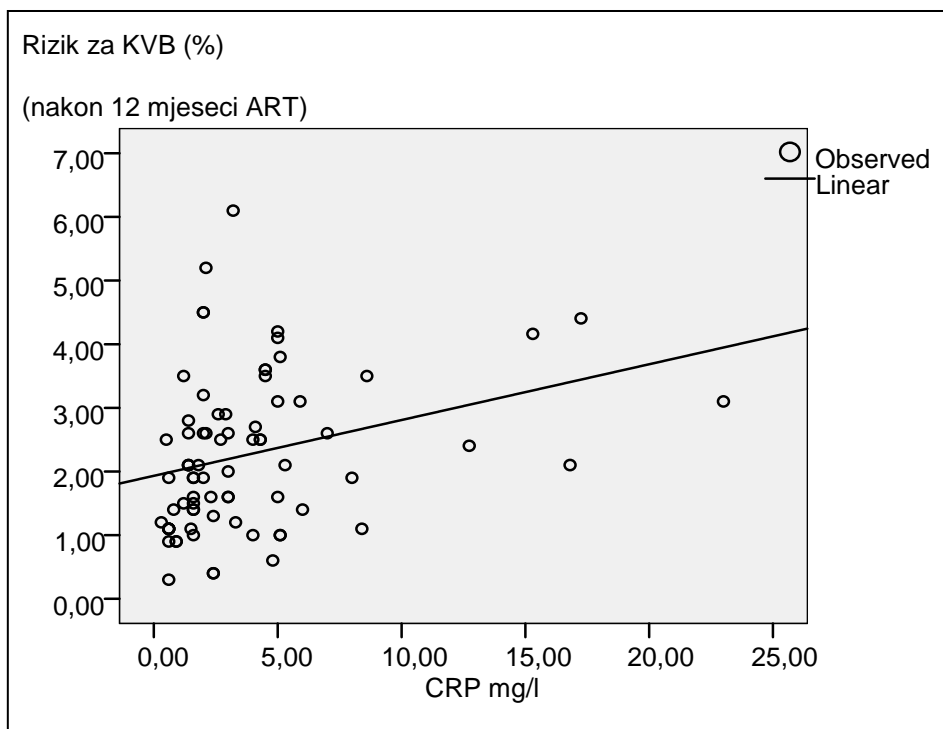
CRP mg/l	Spearman's rho	Rizik za KVB(%)
Bazično, prije početka cART	koeficijet korelacije	,217
	p	,059
	N	76
3 mjeseca cART	koeficijet korelacije	,187
	p	,107
	N	76
6 mjeseci cART	koeficijet korelacije	,044
	p	,705
	N	76
12 mjeseci cART	koeficijet korelacije	,328
	p	,004
	N	76
18 mjeseci cART	koeficijet korelacije	,747
	p	,0001
	N	76
24 mjeseca cART	koeficijet korelacije	,710
	p	,0001
	N	76

N-uzorak; koeficijet korelacije - rho; p.vjerovatnoća

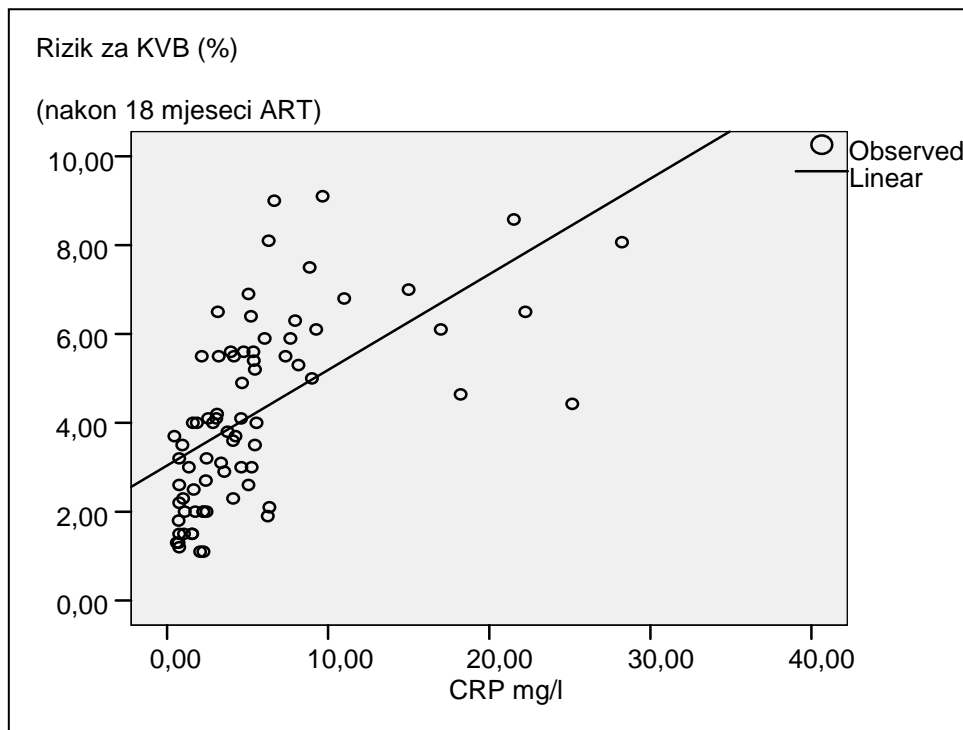
U tabeli su prikazani korelacioni koeficijenti- Spearman's rho, CRP-a i rizika za KVB.

Bazično, prije početka terapije CRP i rizik za KVB nisu u značajnoj korelaciji $p > 0,05$. Ovakva korelacija se zadržala i nakon početka terapije u trećem i šestom mjesecu. Nakon dvaneastog mjeseca terapije CRP je u korelaciji sa rizikom za KVB ($\rho = 0,328$; $p = 0,004$). Korelacija je blaga i pozitivna, što su veće vrijednosti CRP-a veći je rizik za KVB (Grafikon 16.).

Nakon 18 mjeseci cART, CRP je u pozitivnoj i jakoj korelaciji sa rizikom za KVB, ($\rho = 0,747$; $p = 0,0001$). Ista jaka korelacija zadržala se i nakon 24 mjeseca cART. Visoke vrijednosti CRP-a imali su ispitanici sa višim rizikom za KVB (Grafikon 17.).

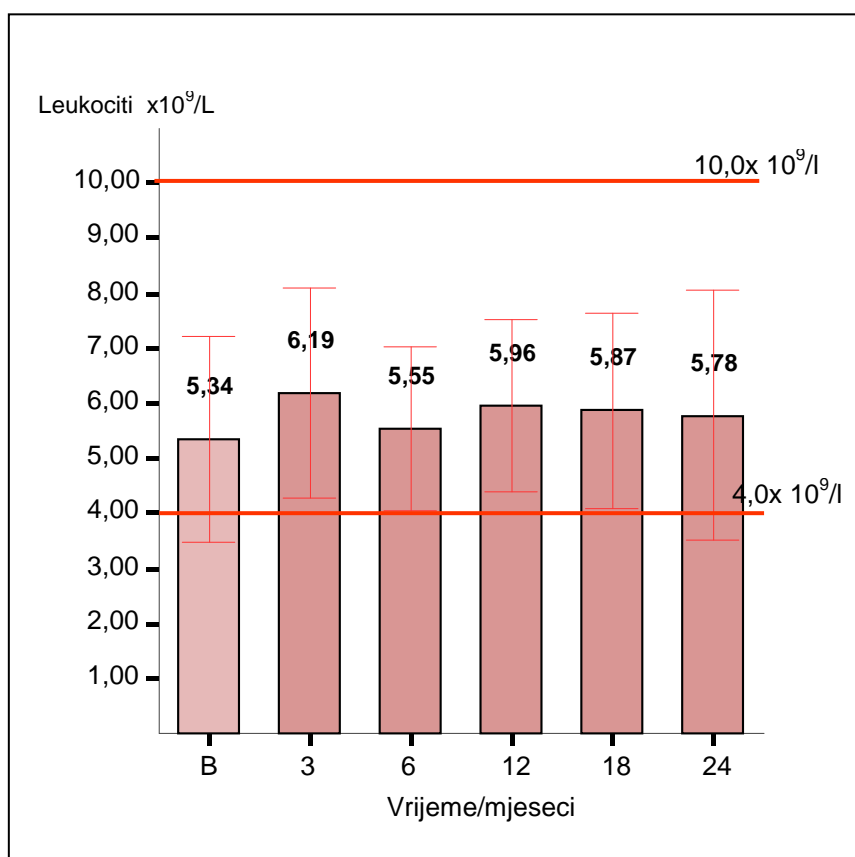


Grafikon 16. Dijagram rasturanja (engl. scatter dot), korelacija između CRP-a i rizika za KVB nakon 12 mjeseci cART.



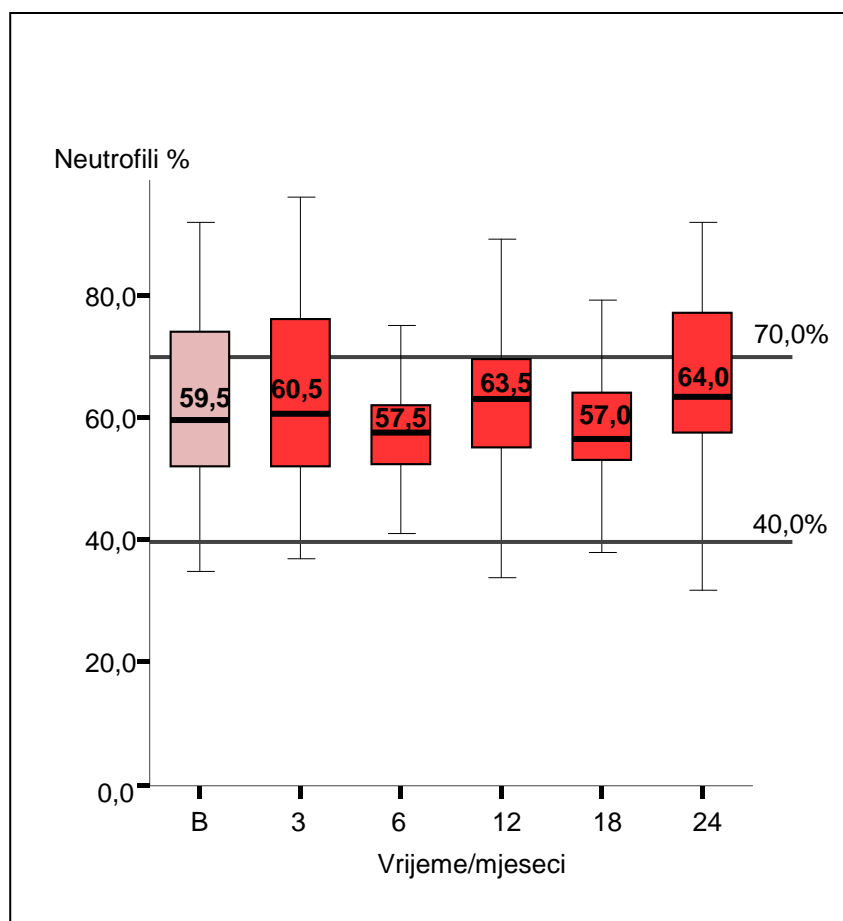
Grafikon 17. Dijagram rasturanja (eng. scatter dot), korelacija između CRP-a i rizika za KVB nakon 18 mjeseci cART.

7.5. Analiza trenda promjena nespecifičnih parametara upale tokom ART



Grafikon 18. Analiza trenda promjena leukocita bazično (B) i tokom od 24 mjeseca cART

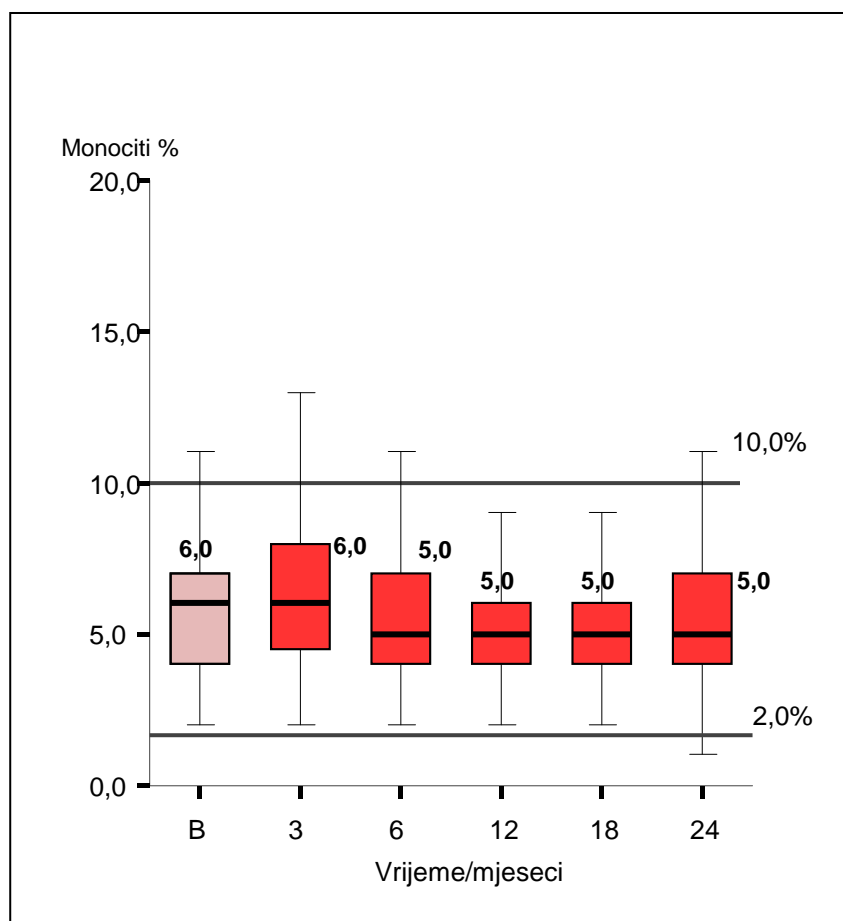
Prosječne vrijednosti leukocita su se kretale u okvirima referentnih vrijednosti između 4,0-10,0 x10⁹/l, trend promjena vrijednosti leukocita u toku 24 mjeseca nije statistički značajan p>0,05. Bazično prije početka cART prosječne vrijednosti leukocita iznosile su 5,34 ± 1,88 x10⁹/l. Nakon 3 mjeseca od početka cART prosječne vrijednosti leukocita iznosile su 6,12 ± 1,91 x10⁹/l. Nakon 6 mjeseci od početka cART prosječne vrijednosti leukocita iznosile su 5,55 ± 1,50 x10⁹/l. Nakon 12 mjeseci od početka cART prosječne vrijednosti leukocita iznosile su 5,96 ± 1,58 x10⁹/l. Nakon 18 mjeseci od početka cART prosječne vrijednosti leukocita iznosile su 5,87 ± 0,1,77 x10⁹/l. Nakon 24 mjeseca od početka cART prosječne vrijednosti leukocita iznosile su 5,78 ± 2,28 x10⁹/l.



Grafikon 19. Analiza trenda promjena neutrofila bazično (B) i tokom od 24 mjeseca cART

Prosječne vrijednosti neutrofila su se kretale u okvirima referentnih vrijednosti između 40-70%. Bazično prosječne vrijednosti neutrofila iznosile su 59,5% (52,0-74,5 %), na ART na kraju opservacionog perioda prosječne vrijednosti iznosile su 63,5% (53,0-77,0 %).

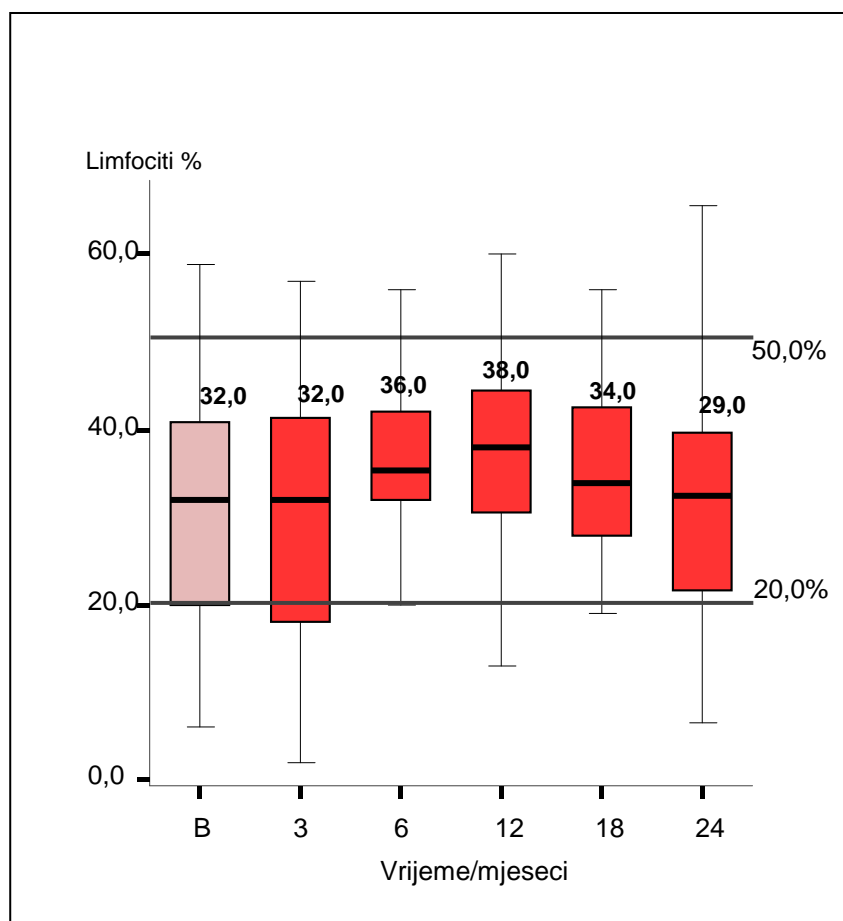
Trend promjena neutrofila nema statističkog značaja $p > 0,05$.



Grafikon 20. Analiza trenda promjena monocita bazično (B) i tokom od 24 mjeseca cART

Prosječne vrijednosti monocita su se kretale u okvirima referentnih vrijednosoti između 2-10 %, trend promjena vrijednosti monocita u toku 24 mjeseca nije statistički značajan $p > 0,05$.

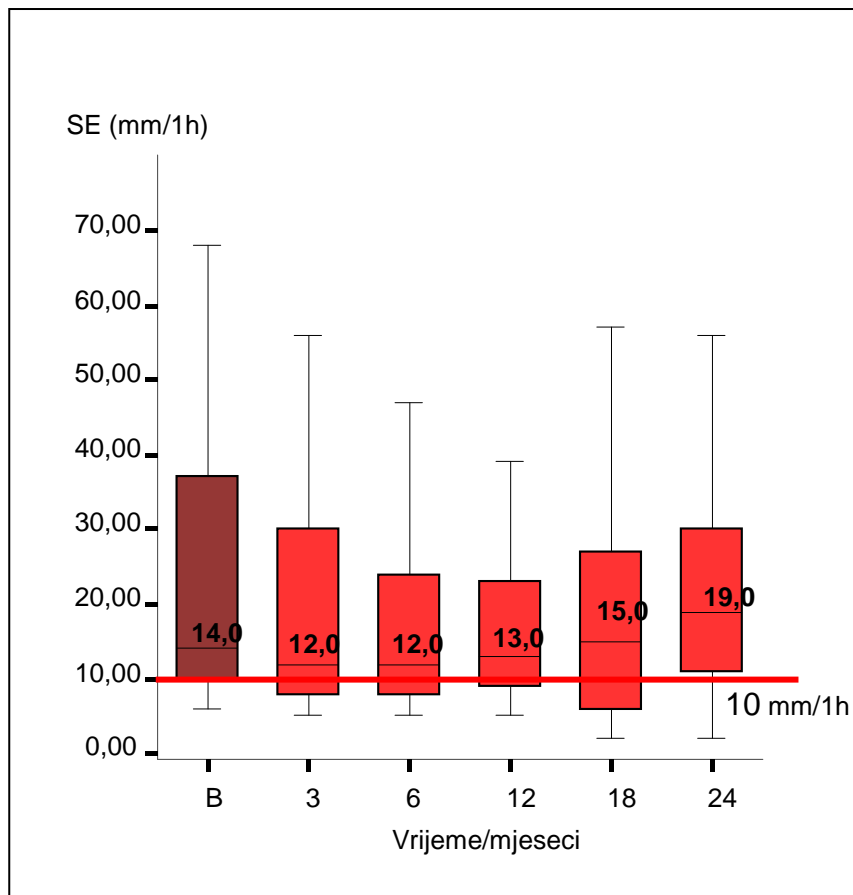
Bazično prije početka cART prosječne vrijednosti monocita iznosile su 6,0% (4,0-7,0%), nakon tri mjeseca ART 6,0% (4,2-8,0 %), i ovaj prosjek se održavao do kraja 24 mjeseca, kada su prosječne vrijednosti monocita iznosile 5,0% (4,0-7,0%).



Grafikon 21. Analiza trenda promjena limfocita bazično (B) i tokom od 24 mjeseca cART

Prosječne vrijednosti limfocita su se kretale u okvirima referentnih vrijednosti između 20-50%. Bazično prosječne vrijednosti limfocita iznosile su 32% (20-41%), kao i u trećem mjesecu nakon početka cART 32% (18-41,7%). Potom slijedi blagi trend rasta do 12 mjeseca 38 % (30,2-44,7 %), a potom blagi trend pada do 24 mjeseca 29,0% (18-36,0 %).

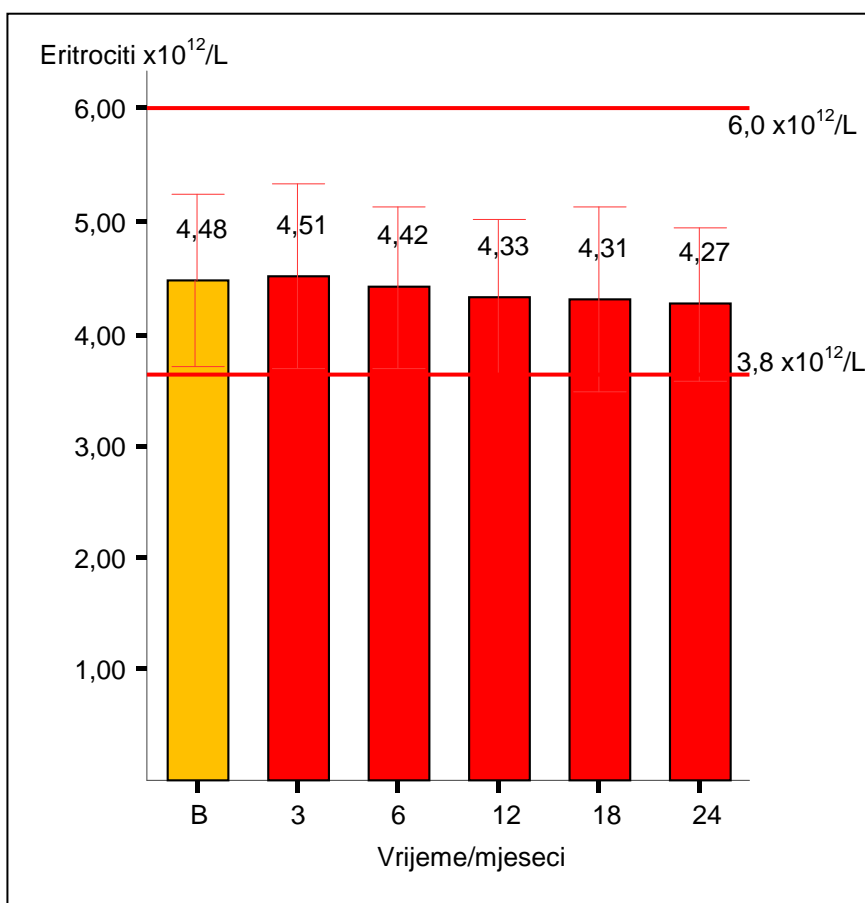
Prikazani trend promjena limfocita je statistički značajan $p < 0,05$.



Grafikon 22. Analiza trenda promjena sedimentacije (SE) bazično (B) i tokom od 24 mjeseca cART

Prosječne vrijednosti SE su se kretale iznad referentnih vrijednosti >10 mm/h. Bazično i do dvanaestog mjeseca nema statistički značajnih promjena prosječnih vrijednosti SE $p < 0,05$, od osamnaestog mjeseca do 24 mjeseca sedimentacija je u blagom rastu, i taj porast je statistički značajan $p = 0,0001$. Bazično prosječne SE iznosile su 14,0 mm/h (10-38 mm/h), nakon početka cART u osamnaestom mjesecu 15,0 mm/h (6-27 mm/h), a na kraju opservacionog perioda evidentirane su najviše prosječne vrijednosti 19 mm/h (11-30 mm/h).

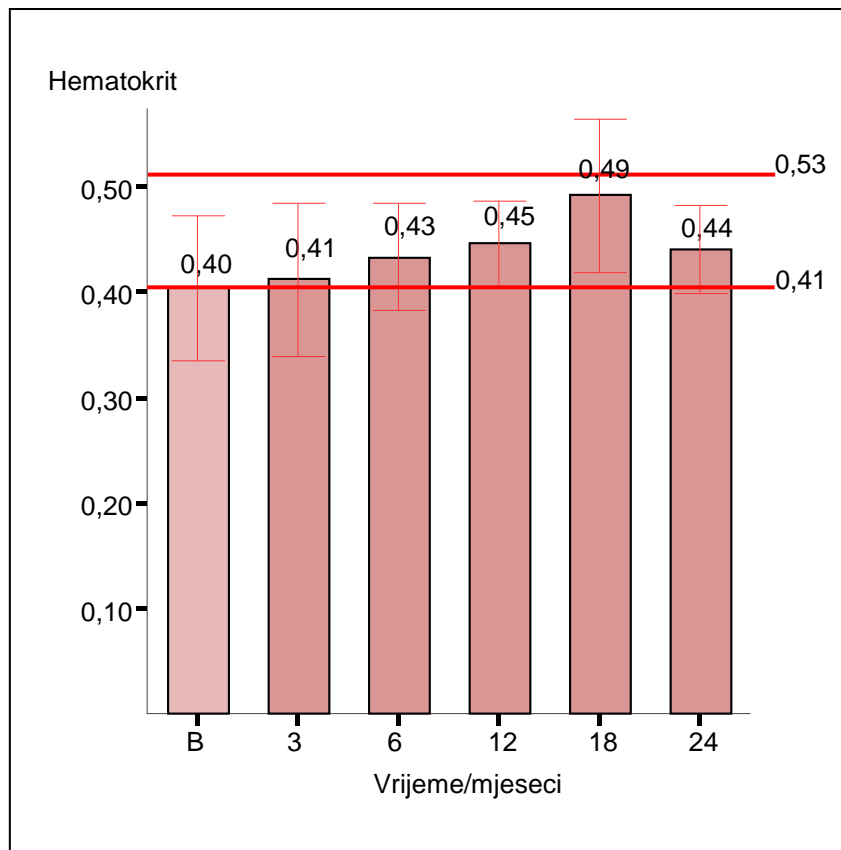
7.6. Analiza trenda promjena krvne slike bazično i tokom cART.



Grafikon 23. Analiza trenda promjena eritrocita bazično (B) i tokom od 24 mjeseca cART

Prosječne vrijednosti eritrocita su se kretale u okvirima referentnih vrijednosti između 3,8-6,0 $\times 10^{12}/l$, trend promjena vrijednosti eritrocita u toku 24 mjeseca nije statistički značajan $p > 0,05$.

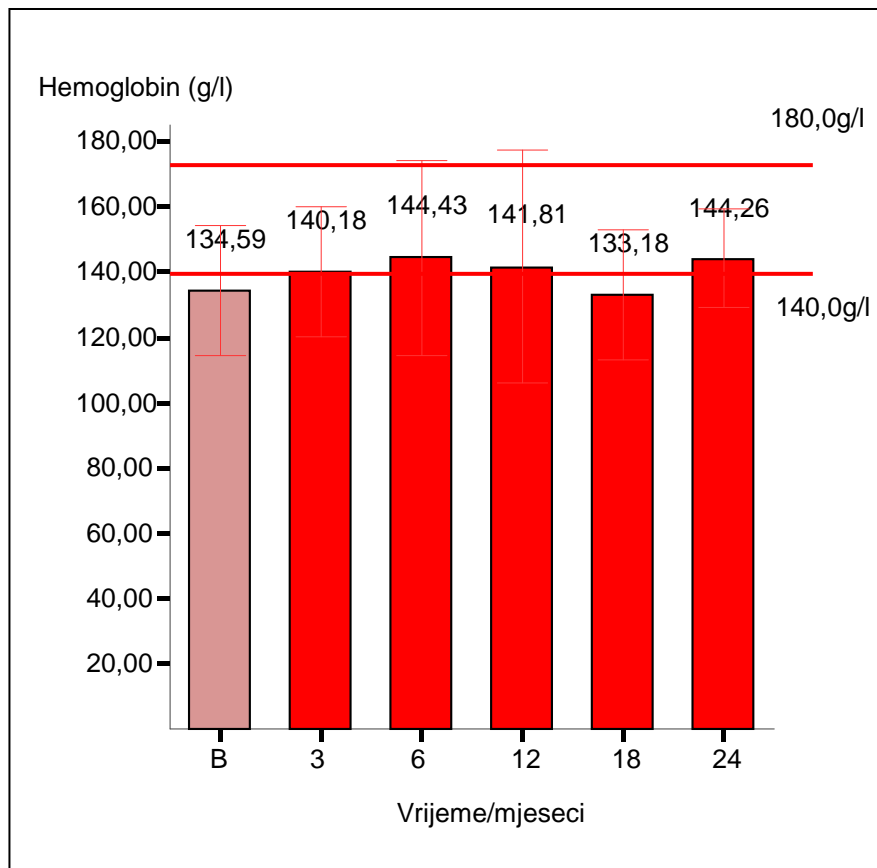
Bazično, prije početka cART prosječne vrijednosti eritrocita iznosile su $4,48 \pm 0,78 \times 10^{12}/l$. Nakon 3 mjeseca od početka cART prosječne vrijednosti eritrocita iznosile su $4,51 \pm 0,83 \times 10^{12}/l$. Nakon 6 mjeseci od početka cART prosječne vrijednosti eritrocita iznosile su $4,42 \pm 0,73 \times 10^{12}/l$. Nakon 12 mjeseci od početka cART prosječne vrijednosti eritrocita iznosile su $4,33 \pm 0,69 \times 10^{12}/l$. Nakon 18 mjeseci od početka cART prosječne vrijednosti eritrocita iznosile su $4,31 \pm 0,82 \times 10^{12}/l$. Nakon 24 mjeseca od početka cART prosječne vrijednosti eritrocita iznosile su $4,27 \pm 0,70 \times 10^{12}/l$.



Grafikon 23. Analiza trenda promjena hematokrita bazično (B) i tokom od 24 mjeseca cART

Prosječne vrijednosti hematokrita nakon početaka ART kretale u okvirima referentnih vrijednosti 0,41-0,53,

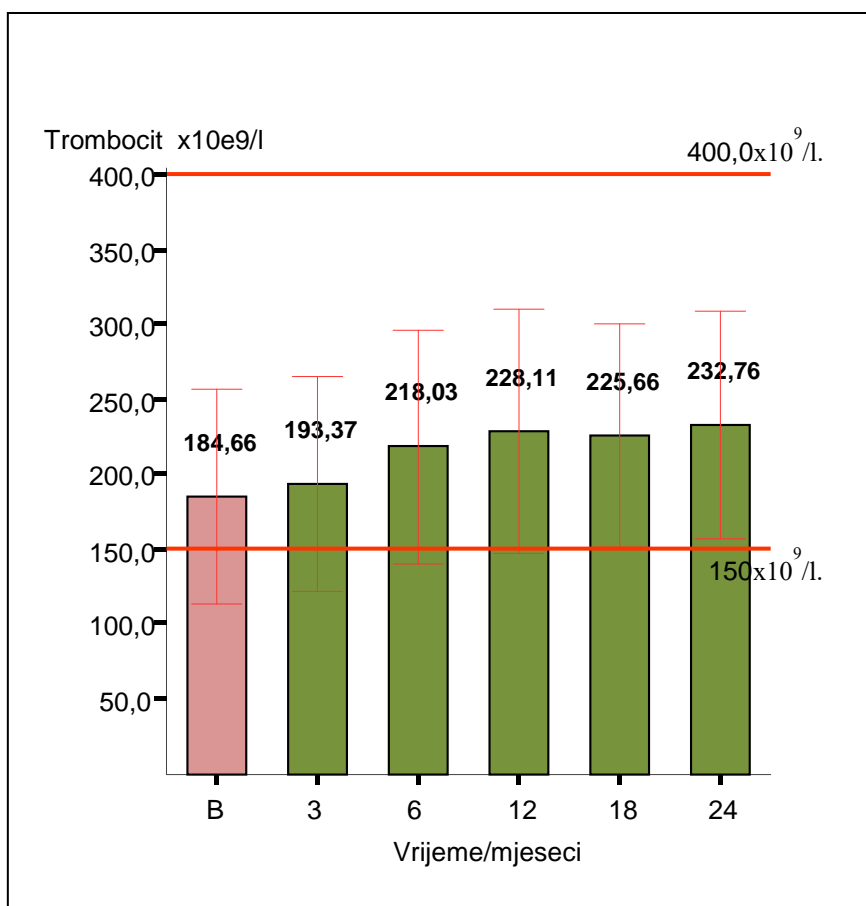
Bazično, su se vrijednosti hematokrita kretale $0,40 \pm 0,07$, odnosno na donjoj referentnoj granici od 0,41, ali bez statistički značajnog odstupanja od iste ($p > 0,05$). Dalje, vrijednosti hematokrita rastu do 18 mjeseca na cART ($0,49 \pm 0,6$) i taj trend rasta je statistički značajan ($p < 0,05$), da bi se u 24 mjesecu zabilježio blagi pad na $0,44 \pm 0,4$.



Grafikon 23. Analiza trenda promjena hemoglobina bazično (B) i tokom od 24 mjeseca cART

Bazično vrijednosti hemoglobina kretale su se $134,59 \pm 19,82$ g/l i ispod su donje referentne granice, a to odstupanje je statistički značajno $p=0,02$.

Na cART hemoglobin ima statistički značajan trend rasta ($p<0,05$), tako da vrijednosti istog u 6 mjesecu iznose $144,43 \pm 3,016$ g/l. U daljem toku opet se bilježi značajan pad na $141,81 \pm 35,62$ g/l, da bi na kraju opservacionog perioda od 24 mjeseca njegove vrijednosti porasle na $144,26 \pm 24$ g/l, odnosno bile u okvirima referentnih vrijednosti 140,0-180,0 g/l.

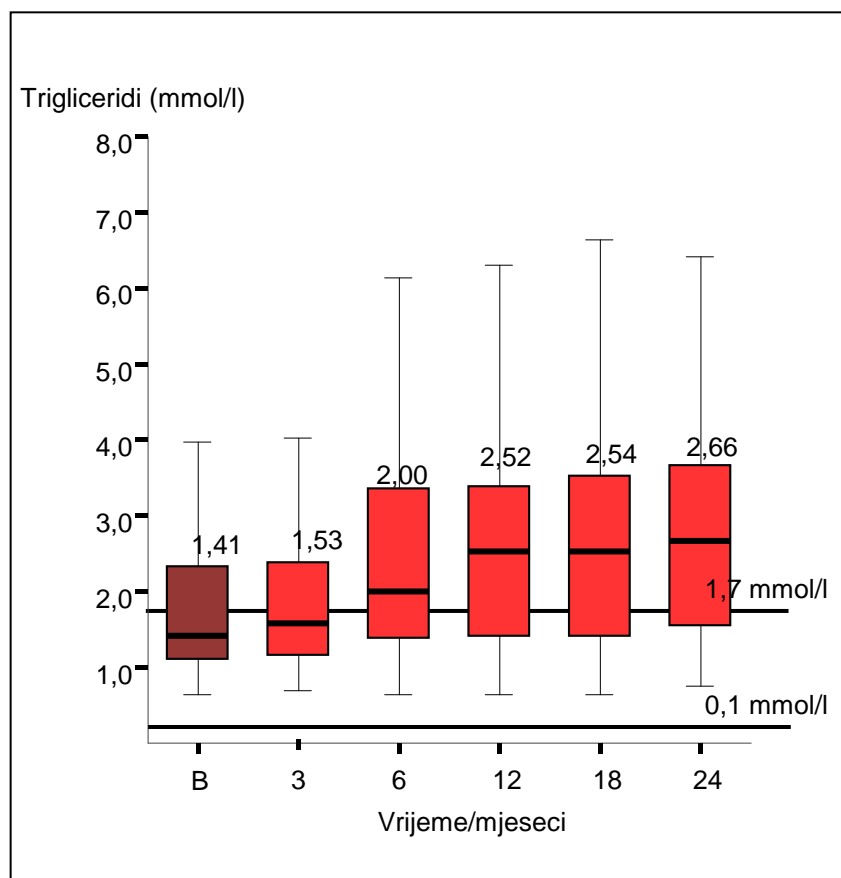


Grafikon 24. Analiza trenda promjena trombocita bazično (B) i tokom od 24 mjeseca cART

Prosječne vrijednosti trombocita su se kretale u okvirima referentnih vrijednosti između 150,0-400,0 $\times 10^9/l$, trend promjena vrijednosti trombocita u toku 24 mjeseca je statistički značajan $p < 0,05$. Taj trend se odnosi na prelaz između 3 i 6. mjeseca terapije.

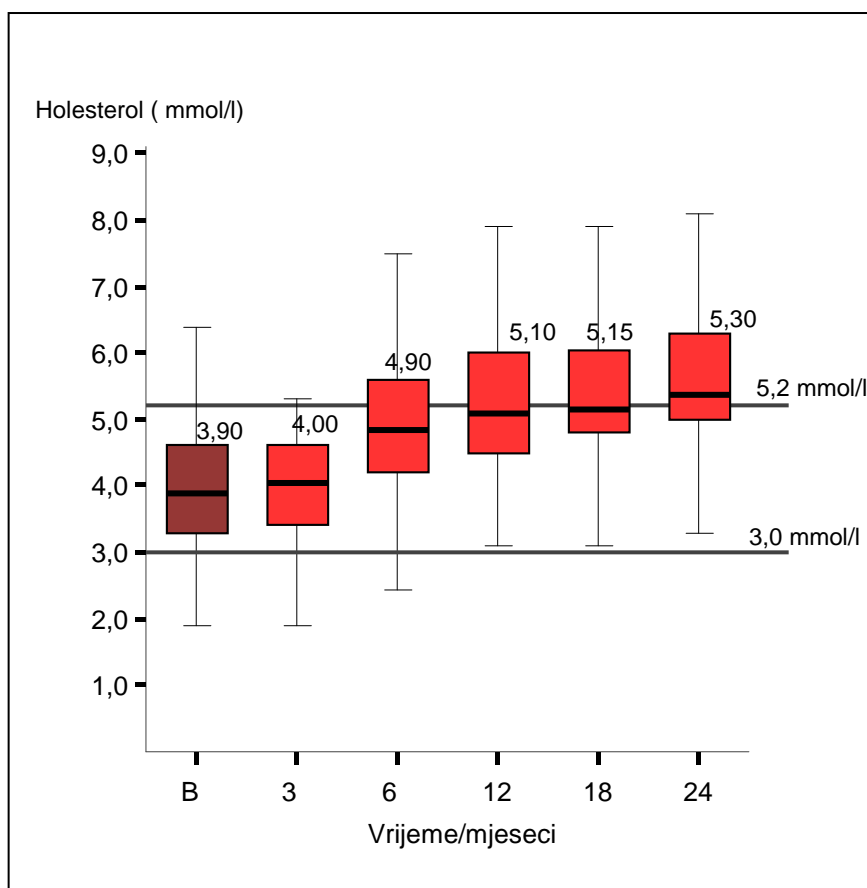
Bazično, prije početka cART, su prosječne vrijednosti trombocita iznosile $184,66 \pm 71,38 \times 10^9/l$. Nakon tri mjeseca od početka cART prosječne vrijednosti trombocita su iznosile $193,37 \pm 72,0 \times 10^9/l$. Nakon 6 mjeseci od početka cART prosječne vrijednosti trombocita iznosile su $218,03 \pm 81,34 \times 10^9/l$. Nakon 12 mjeseci od početka cART prosječne vrijednosti trombocita iznosile su $228,11 \pm 81,34 \times 10^9/l$. Nakon 18 mjeseci od početka cART prosječne vrijednosti trombocita iznosile su $225,66 \pm 74,09 \times 10^9/l$. Nakon 24 mjeseca od početka cART prosječne vrijednosti trombocita iznosile su $232,76 \pm 2,28 \times 10^9/l$.

7.7. Analiza trenda promjena lipidograma i ITM, bazično i tokom cART



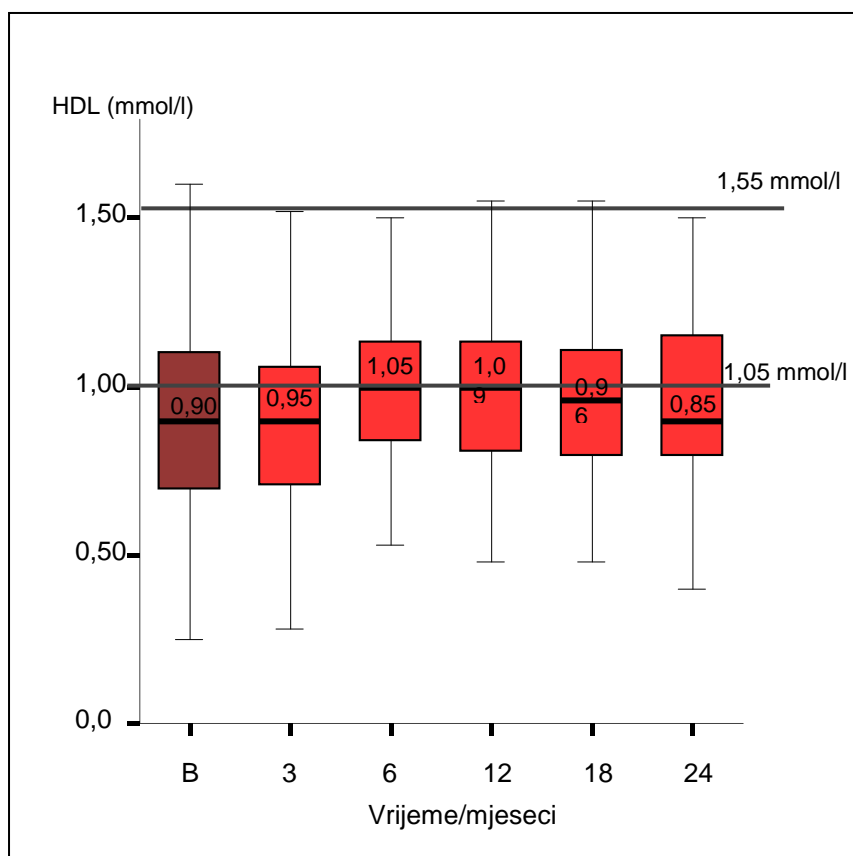
Grafikon 25. Analiza trenda promjena triglicerida bazično (B) i tokom od 24 mjeseca cART

Bazično i nakon 3 mjeseca cART prosječne vrijednosti triglicerida su se kretale u okvirima referentnih vrijednosti 0,1-1,7 mmol/l, i iznosile su bazično 1,41 mmol/l (1,09-2,35 mmol/l) i nakon tri mjeseca 1,53 mmol/l (1,10-2,40 mmol/l). Nakon tri mjeseca terapije postoji statistički značajan trend rasta ($p < 0,05$) triglicerida, već nakon šest mjeseci trigliceridi su prešli gornju referentnu granicu i iznosili 2,0 mmol/l (1,39-3,46 mmol/l). Trend blagog rasta zadržao se do 24 mjeseca, kada i prosječne vrijednosti triglicerida 2,66 mmol/l (1,56-3,73 mmol/l) bile statistički značajno ($p = 0,001$) iznad gornje referentne granice.



Grafikon 26. Analiza trenda promjena holesterola bazično (B) i tokom od 24 mjeseca cART

Bazično i nakon 3 mjeseca cART prosječne vrijednosti holesterola su se kretale u okvirama referentnih vrijednosti 3,0-5,2 mmol/l, i iznosile su bazično 3,90 mmol/l (3,30-4,60 mmol/l), a nakon tri mjeseca 4,0 mmol/l (3,40-4,60 mmol/l). Nakon 6 mjeseci terapije postoji statistički značajan trend rasta ($p < 0,05$) holesterola 4,90 mmol/l (4,20-5,60 mmol/l) sve do 24 mjeseca, kada i prosječne vrijednosti prelaze gornju referentnu vrijednost od 5,30 mmol/l (5,0-6,30 mmol/l). Od 12 do 24 mjeseca prosječne vrijednosti holesterola su se približile gornjoj granici, nakon 12 mjeseci holesterol je u prosjeku iznosio 5,10 mmol/l (4,5-6,0 mmol/l), nakon 18 mjeseci 5,15 mmol/l (4,80-6,08 mmol/l) i nakon 24 mjeseca 5,30 mmol/l (4,95-6,20 mmol/l).

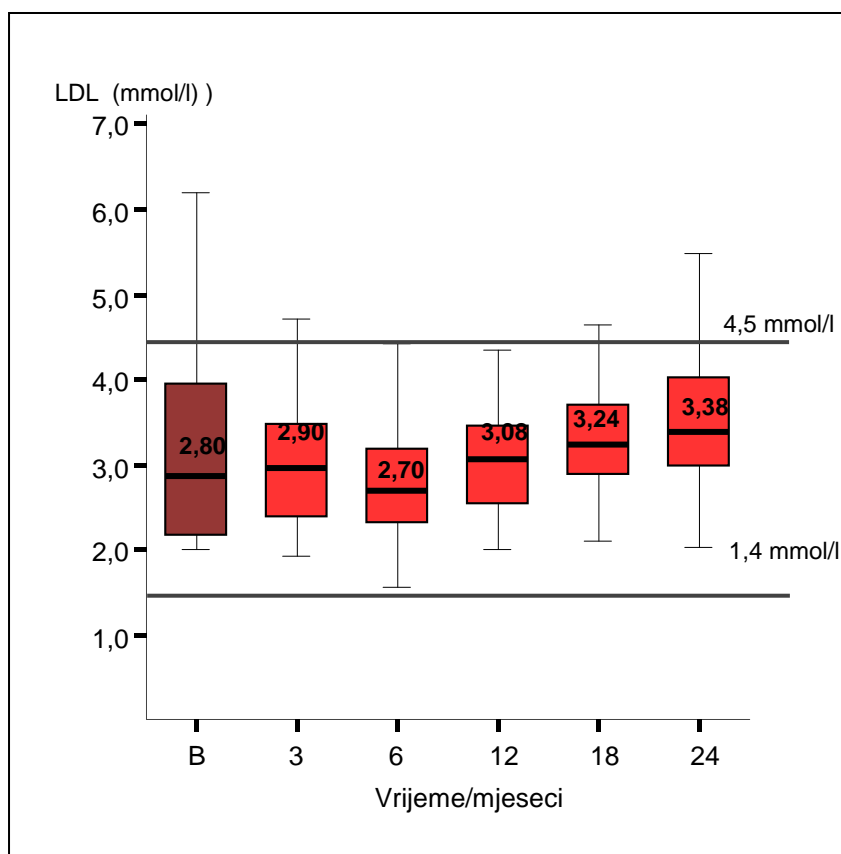


Grafikon 27. Analiza trenda promjena HDL-a bazično (B) i tokom od 24 mjeseca cART

Bazično i nakon 3 mjeseca cART prosječne vrijednosti HDL-a su se kretale ispod donje referentne vrijednosti 1,05 mmol/l, i iznosile su bazično 0,95 mmol/l (0,70-1,10 mmol/l).

Nakon tri mjeseca 0,95 mmol/l (0,75-1,05mmol/l), nakon 6 mjeseci terapije postoji statistički značajan trend rasta ($p < 0,05$) HDL-a 1,05 mmol/l (0,85-1,15 mmol/l) sve do 12 mjeseci, kada i prosječne vrijednosti prelaze gornju referentnu vrijednost, 1,09 mmol/l (0,80-1,15 mmol/l). Od 12 do 24 mjeseca prosječne vrijednosti HDL-a značano se smanjuju ($p < 0,05$) i ispod su donje referentne granice, tako da nakon 18 mjeseci HDL je u prosjeku iznosio 0,96 mmol/l (0,80-1,12 mmol/l), sto je približno vrijednostima nakon 24 mjeseca 0,90 mmol/l (0,80-1,18 mmol/l).

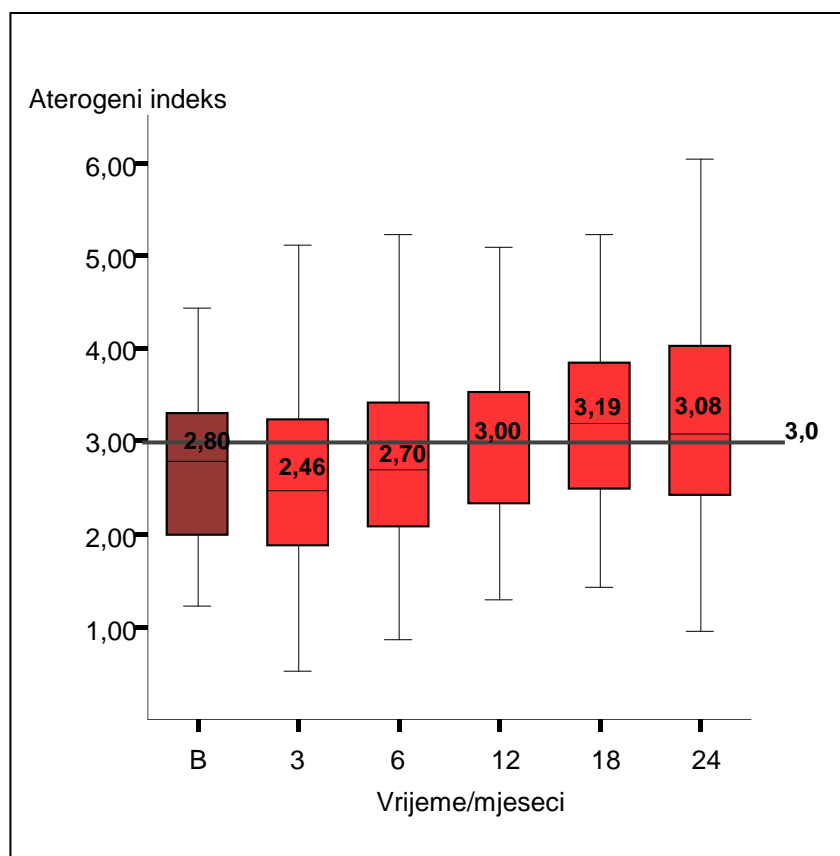
Opisani trend promjena vrijednosti HDL-a je statistički značajan $p < 0,05$.



Grafikon 28. Analiza trenda promjena LDL-a bazično (B) i tokom od 24 mjeseca cART

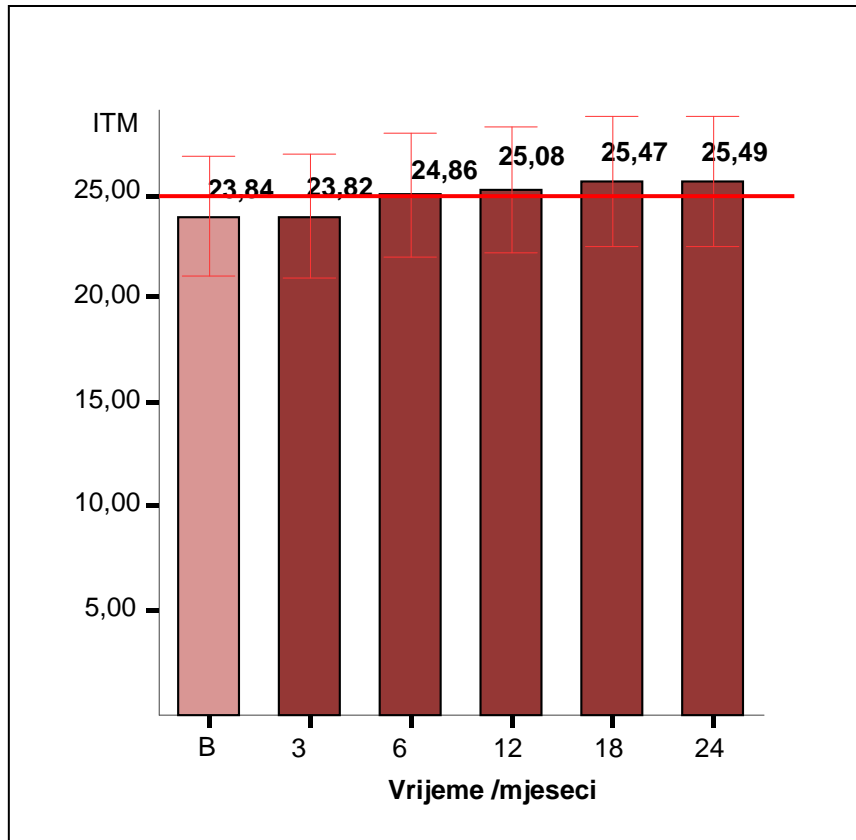
Bazično, nakon 3 i 6 mjeseci cART prosječne vrijednosti LDL-a su se kretale u okvirima referentnih vrijednosti 1,4-4,5 mmol/l.

Bazično, LDL iznosio je 2,80 mmol/l (2,17-3,98 mmol/l), nakon 3 mjeseca 2,90 mmol/l (2,29-3,40 mmol/l) i nakon 6 mjeseci 2,70 mmol/l (2,33-3,21 mmol/l). Nakon 6 mjeseci počinje statistički značajan rast ($p=0,001$) LDL-a ka gornjoj referentnoj granici, u 12 mjesecu iznosio je 3,08 mmol/l (2,54–3,5 mmol/l) nakon 18 mjeseci 3,24 mmol/l (2,89-3,70 mmol/l). Trend rasta LDL-a održava do 24 mjeseca kada su prosječne vrijednosti iznosile 3,38 mmol/l (3,0-4,04 mmol/l).



Grafikon 28. Analiza trenda promjena aterogenog indeksa bazično (B) i tokom od 24 mjeseca cART

Bazično, nakon 3 i 6 mjeseci cART u prosjeku aterogeni indeks bio je ispod referentne granice od 3. Nakon šest mjeseci postoji statistički značajan trend promjene, odnosno rasta aterogenog indeksa ($p=0,001$), tako da je aterogeni indeks nakon 18 i 24 mjeseca bio iznad referentne granice od 3, i iznosio u prosjeku 3,19 (2,55-3,8) odnosno 3,08 (2,41-4,04).



Grafikon 28. Analiza trenda promjena ITM-a bazično (B) i tokom od 24 mjeseca cART

Postoji statistički značajan trend rasta ITM tokom 24 mjeseca cART $p=0,0001$.

Bazične vrijednosti ITM (prije početka cART) iznosile su u prosjeku $23,84 \pm 2,84$, nakon 3 mjeseca $23,82 \pm 2,96$, nakon 6 mjeseci $24,86 \pm 3,05$ i bile su u prosjeku u kategoriji normalno uhranjenih (ITM <25). Nakon 12 mjeseci prosječne vrijednosti ITM su prešle u kategoriju pretjerane težine (ITM >25), i iznosile su $25,08 \pm 3,03$, nakon 18 mjeseci $25,47 \pm 3,11$, a nakon 24 mjeseca $25,49 \pm 3,08$.

8. DISKUSIJA

Istraživanje je pokazalo da kod pacijenata sa HIV infekcijom na cART veći odnos CD4/CD8 i terapijski režim NNRTIs+NRTI u odnosu na PI+NRTI djeluju protektivno na razvoj KVB, dok su više vrijednosti CRP-a u korelaciji sa većim rizikom za KVB. Takođe u istraživanju je dokazano da CRP i CD4/CD8 odnos mogu biti markeri koji razlikuju srednji/nizak stepen rizika KVB nakon 12 mjeseci cART.

U toku posljednje dvije decenije, zahvaljujući otkriću novih lijekova i upotrebi visoko aktivne antiretrovirusne terapije, došlo je do značajnog povećanja životnog vijeka HIV /AIDS bolesnika. Shodno tome vođenje pacijenata sa HIV infekcijom, osim terapijskog izbora ART, prešao je na upravljanje dugoročnim komplikacijama hronične HIV infekcije, negativnim i sporednim efektima ART i poboljšanju kvaliteta života pacijenata sa HIV-om naročito u razvijenim zemljama. U slabije razvijenim zemljama i zemljama u razvoju, rastuća incidenca HIV infekcije s jedne strane, a nizak standard s druge strane, predstavlja osnovni problem u tretmanu i kliničkom vođenju HIV/AIDS bolesnika. Stoga se traga za pojednostavljenim protokolom u vođenju HIV/AIDS-a i za jeftinijim i bržim markerima za praćenje aktivnosti bolesti, efikasnosti terapije i prognoze hroničnih ne-AIDS bolesti (79).

Presječna studija Kim SB i sar. analizirala je prediktivne faktore na KVB kod HIV inficiranih pacijenata tokom deset godina visokoaktivne antiretrovirusne terapije u odnosu na populaciju HIV neinficiranih uz pomoć Framinghmovog rizik skora (FRS). Rezultati ove studije ukazuju da nije bilo razlike u riziku za KVB u odnosu prisutvo/odsustvo HIV infekcije, kao ni na tip terapijskog režima kod HIV inficiranih (NNRT u odnosu na PI terapijski izbor). Autori ovo objašnjavaju činjenicom da je korišten FRS u za čiji proračun nije potrebno navoditi terapijski profil kao što je slučaj sa D:A:D kalkulatorom. Model D:A:D izračunava rizik za KVB bodujući starost, pol, sistolni krvni pritisak, status pušenja, porodična istorija KVB, dijabetes, ukupni holesterol, HDL holesterol, tretman i dužinu tretmana lijekovima: indinavir, lopinavir/ritonavir i abakaviru (108).

Naši rezultati su slični rezultatima Sankatsing RR i sar. koje su dobili u presječnoj studiji mjerenjem debljine intime medije karotidne arterije. HIV inficirani na cART duže od 24 mjeseca koja uključuje NNRT u odnosu na PI imali su manji rizik KVB. Naime, autori su također dobili da je mjerenje debljine intime medije validan surogat marker za KVB, koji su računali pomoću FRS. U zaključku ove studije autori podvlače da su u praćenju rizika za

KVB neizostavni i markeri tradicionalnog rizika KVB (starost, spol, pušački status, lipidi i sl.), te da se na iste mora računati u sklopu terapijskog odabira i daljeg kliničkog monitoringa HIV/AIDSa (109).

U prilog našim rezultatima je i studija Kiage JN i sar. Rezultati ove studije ukazuju na to da su terapijski modeli prve linije cART-a u koji nisu uključivali inhibitore proteaze (PI) povezani sa kardioprotektivnim lipidnim profilima koji karakteriše značajno povećanje HDL-a i smanjenje ukupnog holesterola (110).

Nekoliko studija ustanovilo pozitivnu povezanost između cART i KVB rizika, takođe postoje suprotni podaci koji pokazuju da cART može poboljšati endotelnu funkciju i ispoljavati protektivne efekte u pogledu nastanka ateroskleroze. Interesantno je da razlike postoje u relativnom riziku za nastanak KVB između i unutar klasa antiretrovirusnih lijekova. U literaturnim podacima pronađene su informacije o štetnim događajima anti-HIV lijekova (D:A:D studija) kojima je pokazana povezanost između korištenja specifičnih inhibitora proteaze, abakavira i didanozina i povećanog rizika za nastanak infarkta miokarda, mada naknadno sprovedene studije nisu potvrdile ovakav rezultat (111).

U našoj studiji u regresionom modelu, koji je osim tradicionalnih riziko faktora za KVB, sadržavao CRP, CD4/CD8 odnos i cART, pokazali smo da nakon 24 mjeseca ART, terapijska kombinacija NNRT+NRT u odnosu na PI+NRT ima prediktivni značaj na rizik KVB. Terapija (cART) u ovom regresionom modelu prvi put je nakon 24 mjeseca pokazala statistički značajan nezavistan uticaj na rizik za KVB ($\beta=0,197$; $p=0,013$) zajedno sa ITM, starošću ispitanika, kao i vrijednostima CRP-a i CD4/CD8 odnosa ($p<0,05$). Ispitanici koji su u kombinovanoj terapiji imali PI, imali su veći rizik za KVB.

Rezultati mnogih studija koje su ispitivale povezanost CD4/CD8 odnosa ili broja CD8 sa morbiditetom i mortalitetom kod HIV-inficiranih pacijenata na ART bile su protivrječne. Broj CD4 koji je izmjeren pri ART startu gubi svoju prediktivnu vrijednost u daljem vremenu, kako dužina ART-a raste, dok je CD4/CD8 odnos, barem u nekim istraživanjima, dobro prognozira razvoj ne-AIDS bolesti i smrtnost nakon dugogodišnje ART (112).

Tako su Mussini i sar. su pokazali da je mali broj pacijenta podvrgnut ART uspio postići odnos CD4/D8 >1 , iako je uspješno postignuta virusna supresija. Nizak CD4/CD8 odnos bio je povezan sa povećanim rizikom za nastanak težih ne-AIDS oboljenja, kao i češće smrtne ishode. Poredeći efekte u odnosu na različite terapijske kombinacije ovom studijom je

pokazano je da kombinacija lijekova tenofoviar i emtricitabina bila povezana s bržim postizanjem normalizacije CD4/CD8 odnosa u odnosu na kombinacije lijekova starijije generacija NRTI. Kao moguće objašnjenje autori ističu da kombinacija lijekova tenofoviar i emtricitabina ispoljava ispoljava manji toksični učinak na koštanu srž. Njihovi rezultati sugerišu na činjenicu da je potpuni oporavak imunske disfunkcije izazvane HIV virusom rijetka pojava, bez obzira na oporavak CD4 i da neravnoteža između CD4 i CD8 ćelija koja se održava kod ovih pacijenata može poslužiti kao važan biomarker za identifikaciju pacijenata sa najlošijom prognozom. Kao potencijalni patogeni mehanizam koji povezuje nizak odnos CD4/CD8 i veći rizik za nastanak ne-AIDS oboljenja, mogao bi biti u odgovoru da je nizak odnos marker dukotrajne aktivacije imuniteta. Na kraju autori zaključuju da bi nizak odnos CD4/CD8 kliničari mogli koristiti kao potencijalni biomarker rizika za nastanka non-AIDS oboljenja, nezavisno od oporavka CD4 ćelija (36).

U opštoj populaciji, odnos CD4/CD8 opada sa starošću i povezan je sa morbiditetom i mortalitetom uopšte. Tako se ovaj odnos smatra dobrim pokazateljem kumulativne upale i imunskih promjena povezanih sa starenjem (113).

Ovaj odnos može predstavljati kombinovani efekat upale i imunskih promjena koje se nazivaju "immuno inflamaging". Iako mehanizmi koji su u osnovi djelimične korekcije CD4/CD8 i trajno povećanog broja CD 8 T ćelija kod dugotrajno liječenih pacijenata ostaju jos uvijek nerazjašnjeni , nedavne studije su pokazale da pacijenti sa značajnim oporavkom CD4 T ćelija i niskim odnosom CD 4/CD8 i dalje imaju povećanu imunu aktivaciju i imaju veći rizik za ne-AIDS bolesti i veći rizik za smrtnost (93).

Naša studija pokazala je nizak odnos CD4/CD8 kod HIV pozitivnih pacijenata bazično prije terapije 0,21 (0,11-0,39), i značajan trend rasta ($p < 0,05$) u toku terapije, bez obzira na terapijski režim. Ovaj odnos nije se pokazao značajnim prediktorom (u multivarijantnoj regresionoj analizi) za razvoj KVB u toku prvih 12 mjeseci cART ($p > 0,05$). Od dvanaestog do dvadeset četvrtog mjeseca, ovaj odnos ima prediktivni značaj ($p < 0,05$) za razvoj KVB (što je ovaj odnos veći rizik za razvoj KVB je manji). Predikciju su nezavisno multivarijanto pokazali starost i ITM ispitanika, odnosno što su ispitanici stariji i imaju veći *ITM* imaju i veći rizik za razvoj KVB.

Grupa autora, Serrano-Villar i sar. pokazala je da CD4/ CD8 odnos kod osoba zaraženih HIV-om, na ART, sa dobrim imunološkim odgovorom, može biti klinički korisni prediktor ne-AIDS bolesti. Ista studija pokazala je negativnu korelaciju ovog odnosa sa debljinom intime-

medije karotidne arterije i pozitivnu korelaciju sa glomerularnom filtracijom eGFR, odnosno da je CD4/CD8 manji kod ispitanika sa većim zadebljanjem intime medija karotidne arterije i da ispitanici sa većim CD4/CD8 imaju bolju glomerularnu filtraciju (114).

Dalje, studija Menozzi M. i sar. je pokazala da nizak odnos CD4/CD8 HIV inficiranih nije bio povezan sa prevalencom većeg broja komorbiditeta, ali pacijenti sa CD4/CD8 odnosom <0,8 pokazali su veću prevalencu za rizik KVB. Kod multivarijantne logističke regresije CD4/CD8 <0,8 pokazao se kao značajan nezavisni preprediktor povećanog rizika KVB, što podržava ulogu imuno-aktivacije-starenja u patogenezi KVB (48).

U našoj studiji, CD4/CD8 odnos pokazao se kao značajan marker koji može razlikovati nizak rizik KVB (1-5%) od srednjeg rizika (>5-10%) za razvoj KVB već od dvanaestog mjeseca ART pa na dalje. U osamenaestom mjesecu vrijednosti CD4/CD8 veće od 0,44 mogu razlikovati nizak od srednjeg rizika sa senzitivnošću 72,2% i specifičnošću 63,6%. Sličan rezultat dobili smo i u dvadeset četvrtom mjesecu, kada su vrijednosti CD4/CD8 odnosa >0,53 imale senzitivnost 66,0% i specifičnost 73,9%.

Kohortna studija Castilho JL i sar., je otkrila da nizak odnos CD4/CD8 nakon prve godine virološke supresije kod HIV-inficiranih odraslih bio nezavisno povezan sa ozbiljnim rizikom za KVB. Ova povezanost je bila najjača među pacijentima starosti ispod 50 godina, iako su analize bile ograničene malim brojem kardiovaskularnih događaja kod starijih pacijenata. Dobar odgovor na cART, bez obzira na broj CD4 limfocita, odnos CD4/CD8 je bio u jakoj korelaciji sa starošću ispitanika, što jako podržava tezu da odnos CD4/CD8 može biti marker imunskog starenja povezanog sa starenjem kod odraslih HIV inficiranih osoba (41).

Slične rezultate smo dobili u našem istraživanju, nakon 24 mjeseca ART. Značajni nezavisni prediktori u povećanju rizika za KVB su bili: ITM (Beta=0,303), veći ITM povećava rizik za KVB, nakon toga dob ispitanika (Beta=0,257), stariji ispitanici imaju veći rizik za KVB, zatim CRP (Beta=0,224), veće vrijednosti ovog parametra imaju ispitanici sa većim rizikom za KVB. CD4/CD8 odnos zadržao se kao značajan nezavisni prediktor između 12-24 mjeseca ART (Beta=-0,200) s tim da veći CD4/CD8 odnos smanjuje rizik za KVB.

Ograničeni resursi nerazvijenih, slabije razvijenih zemalja i zemalja u razvoju ukazuju na povećanu incidencu smrtnih događaja u početnim mjesecima nakon inicijacije antiretrovirusne terapije (ART). Stoga je neophodno pronalaženje jeftinijih, pouzdanih markera, kao alata za identifikaciju pacijenata sa najvećim rizikom od loših ishoda. Autori

Chaisson LH i Sar. su analizirali povišene koncentracije C-reaktivnog proteina (CRP) u predviđanju neželjenih ishoda (smrtnosti) kod HIV pozitivnih pacijenata nakon inicijalne ART. Studija je sprovedena na dvije klinike u Ugandi na 1293 ispitanika i tokom tri mjeseca pokazala je da je rizik od smrtnosti u jakoj vezi sa povišenim bazičnim CRP-om i oportunističkim infekcijama. U zaključku su sugerisali da bazični CRP testovi, prije inicijalne ART, može smanjiti neželjene događaje identificiranjem onih koji imaju visok rizik za letalni ishod (115).

Dosadašnja istraživanja su pokazala da su povišeni nivoi CRP su povezano sa nastankom ateroskleroze, odnosno uopšteno povezani za nastanak KVB (116). De Luca i sar. su pokazali da je CRP bio povezan a rizikom KVB, nezavisno o tradicionalnim kardiovaskularnim faktorima rizika, poput: replikacije HIV-a, kao i od tipa primljenjene ART-e u vrijeme praćenja HIV zaraženih pacijenata. Njihovi rezultati pokazuju da pacijenati sa vrijednostima CRP-a >3,3 mg/l imaju osam puta već rizik za nastanak KVB u poređenju s pacijentima čiji je CRP iznosi <0,9 mg/l. Studija je pokazala još i to da su veće vrijednosti ukupnog holesterola i niži nivoi HDL-a povećavali rizik za nastanak KVB nezavisno od CRP-a. Autori zaključuju da CRP može biti koristan dopunski biomarker za predikciju rizika nastanka KVB kod HIV-inficiranih pacijenata koji primaju cART (111).

Grupa autora Moran CA i sar., pokazala je da su u kohorti HIV negativnih žena sa sličnim faktorima rizika za KVB, bazične i više vrijednosti CRP-a su u pozitivnoj korelaciji sa napredovanjem plaka intime medije karotidne arterije, ali ne i HIV inficiranih žena, što ukazuje na to da je subklinička kardiovaskularna patogeneza plaka intime medije različita kod HIV inficiranih žena (117).

Komparativna studija Hanna DB i sar. provedena na HIV inficiranim u odnosu na HIV neinficirane osobe, pratila je tradicionalne markere rizika za KVB mjereći debljinu intime medije karotidne arterije. U poređenju sa neinficiranim ispitanicima, HIV-inficirani imali su više nivoe CRP-a, D-dimera, IL-6 i fibrinogena, a vrijednosti CRP-a i IL-6 su se značajno razlikovale kod HIV inficiranih u odnosu na HIV neinficirane . Razlike u nivoima CRP i IL-6 kod HIV pozitivnih bile su najveće u starosnoj grupi od 6 do 29 godina. Nakon stratifikacije na HIV-inficirane pod terapijom ART i bez terapije, nivoi CRP-a i fibrinogena nisu se značajno razlikovali bez obzira na dob ispitanika. U zaključku ove studije se navodi da se efekti HIV-a na strukturu karotidne arterije mogu razlikovati tokom čitavog životnog vijeka. Tradicionalni prediktori rizika za KVB (dob, pol, pušački status, lipidni status, ART, itd.)

imaju veću ulogu kod starijih, dok HIV infekcija ima manju ulogu kod starijih odraslih, u odnosu na mlađe ispitanike (118).

Ispitujući komparativno razlike u nivou CRP-a kod HIV inficiranih pacijenata sa srčanimi bez srčanih oboljenja, Westhorpe i sar. su pokazali da pacijenti sa prisutnim srčanim oboljenjima imaju blago više nivoe CRP-a u plazmi u odnosu na pacijente sa HIV-om bez prisutnih srčanih oboljenja, ali utvrđena razlika nije bila statistički značajna. Logističkom regresijom CRP nije se pokazao statistički značajnim prediktorom za nastanak KVB kod HIV inficiranih pacijenata. Autori vjeruju da nivoi CRP-a mogu ukazivati na povećani rizik od budućih srčanih događaja, ali da se takav rizik mora tumačiti na način da se tokom HIV infekcije uopšteno povećavaju nivoi CRP-a (119).

Rezultati naše studije ukazali su da bazično, prije početka terapije, nivo CRP-a i rizik za KVB nisu u značajnoj korelaciji $p > 0,05$. Ovakva korelacija se zadržala i nakon početka terapije i na dalje u trećem i šestom mjesecu. Nakon dvaneastog mjeseca terapije CRP je značajnoj pozitivnoj i blagoj korelaciji sa rizikom za KVB, što su veće vrijednosti CRP-a veći je rizik za KVB. Nakon 18 mjeseci cART, CRP je se zadržao pozitivnu, jaku korelaciju sa rizikom za KVB, a ista korelacija održala se i nakon 24 mjeseca od početka cART. Visoke vrijednosti CRP-a imali su ispitanici sa višim rizikom za KVB.

Vrijednosti CRP-a bazično i tokom 12 mjeseci cART terapije bile su ujednačene, bez značajnog trenda rasta ($p > 0,05$). Bazično vrijednosti CRP-a su iznosile u prosjeku 2,45 mg/l (1,50-5,0 mg/l), a u dvanaestom mjesecu 2,4 mg/l (1,42-4,75 mg/l). Nakon 12 mjeseci su prosječne vrijednosti CRP-a statistički značajno porasle ($p < 0,05$) i u osamnaestom mjesecu bile su 3,5 mg/l (2,1-5,10 mg/l). Trend blagog rasta nastavio se do 24 mjeseca, kada je CRP iznosio u prosjeku 3,9 mg/l (2,3-5,6 mg/l).

Prosječne vrijednosti (mediane) CRP-a tokom opservacije od 24 mjeseca bile su u okvirima referentnih granica, do 5,0 mg/l, dok su se vrijednosti oko 75 percentile, nakon 18 mjeseci kretale iznad referentne granice od 5,0 mg/l.

Studija McComsey GA i sar. je otkrila da su više bazične vrijednosti CRP povezane sa povećanom stopom progresije različitih ne-AIDS bolesti uključujući i KVB. Takoreći pokazali su da viši nivoi nekoliko inflamatornih biomarkera (CRP, IL1, TNF alfa) povezani nezavisno od CD 4 sa povećanim rizikom od AIDS ili ne-AIDS događaja. HIV infekcija je povezana sa povećanim nivoima CRP kod muškaraca, dok je HIV/HCV koinfekcija povezana sa smanjenim nivoima CRP kod muškaraca i žena. Dalje, autori su uočili povezanost između

tri imuno-markera (CRP, IL-6 i d-dimer) i KVB HIV inficiranih, ali nije bilo moguće detektovati konzistentnu vezu sa zadebljanejm intime medije karotide, za bilo koje imuno-kreatore (120).

Povišeni nivoi C -reaktivnog proteina (CRP) su povezani sa povećanim rizikom za kardiovaskularne bolesti u opštoj populaciji . Korisnost CRP-a u predviđanju rizika od KVB kod HIV-inficiranih i HIV/HCV koinficiranih pacijenata, koji mogu imati veće stope KVB od neinficiranih pojedinaca, nedovoljno je istražena (121).

U preglednom članku „HIV infekcija, nivoi CRP i rizik od infarkta miokarda“ autori Triant VA i sar. su pokazali da u univarijantnoj analizi HIV infekcija i povišeni nivoi CRP -a bili značajno povezani sa povećanim rizikom za akutni infarkt miokarda . U modelu prilagođenom starosti, polu, rasi, hipertenziji, dijabetesu i dislipidemiji, obje varijable (HIV infekcija i CRP) ostale su značajne . HIV-inficirani pacijenti sa povišenim nivoima CRP -a imali su četiri puta veću šansu da imaju akutni infarkt miokarda nego HIV-neinficirani pacijenti sa normalnim nivoima CRP (122).

U studiji Vishwanath A i sar. autori su došli do zaključka da CRP može biti odličan prediktor rizika od KVB kod HIV-inficiranih pacijenata. Pošto je CRP jeftin za mjerenje i lako dostupan, može postati klinički korisno sredstvo za praćenje rizika od KVB kod HIV pozitivnih pacijenata. Međutim, potrebne su dodatne studije da bi se analizirao uticaj dodavanja ovog markera na kardiovaskularne rizike prije uvođenja rutinskog mjerenja CRP (79).

Dalje se navodi da su nivoi CRP su nezavisno povezani sa KVB događajima , uključujući infarkt miokarda, moždani udar, koronarnu revaskularizaciju, kongestivnu srčanu insuficijenciju, smrtnost zbog KVB, i autor sugerše da se CRP treba mjeriti kod svih HIV pacijenata sa najvećim rizikom od KVB i najmanje šestomjesečno nakon ili barem onoliko često koliko i CD4 broj kako bi se pratio profil/rizik za KVB pacijenata.

Studija Guimarães MM i sar. je pokazala povezanost između CRP nivoa i ITM, potom obima struka, debljine subskapularne i suprapubične masti i intraabdominalne masti, mjerenje ultrazvukom. Studija je takođe pokazala pozitivnu i značajnu korelaciju između nivoa CRP i tradicionalnih markera kardiovaskularnog rizika kao što su visok krvni pritisak, ukupni holesterol, LDL holesterol, trigliceridi, nivoi glukoze i glukoze natašte. Povezanost između visokih koncentracija CRP i utvrđeni kardiovaskularni faktori rizika mogu dodatno ojačati

hipotezu da je CRP marker za prekliničku kardiovaskularnu bolest kod HIV-inficiranih pacijenata (123).

Naši rezultati pokazali su značajnu prediktivnu moć CRP-a za rizik za KVB, tokom ART tretmana. Naime, u multivarijantnoj regresionoj analizi se CRP pokazao statistički značajnim prediktorom za rizik razvoja KVB zajedno sa tradionalnim markerima starosti, ITM i surogat markerom CD4/CD8 odnosom nakon 18 mjeseci ART. Nakon 24 mjeseca ART nezavisno značajan prediktor za rizik KVB (uz CRP, ITM i starost) pokazao se terapijski režim NNRTI+PI u odnosu na NNRTI+NRTI.

U prvom slučaju (nakon 18 mjeseci ART), analizom ROC krive dobili smo da CRP >5,15 mg/l može razlikovati srednji (>5-10%) od niskog rizika (1-5%) za KVB, odnosno na ovoj vrijednosti CRP ima senzitivnost 77,3% i specifičnost 85,2%. Nakon 24 mjeseca vrijednosti CRP-a >5,31 mg/l imale su veću senzitivnost 78,3% i veću specifičnost 86,8%, u poređenju sa prethodnim 18-mjesečnim presjekom.

Značajnu korelaciju između vrijednosti CRP-a i CD4/CD8 odnosa pokazali smo Spirmanovom korelacijom ($p < 0,05$) od 12 do 24 mjeseca ART. Korelacija je srednje jaka i negativna (inverzna), veće vrijednosti CRP-a imali su ispitanici sa manjim CD4/CD8, i obrnuto.

Bosnu i Hercegovinu, kao i zemlje u okruženju koje nisu dio EU, karakteriše povećavanje troškova u zdravstvenom sektoru, što se jednim djelom može objasniti i starenjem stanovništva, i odlaskom mlađe populacije u zemlje Zapadne Evrope. Uvođenjem novih tehnologija i većeg spektra laboratorijskih nalaza, činjenica je da liječenje postaje „skuplje“ i teže dostupno. Tako bi pronalazak jeftinijih i pouzdanijih markera, u ovom slučaju CRP-a i CD4/CD8 odnosa, bio jako značajan u redovnoj kontroli rizika za KVB, kod HIV inficiranih pacijenata tokom antiretrovirusnog tretmana (124).

Dislipidemija je jedan od vodećih rizika za KVB. Činjenica je da se HIV inficiranim terapijom produžio životni vijek, ali su istovremeno učestale ne-AIDS komplikacije, u prvom redu KVB. Dosadašnja istraživanja su pokazala da primjena ART tipično se manifestuje smanjenjem HDL holesterola (HDL-C), povećanjem LDL-C, povećanjem ukupnog holesterola, kao i povećanjem nivoa triglicerida u krvi (125).

Bilo da se radi o dislipidemiji kao posljedici primjene ART ili kod ljudi iz opšte populacije dislipidemija je utvrđeni faktor rizika za kardiovaskularne bolesti, što je uzrok sveprisutnog

morbiditeta i povećanja stope smrtnosti u većini zemalja u razvoju. Kao zajednički patogeni faktor rizika, prihvaćeno je da dislipidemija povećava šansu za nastanak diabetes mellitusa (DM), ateroskleroze i bezalkoholne bolesti masne jetre (126), te da se ista može dovesti i u vezu sa hroničnom bolesti bubrega (127).

Kada su u pitanju KVB, dislipidemija je jedan snažan faktor rizika za razvoj moždanog udara, koronarne bolesti srca, infarkta miokarda i periferne vaskularne bolesti (128).

Dosadašnja istraživanja su pokazala da se dislipidemija koja se javlja kod pacijenata sa HIV-om sve više prepoznaje kao problem kod bolesnika cART, a posebno onih pacijenata koji se tretiraju sa lijekovima iz skupine PI. Postoji podatak da je učestalost dislipidemije od 70% do 80% pacijenata tretiranih sa PI. Najčešće dislipidemija se manifestuje u formi visokih triglicerida i LDL-C, te smanjenih nivoa HDL-C, kao i u akumulaciji ApoE i ApoC III (125). Rezultati našeg istraživanja su pokazali da su nivo ukupnog holesterola, nivo triglicerida, LDL, te vrijednost aterogenog indeksa imali statistički značajan trend rasta u periodu praćenja HIV zaraženih pacijenta. Suprotno njima, vrijednost HDL u periodu praćenja kod HIV zaraženih pacijenta imala je statistički značajan trend pada.

Indumati i sar. su pokazali da pacijenti zaraženi HIV-om, a tretirani ART-om pokazuju trend rasta za ukupni holesterol, nivo triglicerida i LDL tokom vremena, ali nivo HDL se nije značajno mijenjao. Obzirom na sklonost promjeni lipidnog profila autori sugerišu da bi bilo poželjno već 3-6 mjeseci od početka primjene ART praviti monitornog lipidnog profila (129). Slične rezultate pokazala je studija Zephy i sar. koji su uočili trend rasta ukupnog holesterola i triglicerida, kao i trend pada HDL kod HIV pacijenata tretiranih ART (130).

U svojoj presječnoj studiji Augustemak de Lima i sar. su dokazali značajno više nivoe ukupnog holesterola, triglicerida i LDL, te značajno niže nivoe HDL kod djece i adolescenata zaraženih HIV-om u odnosu na kontrolnu skupinu. Isti autori su ustanovili značajno više nivoe glukoze u krvi, CRP, IL-6, TNF- α , te značajno višu vrijednost intima-medija debljine u karotidnim arterijama kod djece i adolescenata zaraženih HIV-om u odnosu na kontrolnu skupinu. Njihovi rezultati su pokazali da su sistolni krvni pritisak i TNF- α bili značajni prediktori intima-medija debljine u karotidnim arterijama kod djece i adolescenata zaraženih HIV-om. Kod bolesnika koji su koristili ART baziranu na primjeni inhibitora proteaze, muški spol, masno tkivo u trupu, glukoza i IL-6 su bili značajni prediktori intima-medija debljine u karotidnim arterijama. Autori sugerišu da djeca i adolescenti inficirani HIV-om mogu biti

izloženi riziku za nastanak preuranjene ateroskleroze zbog naglašene hronične upale i dislipidemije, te da su istima potrebne intervencije s ciljem poboljšanja lipidnog profila, ublažavanja upale i smanjenja kardiovaskularnog rizika (131).

U studiji koju su sproveli Njoroge i sar. nisu utvrđene statistički značajne razlike u nivou ukupnog holesterola između HIV zaraženih i HIV nezaraženih pacijenata (132).

Gowdaiah i sar. su pokazali da su nivoi triglicerida statistički značajno viši, a da su nivoi HDL-C statistički bili značajno niži u skupini HIV zaraženih pacijenata u odnosu na kontrolnu skupinu. Stratificirajući pacijente prema stadiju bolesti rezultati njihove studije su pokazali da pacijenti sa naprednim stadijima bolesti imaju značajno više nivoe triglicerida u krvi u poređenju s pacijentima nižih stadija bolesti. Njihovi rezultati su pokazali i trend porasta nivoa triglicerida, kao i trend rasta VLDL tokom vremena praćenja pacijenata. Autori vjeruju da mehanizam povećanja lipida u krvi kod HIV zaraženih pacijenata leži u osnovi citokinima posredovane lipidne peroksidacije. Imajući u vidu činjenicu povezanosti između TG u plazmi i nivoa cirkulirajućeg interferona (IFN) α koja je prethodno pokazana kod pacijenata s AIDS-om, autori navode na pretpostavku da interferon- α povećava nivo TG na način da smanjuje njihov klirens i povećava de novo jetrenu lipogenezu i sintezu VLDL (133).

U studiji koju su sproveli Njoroge i sar. nisu utvrđene statistički značajne razlike u nivou HDL holesterola, kao ni u odnosu ukupnog holesterola i HDL holesterola, između HIV zaraženih i HIV nezaraženih pacijenata (132).

S obzirom na to da su rezultati našeg istraživanja tokom praćenja u vremenu pokazali značajan trend rasta holesterola, značajan trend rasta LDL, značajan trend rasta nivoa triglicerida, kao i značajan trend pada HDL, odnosno jednom riječju pozitivan trend za nastanak dislipidemije, mišljenja smo da bi pacijentima sa HIV infekcijom tokom redovnih rutinskih kontrolnih pregleda bilo esencijalno pratiti i parametre lipidnog profila, kako bi se mogao imati bolji uvid u potencijalni razvoj rizika koji bi mogao dovesti do ozbiljnijih komorbiditeta. S obzirom na to da je dislipidemija priznati faktor rizika za nastanak KVB i drugih oboljenja, uključujući metaboličke bolesti i dr., naše preporuke bi bile da se ovim pacijentima pristupa sa oprežnošću u smislu preventivnog djelovanja na nastanak iste, kako bi se izbjegle njene moguće posljedice. Također je važno upoznati i same pacijente koji su podvrgnuti ART da mogu imati povećane šanse za nastanak dislipidemije, te istima skrenuti pažnju na samokontrolni način preveniranja ove bolesti, bilo da se radi o promjeni načina

hranjenja ili drugih navika života kojima bi se mogao spriječiti nastanak same displipidemije. Disciplina HIV-inficiranih pacijenata u bi mnogome mogla imati pozitivne efekte u prevenciji displipidemije, jer predstavlja stanje na koje sam pacijent može uticati.

Opšte je prihvaćeno da je gojaznost postala globalni javno-zdravstveni problem. Gojazni pacijenti izloženi su velikom riziku za nastanak velikog broja oboljenja, uključujući: KVB, gastrointestinalne poremećaje, diabetes mellitus tipa 2, artritis, maligna oboljenja, kognitivno oštećenje, bubrežne bolesti, retinopatiju, respiratorne bolesti, kao i probleme psihičke prirode koji mogu značajno uticati na odvijanje normalnog svakodnevnog života. Pokazano je da gojaznost kao riziko faktor, na direktan ili indirektan način, u velikoj mjeri povećava stopu smrtnosti (134).

Cefalu i sar. ističu da čak smanjenje tjelesne težine za svega 3-5% može uticati na značajno smanjenje rizika za nastanak KVB, a da veći gubici tjelesne težine imaju i veći učinak na smanjenje rizika za nastanak istih. Autori ističu da bi početni cilj u smislu gubitaka tjelesne težine trebao da iznosi od 5 do 10% (135).

Sa istorijske tačke gledišta pacijenti sa HIV/AIDS su determinisani kao pacijenti koji pokazuju sklonost gubitku tjelesne težine, te ovakav trend je bio i prihvaćen kao prognostički biomaker progresije bolesti. Međutim u razvijenim zemljama, a posebno uvođenjem ART u tretiranju HIV zaraženih pacijenata, došlo se do suprotnih saznanja, odnosno u grupi ovih pacijenata uočeno je povećanje prevalencije gojaznosti (136).

Rezultati našeg istraživanja su pokazali da je u periodu praćenja kod HIV zaraženih pacijenta ITM imao statistički značajan trend rasta. Oni su u skladu sa rezultatima studije Hasse i sar. koji su uočili značajan trend rasta ITM kod pacijenata sa HIV-om koji su bili podvrgnuti ART (137).

Slične rezultate, ali na populaciji ženskih pacijenata zaraženih HIV-om a tretiranih ART-om, pokazala je studija koju su sprovedli McCormick i sar., koji su uočili trend rasta ITM, odnosno povećanje prevalencije pojavljivanja gojaznosti kod istih (138).

S obzirom na to da su rezultati našeg istraživanja pokazali statistički značajan trend rasta ITM, koji je ujedno priznati parametar gojaznosti, mišljenja smo da bi pacijentima zaraženim HIV-om a tretiranim ART, trebalo sa početkom terapije uvesti standardnu rutinsku kontrolu praćenja ovog parametra. S obzirom na to da ITM može postati i ozbiljan riziko faktor za

veliki broj oboljenja, odnosno komorbiditeta, mišljenja smo da bi ljekari trebali svoje pacijente upozoriti na mogućnost porasta ITM tokom liječenja, jer je ITM faktor na koji pacijent može uticati na način mijenjanja režima ishrane i/ili stila života uopšteno.

Prije početka upotrebe ART, hematološke abnormalnosti su uobičajena pojava kod HIV inficiranih pacijenata. Najčešći poremećaji koji su zabilježeni u nekoliko istraživanja su uključivali: anemiju, leukopeniju i trombocitopeniju.

Neizostavno je reći da se tokom primanja ART-a, hematološke abnormalnosti također mogu pojaviti zbog sekundarnih nuspojava od strane same ART, mada u većini slučajeva pacijentima podvrgnutim ART-u poboljšavaju se generalno parametri krvne slike (139).

Ispitujući hematološke abnormalnosti kod HIV zaraženih pacijenata Dhal i sar. su kod istih utvrdili učestalost leukopenije kod 2,40% pacijenata, 29% je imalo neutropeniju, 30% limfocitopeniju, te 20% monocitopeniju (140).

Analizajući trend promjena leukocita bazično i tokom od 24 mjeseca cART naši rezultati su pokazali da su se vrijednosti leukocita kretale u okvirima referentnih vrijednosti između $4,0-10,0 \times 10^9/l$, a trend promjena vrijednosti leukocita u toku 24 mjeseca nije statistički značajan $p>0,05$. Također, rezultati našeg istraživanja nisu pokazali statistički značajan trend promjena od bazičnih vrijednosti pa do 24 mjeseca praćenja pacijenata kada su bili u pitanju monociti i neutrofilni leukociti.

Naši rezultati nisu u skladu s rezultatima studije koju su sproveli Ebonyi i sar. koji su tokom 12-mjesečnog praćenja pacijenata uočili statistički značajan trend pada ukupnog broja leukocita, neutrofilnih leukocita i monocita. Njihovi rezultati su pokazali da su HIV inficirani pacijenti imali više bazične vrijednosti i ukupnog broja leukocita, neutrofilnih leukocita i monocita u odnosu na vrijednosti mjerenja na 6 i 12 mjeseci tokom tretiranja pacijenata ART-om (139).

Njima slične rezultate u smislu trenda pada leukocita 6 mjeseci nakon primanja cART u odnosu na bazične vrijednosti pokazala je studija koju su sproveli Kibaru i sar (141).

Prije početka tretiranja kod djece zaražene sa HIV-om, Bhowmik i sar. su uočili prisustvo leukopenije kod 34% djece, a neutropenije kod 19% djece (142).

Anzinger i sar su pokazali da upalni medijatori proizvedeni u monocitima, ali ne i upalni medijatori proizvedeni od strane T-ćelijske aktivacije, predviđaju ne-AIDS oboljenja u virološki potisnutim HIV-om zaraženim osobama liječenim cART-om. Pokazano je da nivo IL-6, citokina proizvedenog od strane visokih nivoa monocita koji se također može proizvesti i od strane drugih tipova ćelija produciranih u određenim okolnostima je bio povezan s povećanim šansama za ne-AIDS oboljenja i za smrtni ishod. Autori sugerišu da iako je aktivacija T-ćelija opsežno ispitana u kontekstu HIV infekcije liječene cART-om, aktivacija monocita tek počinje biti prepoznata kao važan izvor upale i uopšteno važan medijator i prediktor ne-AIDS oboljenja (143).

Uprkos 30-godišnjem intenzivnom istraživanju, još uvijek postoji ograničeno razumijevanje o tome kako virus HIV-1 umanjuje sposobnost imunološkog sistema da se bori protiv uobičajenih infekcija. Iako je opšte poznato da su T-ćelije ključna ćelijska populacija koja se normalno bori s napadačima, još uvijek nije dovoljno rasvijetljeno zašto isti gube sposobnost funkcionisanja kod HIV-1-inficiranih pojedinaca. U posljednjem periodu otkriveno je da virus HIV-1 aktivira drugu vrstu ćelija, neutrofila, kao najbrojnih leukocita u perifernoj krvi. Aktivirani neutrofili negativno utiču na funkciju T ćelija i sprječavaju ih da proizvode citokine. Za citokine se zna da su zaštitni proteini koji posreduju u imunološkom odgovoru na bakterije i viruse. Ovaj nedavno identifikovan mehanizam imunosupresije posredovan neutrofilima može promijeniti razumijevanje patogeneze HIV-1 i otvoriti nove perspektive u smislu uvođenja novih terapija usmjerenih na gubitak imunološke funkcije u HIV-1/AIDS-u (144).

U većini slučajeva kod bolesnika zaraženih HIV-om teška neutropenija je povezana sa značajnim gubitkom CD4+ ćelija i povećanjem količine virusa koji je prisutan u tijelu pacijenata. Odgovarajuće liječenje HAART-om korisno je za postizanje povećanja broja neutrofila, odnosno popravljaja stanja neutropenije kod ovih pacijenata (145).

Kada su u pitanju limfociti, naši rezultati su pokazali da su bazično prosječne vrijednosti istih iznosile 32% (20-41%), kao i u trećem mjesecu nakon početka ART 32% (18-41,7%). Potom je utvrđen blagi trend rasta do 12 mjeseca 38% (30,2-44,7%), i blagi trend pada do 24 mjeseca 29,0% (18-36,0%), a u konačnici trend promjena limfocita je bio statistički značajan $p < 0,05$.

Naši rezultati su u skladu s rezultatima Ebonyi i sar. koji su u odnosu na bazične vrijednosti limfocita, 12 mjeseci nakon početka ART ustanovili statistički značajan porast istih u perifernoj krvi (139).

Reda i sar. su pokazali značajan porast broja CD4 limfocita i tjelesne težine među pacijentima koji su uzimali ART u istočnoj Etiopiji. Njihovi rezultati su pokazali da se srednji broj CD4 limfocita poboljšao tokom petogodišnjeg perioda, osim u 54. i 60. mjesecu gdje je srednji broj CD4 ćelija pokazao blagi pad (146).

Pokazano je da su neutrofilija i limfocitopenija, odnosno odnos neutrofila/limfocita nezavisni prediktori mnogih bolesti, uključujući i akutno zatajenje srca, ali i druge nekardiološke bolesti. S obzirom na to da se ovaj odnos rutinski može odrediti, isti se može upotrijebiti u smislu praćenja rizika za napredovanje niza bolesti, kao i za praćenje djelovanja ART na njegovu vrijednost. Pokazano je da je odnos neutrofila/limfocita 10, 15 i 20 dana nakon primjene cART-a bio statistički značajno niži kod tretiranih životinja cART-a u odnosu na kontrolnu grupu. Interesantno je da se ovaj odnos 10 dana nakon primjene cART-a, statistički značajno smanjio davanjem cART-a u dozama 15 mg/kg, dok se s dozama od 20 mg/kg statistički značajno nije razlikovao u odnosu na kontrolne ispitanike. Uopšteno pad odnosa neutrofila/limfocita može se pripisati direktnom djelovanju ovih lijekova na neutrofilne/limfocitne progenitorske ćelije, koji uzrokuju depresivnu aktivnost koštane srži. Međutim odnos se poboljšava kako se tijelo prilagođava primjeni lijeka. Ta činjenica bi mogla objasniti povećanje odnosa s povećanjem primijenjene doze (147).

Sedimentacija eritrocita je jednostavan test iz krvi koji mjeri brzinu pada crvenih krvnih tokom prvog sata u cjevčici u koju se prethodno stavi antikoagulans krvi. Izražava se u mm plazme iznad nivoa istaloženih eritrocita. Ovaj se test široko koristi kao nespecifični test za mnoga patološka stanja kao što su infekcije, upalne bolesti i maligne bolesti. Poznato je da je sedimentacija eritrocita kod žena obično viša, jer imaju manji broj eritrocita u odnosu na muškarce, a tokom menstruacije i trudnoće njene vrijednosti mogu se privremeno povećati (148).

Dosadašnja istraživanja su pokazala da HIV inficirani pacijenti imaju značajno više vrijednosti sedimentacije eritrocita u odnosu na zdrave ispitanike (149).

Naši rezultati su pokazali da su se vrijednosti SE kretale iznad referentnih vrijednosti >10mm/h. Iako bazično i do dvanaestog mjeseca nije bilo statistički značajnih promjena

prosječnih vrijednosti SE, od dvanasetog mjeseca do 24 mjeseca SE je bila u blagom rastu, i taj porast je bio statistički značajan.

Dalela i sar. su pokazali da je kod HIV zaraženih pacijenata vrijednost sedimentacije 6 mjeseci, te 12 mjeseci od početka ART imala značajno nižu vrijednost u odnosu na bazične vrijednosti. Važno je istaći da su rezultati njihovog istraživanja pokazali i to da je sedimentacija eritrocita 12 mjeseci od početka ART bila niža u odnosu na njenu vrijednost 6 mjeseci od početka ART-a (150).

Ifeanyichukwu i sar. su pokazali da je vrijednost sedimentacije eritrocita statistički značajno viša i kod HIV zaraženih pacijenata koji su na ART i kod HIV zaraženih pacijenata koji nisu na ART u odnosu na kontrolne ispitanike (151).

Interesantne rezultate predložila je studija koju je sprovedla Venkataramana i koja je pokazala da je sedimentacija eritrocita sa vrijednošću >20 mm statistički značajan prediktor pojave niskih vrijednosti CD4 limfocita kod HIV zaraženih pacijenata. Sedimentacija eritrocita sa vrijednošću >20 mm bila je statistički značajan prediktor pojave niskih vrijednosti CD4 limfocita kod HIV zaraženih pacijenata i nakon što su pacijenti bili podijeljeni prema polu. Njeni rezultat je pokazao da su sedimentacija eritrocita i CRP statistički značajno negativno korelirali s brojem CD4+ T-ćelija kod HIV zaraženih pacijenata (152).

Jedan od najčešćih nalaza kod pacijenata sa HIV jeste smanjen ukupan broj eritrocita u krvi, odnosno, anemija. Tako, Bhowmik i sar. su pokazali da je anemija najčešća hematološka anomalija kod djece zaražene HIV-om prije početka ART-a. Isti autori su pokazali da su i anemija i dokazana limfopenija bile značajno učestalije u naprednijim fazama bolesti (142).

Analizajući trend promjena u broju eritrocita od bazičnih vrijednosti pa tokom 24 mjeseca cART, naši rezultati pokazali su da se prosječne vrijednosti eritrocita kretale u okvirima referentnih, bez značajnog trenda promjene. Vrijednost hematokrita u odnosu na bazične vrijednosti imao je statistički značajan porast tek 18 mjeseci tokom sprovođenja ART-a. U odnosu na bazične vrijednosti hemoglobina utvrđen je statistički značajan njegov porast već u 6 mjesecu od početka ART-a.

Naši rezultati su u skladu s rezultatima Kibaru i sar. koji su u odnosu na bazične vrijednosti hemoglobina, već 6 mjeseci nakon početka ART ustanovili statistički značajan njegov porast. S obzirom na to da su autori ustanovili da su se pored nalaza hemoglobina popravljali i drugi

hematološki indeksi, potput: MCV, MCH, autori vjeruju da je pozitivan učinak cART-a vjerovatno posljedica smanjenja virusnog opterećenja, smanjenja razaranja zrelih hematopoetskih ćelija višestrukih linija i poboljšanje odgovora organizma na otpuštanje eritropoetina (141).

Ebonyi i sar. su utvrdili statistički značajno povećanje vrijednosti hemoglobina u 6. mjesecu od početka ART u odnosu na bazične vrijednosti. Njihovi rezultati su pokazali da je vrijednost hemoglobina i 12 mjeseci od početka ART-a bila statistički značajno viša u odnosu na bazične vrijednosti. Autori vjeruju da je učinak ART-a u pogledu oporavka hematoloških parametara vidljiv i na samom njenom početku (139).

U istraživanju koje su sproveli Esan i sar. zabilježeno je da su HIV-om zaražena djeca koja su primala suplemente željeza imala povišene vrijednosti hemoglobina, te na taj način smanjila prevalenciju za nastanak anemije za 40%, ali je pokazano da je željezo povećavalo rizik za nastanak malarije (153).

Čest nalaz bolesnika koji su zaraženi HIV-om je trombocitopenija i ista može biti prva klinička manifestacija u asimptomatskih pacijenata. Trombocitopenija može napredovati tokom vremena i može dovesti do ozbiljnih krvarenja (154).

Mehanizam trombocitopenije koji je povezan s HIV-om može se razlikovati u različitim fazama HIV bolesti. U ranoj fazi bolesti, koju karakteriše nisko virusno opterećenje dominira mehanizam imunološke trombocitopenijske purpore s prisutnošću antitrombocitnih antitijela i povećanim uništavanjem trombocita. U stadiju napredne HIV-1 infekcije, kada u organizmu vlada visoko virusno opterećenje i kojeg karakteriše nizak broj CD4 ćelija, smanjen broj trombocita je uglavnom uzrokovan njihovom smanjenom proizvodnjom (155).

Fan i sar. su pokazali da niži broj CD4+ ćelija je povezan s povećanim rizikom za nastanak trombocitopenije kod HIV inficiranih pacijenata (154)

Seyoum i sar. su pokazali da je broj trombocita statistički značajno niži, a protrombinsko vrijeme, vrijednosti INR-a i APTT-a statistički značajno viši kod pacijenata sa HIV-om, bilo da se radi o pacijentima na cART ili cART naivnim pacijentima u odnosu na seronegativne pacijente (156).

Analizajući trend promjena u broju trombocita od bazičnih vrijednosti pa tokom 24 mjeseca cART naši rezultati nisu pokazali da je trend bio statistički značajan, odnosno na svakom slijedećem mjerenju (3,6,12,18 i 24 mjeseca) njihov broj se povećavao. Naši rezultati su u skladu sa rezultatima Kibaru i sar. koji su utvrdili statistički značajno povećanje broja trombocita u 6. mjesecu od početka ART u odnosu na bazične vrijednosti (141).

Slične rezultate pokazala je i studija koji su sproveli Ibeh i sar., autori su pokazali značajan porast broja trombocita u krvi u 12. sedmici od početka ART u odnosu na vrijednosti prije početka terapije. Njihov rezultat ukazuje na smanjenu učestalost trombocitopenije kod HIV inficiranih osoba tretiranih ART-om (157).

S obzirom na to da su rezultati našeg istraživanja pokazali statistički neznačajan trend mijenjanja u pogledu broja leukocita, broja neutrofila, broja monocita, broja eritrocita, te statistički značajan trend rasta vrijednosti hemoglobina i broja trombocita navodi na zaključak da ART, koja ima primarno za cilj supresiju viremije kod HIV inficiranih pacijenata, može poboljšati i hematološke abnormalnosti koje pogađaju ovu skupinu pacijenata.

9. ZAKLJUČCI

Odnos CD4/CD8 i CRP pokazali su značajan trend rasta tokom 24 mjeseca kombinovane antiretrovirusne terapije.

CD4/CD8 odnos kao marker imuno-rekonstrukcije je u pozitivnoj i srednje jakoj korelaciji sa CRP-om kao markerom inflamacije nakon 12 mjeseci cART, pa sve do kraja opservacionog perioda. Oba markera rastu od početka cART i oba su prediktori rizika za KVB nakon 12 mjeseci cART terapije.

CD4/CD8 odnos se pokazao značajnim i nezavisnim prediktorom za razvoj KVB od 12 mjeseca terapije do kraja opservacionog perioda. Vrijednosti CD4/CD8 odnosa ispod 0,43 u osamnaestom mjesecu i 0,53 u dvadeset četvrtom mjesecu cART, mogu biti markeri niskog rizika (1-5 %) za KVB, AUC = 0,72 sa senzitivnošću 72,2 % i specifičnost 63,6% nakon 18 mjeseci, odnosno AUC = 0,76 sa senzitivnošću 66,0 % i specifičnošću od 73,9 % nakon 24 mjeseca cART.

CRP pokazao se značajnim i nezavisnim prediktorom za razvoj KVB od 18 mjeseca terapije do kraja opservacionog perioda. Vrijednosti CRP-a iznad 5,15 u osamnaestom mjesecu i 5,31 u 24 mjesecu cART, mogu biti markeri srednjeg rizika (>5-10%) KVB, AUC = 0,87 sa senzitivnošću 77,3 % i specifičnošću 85,2 % nakon 18 mjeseci, odnosno AUC = 0,88 sa senzitivnošću 78,3 % i specifičnošću od 86,8 % nakon 24 mjeseca cART.

Kombinacija antiretrovirusnih lijekova PI plus NRTI u odnosu na NNRTI plus NRTI se pokazala nezavisnim značajnim prediktorom za razvoj KVB nakon 24 mjeseca terapije.

Elementi krvne slike (eritrociti, hemoglobin, hematokrit, trombociti) kao i leukociti i elementi leukocitarne formule (neutrofili, limfociti, monociti) tokom cART nisu pokazali značajnija odstupanja od referentnih vrijednosti.

Lipidni profil (holesterol, trigliceridi, HDL, LDL, aterogeni index) pokazao je značajan trend promjena/rasta tokom ART, osim HDL-a koj je bazično nizak, početkom terapije počinje rasati, da bi da bi do kraja 24 mjeseca opet padao, odnosno bio ispod referentne vrijednosti.

Indeks tjelesne mase ima blagi kontinuirani trend rasta, da bi od 12 do 24 mjeseca u prešao granicu idealne tjelesne mase od 25, odnosno ispitanici nakon ovog perioda su u prosjeku u kategoriji prekomjerne tjelesne težine.

Ovom studijom odbacili smo nulte hipoteze, odnosno prihvatili alternativne da su CD4/CD8 odnos i CRP značajani prediktori u praćenju promjena kardiovaskularnog rizika HIV pozitivnih pacijenata, CD4/CD8 nakon 12 mjeseci, a CRP nakon od 18 mjeseci cART pa do kraja opservacionog perioda.

10. LITERATURA

1. Zhang W, Cao S, Martin JL, Mueller JD, Mansky LM. Morphology and ultrastructure of retrovirus particles. *AIMS Biophys.* 2015 i 2(3):343-369.
2. Nkenfou CN, Nana CT, Payne VK. Intestinal parasitic infections in HIV infected and non-infected patients in a low HIV prevalence region, West-Cameroon. *PLoS One.* 2013 i 8(2):e57914.
3. Longo DL, Fauci AS, Kasper DL, Hauser SL, Jameson JL, Loscalzo J, editors. *Harrison's Principles of Internal Medicine.* 19th ed. McGraw-Hill Education i 2015.
4. Global HIV & AIDS statistics — 2018 fact sheet (2018) Dostupno na : <http://www.unaids.org/en/resources/fact-sheet> (prostupljeno, decembar 2018).
5. Oladipo EK. and Awoyelu EH. Pathogenesis of HIV: Pathway to eradication. *Adv. Appl. Sci. Res.*, 2015, 6(5):81-87.
6. German Advisory Committee Blood (Arbeitskreis Blut), Subgroup 'Assessment of Pathogens Transmissible by Blood'. *Human Immunodeficiency Virus (HIV). Transfus Med Hemother.* 2016 i 43(3):203-22.
7. Seng R, Goujard C, Krastinova E, Mialhes P, Orr S, Molina JM, Saada M, Piroth L, Rouzioux C, Meyer L. Influence of lifelong cumulative HIV viremia on long-term recovery of CD4+ cell count and CD4+/CD8+ ratio among patients on combination antiretroviral therapy. *Aids.* 2015 Mar 13;29(5):595-607.
8. Masiá M, Padilla S, Barber X, Sanchis M, Terol G, Lidón F, Gutiérrez F. Comparative Impact of Suppressive Antiretroviral Regimens on the CD4/CD8 T-Cell Ratio: A Cohort Study. *Medicine (Baltimore).* 2016 i 95(11):e3108.
9. Araínga M, Su H, Poluektova LY, Gorantla S, Gendelman HE. HIV-1 cellular and tissue replication patterns in infected humanized mice. *Sci Rep.* 2016 i 6:23513.
10. Klatt EC. *Pathology of HIV/AIDS.* Mercer University School of Medicine Savannah, Version 28, 2017.

11. Ripa M, Chiappetta S, Tambussi G. Immunosenescence and hurdles in the clinical management of older HIV-patients. *Virulence*. 2017 i 8(5):508-528.
12. Coming of Age. a guide to ageing well with HIV. (2018). Internet: <http://www.justri.org/coming-of-age/> (pristupljeno, decembar 2018).
13. The Lancet HIV. Preparing for an ageing HIV epidemic. 2017;4:7. Internet: [https://www.thelancet.com/journals/lanhiv/article/PIIS2352-3018\(17\)30114-5/fulltext](https://www.thelancet.com/journals/lanhiv/article/PIIS2352-3018(17)30114-5/fulltext). (pristupljeno, decembar 2018).
14. Divakar DD, Al Kheraif AA , Ramakrishnaiah R , Khan AA , Sandeepa NC , Alshahrani OA, Ali Alahmari A. Oral manifestations in human immunodeficiency virus infected pediatric patients receiving and not receiving antiretroviral therapy: a cross sectional. *Paediatr Croat*. 2015;59:152-8
15. Forsyth AD, Valdiserri RO. Reaping the prevention benefits of highly active antiretroviral treatment: policy implications of HIV Prevention Trials Network 052. *Curr Opin HIV AIDS*. 2012 i 7(2):111-6.
16. Trickey A, May MT, Vehreschild JJ, Obel N, Gill MJ, Crane HM, Boesecke C, Patterson S, Grabar S, Cazanave C, Cavassini M. Survival of HIV-positive patients starting antiretroviral therapy between 1996 and 2013: a collaborative analysis of cohort studies. *The Lancet HIV*. 2017 Aug 1;4(8):e349-56.
17. European AIDS Clinical Society (EACS). Internet : <http://www.eacsociety.org/home/home.html> (pristupljeno, decembar 2018).
18. Camacho R, Teófilo E. Antiretroviral therapy in treatment-naive patients with HIV infection. *Current opinion in HIV and AIDS*. 2011 Dec 1 i 6:S3-11.
19. Gojak R, Hadžiosmanovic V, Baljic R, Zecevic L, Coric J, Mijailovic Z. CD4/CD8 ratio as a predictor for the occurrence of metabolic syndrome in HIV/AIDS patients during 6 months of cART therapy. *J Med Biochem*. 2019 i 38.
20. Hadžiosmanović V. Antiretrovirusno liječenje. Čardaklija Z., urednik. *Kliničke vodilje za tretman HIV-a i AIDS-a u Bosni i Hercegovini*. Sarajevo, Udruženje za partnerstvo za zdravlje. 2013: 17-56.

21. Kliničke vodilje za tretman HIV-a i AIDS-a. Internet : <http://sjz.ba/klinicke-vodilje-za-tretman-hiv-a-i-aids-a-bosanski-jezik> (pristupljeno, decembar 2018).
22. EACS Guidelines Archive. Internet: <http://www.eacsociety.org/guidelines/guidelines-archive/archive.html> (pristupljeno, decembar 2018).
23. 7, Bhatnagar A. Environmental determinants of cardiovascular disease. *Circulation research*. 2017 Jul i 121(2):162-80.
24. Valdés S, García-Torres F, Maldonado-Araque C, Goday A, Calle-Pascual A, Soriguer F, Castaño L, Catalá M, Gomis R, Rojo-Martínez G, Di@ bet. es study group. Prevalence of obesity, diabetes and other cardiovascular risk factors in Andalusia (southern Spain). Comparison with national prevalence data. The Di@ bet. es study. *Revista Española de Cardiología (English Edition)*. 2014 Jun 1;67(6):442-8.
25. Chen S, Sun Y2 Agrawal DK. Vitamin D deficiency and essential hypertension. *J Am Soc Hypertens*. 2015 i 9(11):885-901.
26. Pilakkadavath Z, Shaffi M. Modifiable risk factors of hypertension: A hospital-based case-control study from Kerala, India. *J Family Med Prim Care*. 2016 i 5(1):114-9.
27. Halade GV, Kain V. Obesity and Cardiometabolic Defects in Heart Failure Pathology. *Compr Physiol*. 2017 Sep 12 i 7(4):1463-1477.
28. Ni WQ, Liu XL, Zhuo ZP, Yuan XL, Song JP, Chi HS, Xu J. Serum lipids and associated factors of dyslipidemia in the adult population in Shenzhen. *Lipids Health Dis*. 2015 i 14:71.
29. Pham TV, Torres M. Human Immunodeficiency Virus Infection-Related Heart Disease. *Emerg Med Clin North Am*. 2015 i 33(3):613-22.
30. Anand AR, Rachel G, Parthasarathy D. HIV Proteins and Endothelial Dysfunction: Implications in Cardiovascular Disease. *Front Cardiovasc Med*. 2018 i 5:185.
31. Chapel H, Haeney M, Misbah S, Snowden N. *Essentials of Clinical Immunology*. John Wiley & Sons, 2015.
32. Damjanov I, Jukić S, Nola M, *Patologija, Medicinska naklada, Zagreb, 2011.*

33. Luckheeram RV, Zhou R, Verma AD, Xia B (2012) CD4(+)T cells: differentiation and functions. *Clinical & developmental immunology* 2012: 925135.
34. McBride JA^{1, 2,3}, Striker R^{1,2}. Imbalance in the game of T cells: What can the CD4/CD8 T-cell ratio tell us about HIV and health? *PLoS Pathog.* 2017 Nov 2; 13(11):e1006624.
35. Riddler S, Aga E, Bosch R et al. Continued Slow Decay of the Residual Plasma Viremia Level in HIV-1- Infected Adults Receiving Long-term Antiviral Therapy. *J Infect Dis* 2016; 213:556–60.
36. Mussini C, Lorenzini P, Cozzi-Lepri A, Lapadula G, Marchetti G, Nicastri E, Cingolani A, Lichtner M, Antinori A, Gori A, Monforte AD. CD4/CD8 ratio normalisation and non-AIDS-related events in individuals with HIV who achieve viral load suppression with antiretroviral therapy: an observational cohort study. *The lancet HIV.* 2015 Mar 1;2(3):e98-106..
37. Serrano-Villar S, Deeks S. CD4/CD8 ratio: an emerging biomarker for HIV. *Lancet HIV.* 2015 Mar; 2(3):76–7.
38. Rajasuriar R, Wright E, Lewin SR. Impact of antiretroviral therapy (ART) timing on chronic immune activation/inflammation and end-organ damage. *Curr Opin HIV AIDS.* 2015; 10(1):35-42.
39. Serrano-Villar S, Sainz T, Lee SA, Hunt PW, Sinclair E, Shacklett BL, Ferre AL, Hayes TL, Somsouk M, Hsue PY, Van Natta ML. HIV-infected individuals with low CD4/CD8 ratio despite effective antiretroviral therapy exhibit altered T cell subsets, heightened CD8+ T cell activation, and increased risk of non-AIDS morbidity and mortality. *PLoS pathogens.* 2014 May 15;10(5):e1004078.
40. Hoenigl M, Chaillon A, Little SJ. CD4/CD8 Cell Ratio in Acute HIV Infection and the Impact of Early Antiretroviral Therapy. *Clin Infect Dis.* 2016; 63(3):425-6.
41. Castilho JL, Shepherd BE, Koethe J, Turner M, Bebawy S, Logan J, Rogers WB, Raffanti S, Sterling TR. CD4+/CD8+ ratio, age, and risk of serious noncommunicable diseases in HIV-infected adults on antiretroviral therapy. *AIDS.* 2016 Mar 27; 30(6):899-908.

42. Serrano-Villar S, Sainz T, Moreno S. Monitoring the CD4/CD8 ratio: a promising indicator of disease progression in HIV-infected individuals? *Future Virol.* 2015 i 10(1):1–4.
43. Liguori I, Russo G, Curcio F, Bulli G, Aran L, Della-Morte D, Gargiulo G, Testa G, Cacciatore F, Bonaduce D, Abete P. Oxidative stress, aging, and diseases. *Clin Interv Aging.* 2018 i 13:757-772.
44. Ivanov AV, Valuev-Elliston VT, Ivanova ON, Kochetkov SN, Starodubova ES, Bartosch B, Isaguliants MG. Oxidative Stress during HIV Infection: Mechanisms and Consequences. *Oxid Med Cell Longev.* 2016 i 8910396., 2016:.
45. Teto G., Kanmogne G. D., Torimiro J. N., et al. Lipid peroxidation and total cholesterol in HAART-Naïve Patients infected with circulating recombinant forms of human immunodeficiency virus type-1 in Cameroon. *PLoS ONE.* 2013 i e65126., 8(6):.
46. Muller GC, Gottlieb MG, Luz Correa B, Gomes Filho I, Moresco RN, Bauer ME. The inverted CD4:CD8 ratio is associated with gender-related changes in oxidative stress during aging. *Cell Immunol.* 2015 i 296(2):149-54.
47. Raggi P, Corwin C. Heart aging measured with coronary artery calcium scoring and cardiovascular risk assessment algorithms in HIV infected patients. *Virulence.* 2017 i 8(5):539-544.
48. Menozzi M, Zona S, Santoro A, Carli F, Stentarelli C, Mussini C, Guaraldi G. CD4/CD8 ratio is not predictive of multi-morbidity prevalence in HIV-infected patients but identify patients with higher CVD risk. *J Int AIDS Soc.* 2015 i 19709., 17(4Suppl 3):.
49. Gao P, Rong HH, Lu T, Tang G, Si LY, Lederer JA, Xiong W. The CD4/CD8 ratio is associated with coronary artery disease (CAD) in elderly Chinese patients. *Int Immunopharmacol.* 2017 i 42:39-43.
50. Calza L, Colangeli V, Magistrelli E, Rossi N, Rosselli Del Turco E, Bussini L, Borderi M, Viale P. Prevalence of metabolic syndrome in HIV-infected patients naive to antiretroviral therapy or receiving a first-line treatment. *HIV clinical trials.* 2017 May 4;18(3):110-7.
51. Husain NE, Noor SK, Elmadhoun WM, Almobarak AO, Awadalla H, Woodward CL, Mital D, Ahmed MH. Diabetes, metabolic syndrome and dyslipidemia in people living with

HIV in Africa: re-emerging challenges not to be forgotten. *HIV AIDS (Auckl)*. 2017 i 9:193-202.

52. Nguyen KA, Peer N, Mills EJ, Kengne AP. A meta-analysis of the metabolic syndrome prevalence in the global HIV-infected population. *PLoS One*. 2016 i 11(3):e0150970.

53. Diouf A, Cournil A, 2015, Groupe d'étude de la Cohorte ANRS 1215. Prevalence of metabolic complications after 10 years of antiretroviral treatment in Senegal. *Bull Soc Pathol Exot*. i 107(4):234–237.

54. Tiozzo E, Konefal J, Adwan S, Martinez LA, Villabona J, Lopez J, Cutrono S, Mehdi SM, Rodriguez A, Woolger JM, Lewis JE. A cross-sectional assessment of metabolic syndrome in HIV-infected people of low socio-economic status receiving antiretroviral therapy. *Diabetology & metabolic syndrome*. 2015 Dec;7(1):15.

55. Tesfaye DY, Kinde S, Medhin G, et al. Burden of metabolic syndrome among HIV-infected patients in Southern Ethiopia. *Diabetes Metab Syndr*. 2015 i 8(2):102–107.

56. Riangwiwat T, Kohorn LB, Chow DC, Souza SA, Ndhlovu LC, Wong JW, Gangcuangco LM, Shikuma CM. CD4/CD8 Ratio Predicts Peripheral Fat in HIV-Infected Population. *J Acquir Immune Defic Syndr*. 2016 i e17–e19., 72(1):.

57. Chandrashekara S. C - reactive protein: An inflammatory marker with specific role in physiology, pathology, and diagnosis. *IJRCI*, 2015 i SR3, 2(S1):.

58. Brown AO, Millett ER, Quint JK, Orihuela CJ. Cardiotoxicity during invasive pneumococcal disease. *Am J Respir Crit Care Med*, 2015 i 739–45, 191:.

59. Agassandian M, Shurin GV, Ma Y, Shurin MR. C-reactive protein and lung diseases. *The International Journal of Biochemistry & Cell Biology*, 2015 i 77–88, 53:.

60. Ansar W, Ghosh S. CRP: Historical Perspective, Structure, Evolution, Synthesis, Clinical and Biological Functions. *Biology of C Reactive Protein in Health and Disease*, 2016 i 33–43.

61. Wu Y, Potempa LA, El KD, Filep JG. C-reactive protein and inflammation: conformational changes affect function. *Biol Chem*, 2015 i 1181–97, 396:.

62. Trial J, Potempa LA, Entman ML. The role of C-reactive protein in innate and acquired inflammation: new perspectives. *Inflamm Cell Signal*, 2016 i e1409, 3(2):.
63. Sproston NR, Ashworth JJ. Role of C-Reactive Protein at Sites of inflammation and infection. *Frontiers in immunology*, 2018 i 9.
64. Kaur M. C-reactive protein: A prognostic indicator. *International Journal of Applied and Basic Medical Research*, 2017 i 7(2, 1:.
65. Zibae Nezhad MJ, GhanbariP, ShahryariB, AghasadeghK. C-Reactive Protein in Angiographically Documented Stable Coronary Disease. *ICRJ*. 2009 i 3(2):97-101.
66. Salazar J, Martínez MS, Chávez-Castillo M, Núñez V, Añez R et al. C-Reactive Protein: An In-Depth Look into Structure, Function, and Regulation. *Int Sch Res Notices*. 2015 i 653045., 2015:.
67. Kwon H, Pessin JE. Adipokines mediate inflammation and insulin resistance. *Frontiers in Endocrinology*, 2013 i 7, 4:.
68. Stancel N, Chen CC, Ke LY, Chu CS, Lu J, Sawamura T, et al. Interplay between CRP, Atherogenic LDL, and LOX-1 and Its Potential Role in the Pathogenesis of Atherosclerosis. *Clin Chem*, 2016 i 320–7, 62:.
69.). Zimmermann O, Li K, Zaczekiewicz M, Graf M, Liu Z, Torzewski J.C-reactive protein in human atherogenesis: facts and fiction. *Mediators Inflamm*. 2015 i 2015:561428.
70. Szalai AJ, McCrory MA, Xing D, Hage FG, Miller A et al. Inhibiting C-reactive protein for the treatment of cardiovascular disease: promising evidence from rodent models. *Mediators Inflamm*. 2015 i 2015:353614.
71. Valkanova V, Ebmeier KP, Allan CL. CRP, IL-6 and depression: a systematic review and meta-analysis of longitudinal studies. *J Affect Disord*, 2013 i 736–44, 150:.
72. Paschoal RS, Silva DA, Cardili RN, Souza CD. Metabolic syndrome, C-reactive protein and cardiovascular risk in psoriasis patients: a cross-sectional study. *Anais brasileiros de dermatologia*, 2018 i 222-8, 93(2):.

73. Baumeister D, Akhtar R, Ciufolini S, Pariante CM, Mondelli V. Childhood trauma and adulthood inflammation: a meta-analysis of peripheral C-reactive protein, interleukin-6 and tumour necrosis factor- α . *Mol Psychiatry*, 2016 i 642–9, 21:.
74. Braig D, Nero TL, Koch HG, Kaiser B, Wang X, Thiele JR, et al. Transitional changes in the CRP structure lead to the exposure of proinflammatory binding sites. *Nat Commun*, 2017 i 14188, 8:.
75. Qu J, Lü X, Liu Y, Wang X. Evaluation of procalcitonin, C-reactive protein, interleukin-6 & serum amyloid A as diagnostic biomarkers of bacterial infection in febrile patients. *The Indian journal of medical research*, 2015 i 315, 141(3):.
76. Shrivastava AK, Singh HV, Raizada A, Singh SK. C-reactive protein, inflammation and coronary heart disease. *The Egyptian Heart Journal*, 2015 i 89-97, 67(2):.
77. Swiatkiewicz I, Kozinski M, Magielski P, Fabiszak T et al. Value of C-reactive protein in predicting left ventricular remodelling in patients with a first ST-segment elevation myocardial infarction. *Mediators of inflammation*, 2012 i 2012.
78. Li F, Huang H, Song L, Hao H, Ying M. Effects of obstructive sleep apnea hypopnea syndrome on blood pressure and C-Reactive Protein in male hypertension patients. *J Clin Med Res*, 2016 i 220–4, 8(3):.
79. Vishwanath A, Quaiser S, Khan R. Role of high-sensitivity C-reactive protein measurements in HIV patients. *Indian journal of sexually transmitted diseases*, 2016 i 123, 37(2):.
80. Stepień M, Stepień A, Wlazel RN, Paradowski M, Banach M, Rysz J. Obesity indices and inflammatory markers in obese nondiabetic normo- and hypertensive patients: A comparative pilot study. *Lipids Health Dis*, 2015 i 29–38, 13:.
81. Zeba AN, Delisle HF, Rosier C, Renier G. Association of high-sensitive C-reactive protein with cardiometabolic risk factors and micronutrient deficiencies in adults of Ougadougou, Burkina Faso. *Br J Nutr*, 2013 i 1266–75, 109(7):.
82. Leal Vde O, Mafra D. Adipokines in obesity. *Clin Chim Acta*, 2013 i 87–94, 419:.

83. Carr BI, Akkiz H, Guerra V, Üsküdar O et al. C-reactive protein and hepatocellular carcinoma: analysis of its relationships to tumor factors. *Clinical practice (London, England)*, 2018 i 15:625.
84. She S, Xiang Y, Yang M, et al. C-reactive protein is a biomarker of AFP-negative HBV-related hepatocellular carcinoma. *Int J Oncol*, 2015 i 543–54, 47:.
85. Wang X, Hassan W, Jabeen Q, Khan GJ, Iqbal F. Interdependent and independent multidimensional role of tumor microenvironment on hepatocellular carcinoma. *Cytokine*, 2018 i 150–9, 103:.
86. Svensson E, Mor A, Rungby J, Berencsi K, Nielsen JS, Stidsen JV, Friborg S, Brandslund I, Christiansen JS, Beck-Nielsen H, Sørensen HT. Lifestyle and clinical factors associated with elevated C-reactive protein among newly diagnosed Type 2 diabetes mellitus patients: a cross-sectional study from the nationwide DD2 cohort. *BMC endocrine disorders*. 2014 Dec;14(1):74..
87. Thiele JR, Zeller J, Bannasch H1 Stark GB, Peter K, Eisenhardt SU. Targeting C-Reactive Protein in Inflammatory Disease by Preventing Conformational Changes. *Mediators Inflamm*. 2015 i 2015:372432.
88. Winston A, Jose S, Fisher M, Walsh J, Nelson M, Gilson R, Post F, Johnson M, Leen C, Chadwick D, Hay P. Host, disease, and antiretroviral factors are associated with normalization of the CD4: CD8 ratio after initiating antiretroviral therapy. *Journal of Allergy and Clinical Immunology*. 2015 Dec 1;136(6):1682-5.
89. Currier JS, Lundgren JD, Carr A, et al. Epidemiological evidence for cardiovascular disease in HIV-infected patients and relationship to highly active antiretroviral therapy. *Circulation* 2008 i 118:29–35.
90. Hsue PY, Deeks SG, Hunt PW. Immunologic basis of cardiovascular disease in HIV-infected adults. *J Infect Dis*. 2012 205 Suppl3:S375-82.
91. Stephan C, Hill A, Xi N, van Delft Y, Moecklinghoff C. Research letter: is monitoring for CD4 counts still needed for the management of patients with long-term HIV RNA suppression? *J Acquir Immune Defic Syndr*. 2012 Dec 15 i 61(5):e73-5.

92. Lucero T, Torres B, Leon A, et al. Rate and predictors of non-AIDS events in a cohort of HIV-infected patients with a CD4 T cell count above 500 cells/mm³. *AIDS Res Hum Retroviruses* 2013 i 993–99., 29:.
93. Lu W, Mehraj V, Vyboh K, Cao W, Li T, Routy JP. CD4:CD8 ratio as a frontier marker for clinical outcome, immune dysfunction and viral reservoir size in virologically suppressed HIV-positive patients. *J Int AIDS Soc.* 2015 i 18:20052.
94. Baker JV, Peng G, Rapkin J, et al. CD4+ count and risk of non-AIDS diseases following initial treatment for HIV infection. *AIDS* 2008 i 22:841–8.
95. Lichtenstein KA, Armon C, Buchacz K, et al. Low CD4+T cell count isa risk factor for cardiovascular disease events in the HIV outpatientstudy. *Clin Infect Dis* 2010 i 51:435–47.
96. Kaplan RC, Kingsley LA, Gange SJ, et al. Low CD4+ T-cell count asa major atherosclerosis risk factor in HIV-infected women and men. *AIDS* 2008 i 22:1615–24.
97. Abrams D, Levy Y, Losso MH, et al. Interleukin-2 therapy in patientswith HIV infection. *N Engl J Med* 2009 i 361:1548–9.
98. Karim R, Mack WJ, Kono N, Tien PC, Anastos K, Lazar J, Young M, Desai S, Golub ET, Kaplan RC, Hodis HN. T-cell activation, both pre-and post-HAART levels, correlates with carotid artery stiffness over 6.5 years among HIV-infected women in the WIHS. *Journal of acquired immune deficiency syndromes (1999).* 2014 Nov 1;67(3):349.
99. Kim KW, Kim BM, Moon HW, Lee SH, Kim HR. Role of C-reactive protein in osteoclastogenesis in rheumatoid arthritis. *Arthritis Res Ther.* 2015 i 17:41.
100. Obradović-Tomašević B, Vujasinović-Stupar N, Tomašević R. Novi faktori rizika za kardiovaskularne bolesti kod bolesnika sa reumatoidnim artritism. *Med Pregl.* 2008 i 601-606., LXI (11-12):.
101. Tanigaki K, Sundgren N, Khera A, Vongpatanasin W, Mineo C, Shaul PW. Fcγ receptors and ligands and cardiovascular disease. *Circ Res.* 2015 Jan 16 i 116(2):368-84.
102. Mangili A, Polak JF, Quach LA, Gerrior J, Wanke CA. Markers of atherosclerosis and inflammation and mortality in patients with HIV infection. *Atherosclerosis.* 2011 i 214(2):468-73.

103. Duprez DA, Neuhaus J, Kuller LH, Tracy R, Bellosso W, De Wit S, Drummond F, Lane HC, Ledergerber B, Lundgren J, Nixon D, Paton NI, Prineas RJ, Neaton JD. Inflammation, coagulation and cardiovascular disease in HIV-infected individuals. *PLoS One*. 2012 i 7:e44.
104. Nordell AD, McKenna M, Borges AH, Duprez D, Neuhaus J, Neaton JD. Severity of cardiovascular disease outcomes among patients with HIV is related to markers of inflammation and coagulation. *J Am Heart Assoc*. 2015 i 3:e000844.
105. Pirš M, Jug B, Eržen B, Šabović M, Karner P, Poljak M, Tomažič J. Cardiovascular risk assessment in HIV-infected male patients: a comparison of Framingham, SCORE, PROCAM and DAD risk equations. *Acta Dermatovenerol Alp Pannonica Adriat*. 2015 i 23(3):43-7.
106. Nery MW, Martelli CM, Aparecida Silveira E, Sousa CA, Falco MD, Castro AD, Esper JT, Turchi MD. Cardiovascular risk assessment: a comparison of the Framingham, PROCAM, and DAD equations in HIV-infected persons. *The Scientific World Journal*. 2013;2013.
107. Friis-Møller N, Thiebaut R, Reiss P, Weber R, D'Arminio Monforte A, De Wit S, El-Sadr W, Fontas E, Worm S, Kirk O, Phillips A. Predicting the risk of cardiovascular disease in HIV-infected patients: the data collection on adverse effects of anti-HIV drugs study. *European journal of cardiovascular prevention & rehabilitation*. 2010 Oct;17(5):491-501.
108. Kim SB, Kim YC, Kim MH, Song JE, Oh DH, Ahn JY, Ku NS, Kim HW, Jeong SJ, Han SH, Song YG. A comparison of the predicted risk for cardiovascular disease between HIV-infected and uninfected persons in Korea. *Scandinavian journal of infectious diseases*. 2013 Nov 1;45(11):855-62.
109. Sankatsing RR, Wit FW, Vogel M, de Groot E, Brinkman K, Rockstroh JK, Kastelein JJ, Stroes ES, Reiss P. Increased carotid intima-media thickness in HIV patients treated with protease inhibitors as compared to non-nucleoside reverse transcriptase inhibitors. *Atherosclerosis*. 2009 Feb 1;202(2):589-95.
110. Kiage JN, Heimbürger DC, Nyirenda CK, Wellons MF, Bagchi S, Chi BH, Koethe JR, Arnett DK, Kabagambe EK. Cardiometabolic risk factors among HIV patients on antiretroviral therapy. *Lipids in health and disease*. 2013 Dec i 12(1):50.

111. De Luca A, de Gaetano Donati K, Colafigli M, Cozzi-Lepri A, De Curtis A, Gori A, Sighinolfi L, Giacometti A, Capobianchi MR, D'Avino A, Iacoviello L. The association of high-sensitivity c-reactive protein and other biomarkers with cardiovascular disease in patients treated for HIV: a nested case–control study. *BMC infectious diseases*. 2013 Dec;13(1):414.
112. Trickey A, May MT, Schommers P, Tate J, Ingle SM, Guest JL, Gill MJ, Zangerle R, Saag M, Reiss P, Monforte AD. CD4: CD8 Ratio and CD8 Count as Prognostic Markers for Mortality in Human Immunodeficiency Virus–Infected Patients on Antiretroviral Therapy: The Antiretroviral Therapy Cohort Collaboration (ART-CC). *Clinical Infectious Diseases*. 2017 Jul 11;65(6):959-66.
113. Sainz T, Alvarez-Fuente M, Navarro ML, Diaz L, Rojo P, Blazquez D, et al. Subclinical atherosclerosis and markers of immune activation in HIV-infected children and adolescents: the CaroVIH Study. *J Acquir Immune Defic Syndr*. 2014 i 65(1):42–9.
114. Serrano-Villar S, Moreno S, Fuentes-Ferrer M et al. The CD4:CD8 ratio is associated with markers of age-associated disease in virally suppressed HIV-infected patients with immunological recovery. *HIV Med*2014 i 15:40–9.
115. Chaisson LH, Semitala FC2 Asege L, Mwebe S, Katende J, Nakaye M3, Andama AO2, Marquez C, Atuhumuza E, Kanya M, Cattamanchi A, Yoon C. Point-of-care C-reactive protein and risk of early mortality among adults initiating antiretroviral therapy. *AIDS*. 2019 Jan 14.
116. Bian F, Yang X, Zhou F, Wu PH, Xing S, Xu G, Li W, Chi J, Ouyang C, Zhang Y, Xiong B, Li Y, Zheng T, Wu D, Chen X, Jin S. C-reactive protein promotes atherosclerosis by increasing LDL transcytosis across endothelial cells. *Br J Pharmacol*. 2014 i 171(10):267.
117. Moran CA, Sheth AN, Mehta CC, Hanna DB, Gustafson DR, Plankey MW, Mack WJ, Tien PC, French AL, Golub ET, Quyyumi A. The association of C-reactive protein with subclinical cardiovascular disease in HIV-infected and HIV-uninfected women. *Aids*. 2018 May 15 i 3.
118. Hanna DB, Guo M, Bůžková P, Miller TL, Post WS, Stein JH, Currier JS, Kronmal RA, Freiberg MS, Bennett SN, Shikuma CM. HIV infection and carotid artery intima-media

thickness: pooled analyses across 5 cohorts of the NHLBI HIV-CVD Collaborative. *Clinical Infectious Diseases*. 2016 Apr 26;63(2):249-56.

119. Westhorpe CL, Schneider HG, Dunne M1, Middleton T, Sundararajan V, Spelman T, Carter V, Crowe SM, Dart A, Mijch A, Kotsanas D, Woolley I. C-reactive protein as a predictor of cardiovascular risk in HIV-infected individuals. *Sex Health*. 2014 Dec i 11(6):580-.

120. McComsey GA, Kitch D, Sax PE, Tierney C, Jahed NC, Melbourne K, Ha B, Brown TT, Bloom A, Fedarko N, Daar ES. Associations of inflammatory markers with AIDS and non-AIDS clinical events after initiation of antiretroviral therapy: AIDS clinical trials group.

121. Reingold JS et al. Association of HIV infection and HIV/HCV coinfection with C-reactive protein levels: The Fat Redistribution and Metabolic Change in HIV Infection (FRAM) study. *J Acquir Immune Defic Syndr* 2008 Jun i 48:142.

122. Triant VA. Cardiovascular disease and HIV infection. *Current HIV/AIDS Reports*. 2013 Sep i 10(3):199-206.

123. Guimarães MM, Greco DB, Figueiredo SM, Fóscolo RB, Oliveira AR, Jr, Machado LJ. High-sensitivity C-reactive protein levels in HIV-infected patients treated or not with antiretroviral drugs and their correlation with factors related to cardiovascular risk and HIV infection. *Atherosclerosis*. 2008;201:434–9.

124. Bosna i Hercegovina, izvjestaj o razvoju 2015. Internet: http://www.dep.gov.ba/razvojni_dokumenti/izvjestaji/Archive.aspx?langTag=bs-BA&template_id=140&pageIndex=1 (pristupljeno decembar, 2018.).

125. Husain NE, Ahmed MH. Managing dyslipidemia in HIV/AIDS patients: challenges and solutions. *HIV AIDS (Auckl)*. 2014 i 7:1-10.

126. Gao N, Yu Y, Zhang B, Yuan Z, Zhang H, Song Y, Zhao M, Ji J, Liu L, Xu C, Zhao J. Dyslipidemia in rural areas of North China: prevalence, characteristics, and predictive value. *Lipids in health and disease*. 2016 Dec i 15(1):154.

127. Khatiwada S, Rajendra KC, Gautam S, Lamsal M, Baral N. Thyroid dysfunction and dyslipidemia in chronic kidney disease patients. *BMC Endocr Disord*. 2015 i 15:65.

128. Olamoyegun MA, Oluyombo R, Asaolu SO. Evaluation of dyslipidemia, lipid ratios, and atherogenic index as cardiovascular risk factors among semi-urban dwellers in Nigeria. *Ann Afr Med.* 2016 i 15(4):194-199.
129. Indumati V, Vijay V, Shekhanawar MS, Rajeshwari, Amareshwaras M, Shantala D. Comparison of Serum Lipid Profile in HIV Positive Patients on ART with ART Naïve Patients. *J Clin Diagn Res.* 2014 i 8(10):CC06-9.
130. Zephy D, Lakshmi LJ, Ashraff R. Lipid Profile among Art Treated and Untreated Patients in HIV Positive Cases. *Arch Med.* 2015, 8:2.
131. Augustemak de Lima LR, Petroski EL, Moreno YMF, Silva DAS, Trindade EBMS, Carvalho AP Back IC. Dyslipidemia, chronic inflammation, and subclinical atherosclerosis in children and adolescents infected with HIV: The PositHIVE Health Study. *PLoS One.* 2018 i 13.
132. Njoroge A, Guthrie BL, Bosire R, Wener M, Kiarie J, Farquhar C. Low HDL-cholesterol among HIV-1 infected and HIV-1 uninfected individuals in Nairobi, Kenya. *Lipids Health Dis.* 2017 i 16(1):110.
133. Gowdaiah PK, Reddy SS, Joseph J. Clinical study of lipid abnormalities in anti-retroviral treatment-naive HIV patients. *Int J Adv Med.* 2015 i 2(4):365-369.
134. Fruh SM. Obesity: Risk factors, complications, and strategies for sustainable long-term weight management. *J Am Assoc Nurse Pract.* 2017 i 29(S1):S3-S14.
135. Cefalu WT, Bray GA, Home PD, Garvey WT, Klein S, Pi-Sunyer FX, Hu FB, Raz I, Van Gaal L, Wolfe BM, Ryan DH. Advances in the Science, Treatment, and Prevention of the Disease of Obesity: Reflections From a Diabetes Care Editors' Expert Forum. *Diabetes Care.* 2015;38(8):1567-82.
136. Biggs C, Spooner E. Obesity and HIV: a compounding problem. *South African Journal of Clinical Nutrition* 2017 i 1(1):1–6.
137. Hasse B, Iff M, Ledergerber B, Calmy A, Schmid P, Hauser C, Cavassini M et al. Obesity Trends and Body Mass Index Changes After Starting Antiretroviral Treatment: The Swiss HIV Cohort Study. *Open Forum Infect Dis.* 2014 i 1(2):ofu040.

138. McCormick CL, Francis AM, Iliffe K, Webb H, Douch CJ, Pakianathan M, Macallan DC. Increasing Obesity in Treated Female HIV Patients from Sub-Saharan Africa: Potential Causes and Possible Targets for Intervention. *Front Immunol.* 2014 i 5:507.
139. Ebonyi AO, Oguiche S, Ochoga MO1, Agbaji OO, Anejo-Okopi JA, Abah IO, Okonkwo PI2, Idoko JA3. Changes in the haematological parameters of HIV-1 infected children at 6 and 12 months of antiretroviral therapy in a large clinic cohort, North-Central Nigeria. *J Virus Erad.* 2017;3(4):208-211.
140. Dhal N, Panda S, Mohapatra N, Pattanayak NC, Pattanaik R. Study of haematological abnormalities in HIV infected patients and its correlation with CD4 counts. *Int J Res Med Sci.* 2018 i 6(9):2937-2942.
141. Kibaru EG, Nduati R, Wamalwa D, Kariuki N. Impact of highly active antiretroviral therapy on hematological indices among HIV-1 infected children at Kenyatta National Hospital-Kenya: retrospective study. *AIDS Res Ther.* 2015 i 12:26.
142. Bhowmik A, Banerjee P. Hematological manifestation in HIV infected children. *J Coll Physicians Surg Pak.* 2015 i 25(2):119-23.
143. Anzinger JJ1, Butterfield TR1, Angelovich TA2, Crowe SM3, Palmer CS4. Monocytes as regulators of inflammation and HIV-related comorbidities during cART. *J Immunol Res.* 2014 i 2014:569819.
144. Bowers NL, Helton ES, Huijbregts RP, Goepfert PA, Heath SL, Hel Z. Immune suppression by neutrophils in HIV-1 infection: role of PD-L1/PD-1 pathway. *PLoS Pathog.* 2014 i 10(3):e1003993.
145. Shi X, Sims MD, Hanna MM, Xie M, Gulick PG, Zheng YH, Basson MD, Zhang P. Neutropenia during HIV infection: adverse consequences and remedies. *Int Rev Immunol.* 2014 i 33(6):511-36.
146. Reda AA, Biadgilign S, Deribew A, Gebre B, Deribe K. Predictors of change in CD4 lymphocyte count and weight among HIV infected patients on anti-retroviral treatment in Ethiopia: a retrospective longitudinal study. *PLoS One.* 2013 i 8(4):e58595.

147. Osime EO, Innih SO. Effect of highly active antiretroviral therapy on neutrophil/lymphocyte ratio using white rabbit. *Sahel Med J.* 2017 i 20:72-4.
148. 2016, Raheem AH. Erythrocyte sedimentation rate in patients with positive sputum for AFB and negative HIV serological test. *Muthanna Medical Journal.* i 3(1):17-23.
149. Nwabuko CO. Relationship between Some Hematologic Parameters (ESR, CDC) and CD4-Positive Lymphocyte Count in HIV Sero-Positive Anti-Retroviral-Naïve Individuals with Tuberculosis Co-Infection. *J Blood Lymph.* 2018 i 212., 8(2):.
150. Dalela G, Baig VN. Correlation between Total Leukocyte Count, Absolute lymphocyte count, Hemoglobin, Erythrocyte sedimentation rate and CD4 Count in HIV/AIDS Patients *Int.J.Curr.Microbiol.App.Sci.* 2015;4(9):366-371.
151. Ifeanyichukwu OM, Bright EO. Effect of HIV infection on some haematological parameters and immunoglobulin levels in hiv patients in benin city, Southern Nigeria. *J HIV Retrovirus.* 2016 i 2:2.
152. 2013, Venkataramana K. A study of biological markers in HIV disease progression and management in the highly active antiretroviral therapy (HAART) era. *Am J Biosci Bioeng.* i 1(2):24-37.
153. Esan MO, van Hensbroek MB, Nkhoma E, Musicha C, White SA, Ter Kuile FO, Phiri KS. Iron supplementation in HIV-infected Malawian children with anemia: a double-blind, randomized, controlled trial. *Clin Infect Dis.* 2013 i 57(11):1626–1634.
154. Fan HW, Guo FP, Li YJ, Li N, Li TS. Prevalence of thrombocytopenia among Chinese adult antiretroviral-naïve HIV-positive patients. *Chin Med J (Engl).* 2015 i 128(4):459-64.
155. Zetterberg E, Neuhaus J, Baker JV, Somboonwit C, Llibre JM, Palfreeman A, Chini M, Lundgren JD, 2013, INSIGHT SMART Study Group. *AIDS.* i 27(1):59-68.
156. Seyoum M, Enawgaw B, Getaneh Z, Engidaye G, Asrie F, Melku M. Basic Coagulation Parameters among Human Immunodeficiency Virus-Infected Adults in Gondar, Northwest Ethiopia: A Comparative Cross-Sectional Study. *Biomed Res Int.* 2018 May 15 i 2018:5320827.

157. Ibeh BO, Omodamiro OD, Ibeh U, Habu JB. Biochemical and haematological changes in HIV subjects receiving winniecure antiretroviral drug in Nigeria. *J Biomed Sci.* 2013 i 20:73.

SKRAĆENICE

Skraćenica	Značenje (bosanski)	Značenje (engleski)
HIV	Virus humane imunodeficijencije	
AIDS	SIDA - sindrom stečene imunodeficijencije	Acquired Immune Deficiency Syndrome
CRP	C-reaktivni protein	
RNK	Ribonukleinska kiselina	
DNK	Deoksiribonukleinska kiselina	
RT	Reverzna transkriptaza	
gp120	Glikoprotein ovojnice gp120	Envelope glycoprotein GP120
gp41	Glikoprotein 41	glycoprotein 41
CD4	Podtip T limfocita	Cluster of differentiation 4 T lymphocyte
CCR5	C-C hemokinski receptor tip 5	C-C chemokine receptor type 5
CXCR4	C-X-C hemokinski receptor tip 4	C-X-C chemokine receptor type 4
CD8	Podtip T limfocita	Cluster of differentiation 8 T lymphocyte
ART	Antiretroviralna terapija	Antiretroviral therapy
UN	Ujedinjene nacije	United Nations
cART	Kombinirana antiretroviralna terapija	Combined antiretroviral therapy
EACS	Evropsko kliničko udruženje za AIDS	The European AIDS Clinical Society
HBV	Virus B hepatitisa	Hepatitis B virus
HCV	Virus C hepatitisa	Hepatitis C virus
NNRTI	Nenukleozidni inhibitori reverzne transkriptaze	Non-nucleoside reverse transcriptase inhibitors
NRTI	Nukleozidni inhibitori reverzne transkriptaze	Nucleoside reverse transcriptase inhibitors
PI	Inhibitori proteaze	Protease inhibitors
INSTI	Inhibitori prenosa integrazne niti	Integrase strand transfer inhibitors
PI/r	Inibitori proteaze pojačani ritonaviro	Ritonavir boosted protease inhibitors
TDF	Tenofovir	Tenofovir
FTC	Emtricitabin	Emtricitabine
EFV	Efavirenz	Efavirenz
ABC	Abakavir	Abacavir
3TC	Lamivudin	Lamivudine
NVP	Nevirapin	Nevirapine
ATV	Atazanavir	Atazanavir
DRV	Darunavir	Darunavir
LPV/r	Lopinavir/ritonavir	Lopinavir/ritonavir
RAL	Raltegravir	Raltegravir
SQV/r	Sakvinavir/ritonavir	Saquinavir/ritonavir
AZT	Zidovudin	Zidovudine
FPV/r	Fosamprenavir/ritonavir	Fosamprenavir/ritonavir
ddI	Didanozin	Didanosine
MVC	Maravirok	Maraviroc
HLA	Humani leukocitni antigen	Human leukocyte antigen
mL	Militara	

BIH	Bosna i Hercegovina	
EU	Evropska unija	European Union
d4T	Stavudin	Stavudine
IDV	Indinavir	Indinavir
KVB	Kardiovaskularne bolesti	
SAD	Sjedinjene američke države	
hsCRP	Visoko senzitivni C-reaktivni protein	High Sensitivity C-Reactive Protein
SZO	Svjetska zdravstvena organizacija	
ITM	Indeks tjelesne mase	BMI-Body Mass Index
BSI	Indeks oblika tijela	Body Shape Index
MS	Metabolički sindrom	
LDL	Lipoproteinski kolesterol niske gustine	Low-density lipoprotein
HDL	Holesterol visoke gustine	High-density lipoprotein
ET-1	Endotelin-1	
NK ćelije	Ćelije prirodne ubice	Natural killer cells
IL	interleukin	
TH ćelije	T pomoćne ćelije	T helper cells
CD14	Podtip 14 T limfocita	Cluster of differentiation 14 T lymphocyte
CD28	Podtip 28 T limfocita	Cluster of differentiation 28 T lymphocyte
CMV	Citomegalovirus	Cytomegalovirus
itd.	I tako dalje	
IDF	Međunarodna federacija za šećernu bolest	The International Diabetes Federation
TNF- α	Faktor tumorske nekroze alfa	Tumor necrosis factor alpha
IgM	Imunoglobulin M	
IgG	Imunoglobulin G	
mg/L	Miligram po litru	
ICAM-1	Intracelularne adhezione molekule-1	Intercellular Adhesion Molecule 1
VCAM-1	Vaskularne adhezione molekule-1	Vascular cell adhesion protein 1
KCUS	Klinički centar Univerziteta u Sarajevu	
PROCAM	Munsterska prospektivna kardiovaskularna studija	Prospective Cardiovascular Münster Study
D:A:D	kalkulator za izračunavanje rizika od KVB, koji uključuje i anti HIV lijekove	Data Collection of Adverse Events of Anti-HIV Drugs (D:A:D) equation risks.
FITC	Florescin-izotiocijanat	Fluorescein isothiocyanate
PE	Fikoeritrin	Phycoerythrin
PerCP	Peridinin-hlorofil	Peridinin chlorophyll
APC	Alofikocianin	Allophycocyanin
FSC	Raspršivanje svjetla prema naprijed	Forward Scatter
SSC	Raspršivanje svjetla u stranu	Side scatter
CD19	Podtip 19 B limfocita	Cluster of Differentiation 19 B cell
WBC	Broj leukocita	White blood count
Lym	Broj limfocita	Lymphocytes
CD3	Podtip T limfocita	Cluster of differentiation 3 T cell
CD16	Podtip NK ćelija	Cluster of differentiation 16 NK cell
CD56	Podtip NK ćelija	Cluster of differentiation 56 NK cell

mmol/L	Milimola po litru	
SE	Sedimentacija eritrocita	
mm	Milimetara	
g/L	Grams po litru	
μL	Mikrolitara	
ROC	ROC kriva	Receiver Operating Characteristics
AUC	Površina ispod ROC krive	Area Under the Curve

BIOGRAFIJA

Dr Refet Gojak rođen je 12.05.1974. godine Gojkovićima, opština Prijepolje, R.Srbija.

Osnovno i srednje obrazovanje - Gimnaziju „ Prof. Branko Radičević“ završio je u Prijepolju. Studije medicine upisuje šk. 1994. godine u na Medicinskom fakultetu u Univerziteta u Nišu, a završava 2003. na Medicinskom fakultetu Univerziteta u Sarajevu. Nakon diplomiranja radio kao asistent na Fakultetu zdravstvenih studija. Od 2006. godine je uposlenik KCU Sarajevo, gdje završava specijalizaciju iz infektivnih bolesti 2011. godine.

Doktorske studije upsuje 2009. godine na Fakultetu medicinskih nauka Unverziteta u Kragujevcu, a usmeni doktorski ispit položio je 2016 godine.

Od 2014. godine radio kao asistent na Medicnskom fakutetu Univerziteta u Sarajevu, oblast Infektologija.

Objavio je 35 autorskih i koautorskih radova publikovanih u stručnim domaćim i starnim časopisima.

Živi i radi u Sarajevu, Bosna i Hercegovina, oženjen, otac troje djece.

BIBLIOGRAFIJA

Radovi koji su bili uslov za prijavu završne doktorske disertacije

Br.	Autori i naziv rada	SCI	Imp. faktor
1.	Gojak R , Hadziosmanovic V, Baljic R, Zecevic L, Coric J, Mijailovic Z. CD4/CD8 ratio as a predictor for the occurrence of metabolic syndrome in HIV/AIDS patients during 6 months of cART therapy. <i>J Med Biochem.</i> 2019; 38	sci	1,37
2.	Baljic R, Gojak R , Konjo H, Hukic M. Granulysin as a novel factor for the prognosis of the clinical course of chickenpox. <i>Epidemiology & Infection.</i> 2018 May;146(7):854-7.	sci	2,04
3.	Adrovic A, Oztunc F, Barut K, Koka A, Gojak R , Sahin S, Demir T, Kasapcopur O. The frequency of pulmonary hypertension in patients with juvenile scleroderma. <i>Bosnian journal of basic medical sciences.</i> 2015 Sep;15(4):30.	sci	0,5
4.	Luljeta NA, Mehic B, Gojak R , Arber N. The Frequency of Influenza-Like Illness in Patients with Allergic Asthma on Immunotherapy. <i>Immunome Research.</i> 2015 May 1;11(2):1.	sci	0,47
5.	Denislic M, Tiric-Campara M, Resić H, Al-Hashel JY, Gojak R , Ravnik J. A neurophysiological study of large-and small-diameter nerve fibers in the hands of hemodialysis patients. <i>International urology and nephrology.</i> 2015 Nov 1;47(11):1879-87.	sci	1,42
6.	Lujinović A1, Kulenović A, Kapur E, Gojak R . Morphological aspects of myocardial bridges. <i>Bosn J Basic Med Sci.</i> 2013 Nov;13(4):212-7.	sci	0,5
7.	Gojak R , Ferhatovic M, Bajramovic N, Hadzic A, Gazibera B, Bankovic D. Importance of Quick Test for Screening of Former Drug Users. <i>Medical Archives.</i> 2012 Jan 1;66:30.(2), 46-48	/	/

PRILOG

КЉУЧНА ДОКУМЕНТАЦИЈСКА ИНФОРМАТИКА

УНИВЕРЗИТЕТ У КРАГУЈЕВЦУ
ФАКУЛТЕТ МЕДИЦИНСКИХ НАУКА У КРАГУЈЕВЦУ

Редни број - РБ:

Идентификациони број - ИБР:

Тип документације - ТД: **Monografija**

Тип записа - ТЗ: **Tekstualni printani materijal**

Врста рада - ВР: **Doktorska disertacija**

Аутор - АУ: **Refet Gojak**

Ментор/коментор - МН: **prof.dr Željko Mijailović, vanredni profesor Fakulteta medicinskih nauka Univerziteta u Kragujevcu**

Наслов рада - НР: **Značaj CD4/CD8 količnika i CRP-a u praćenju promjena kardiovaskularnog rizika kod HIV pozitivnih pacijenata tokom dvije godine cART terapije**

Језик публикације - ЈП: **Bosanski (latinično pismo)**

Језик извода - ЈИ: **Bosanski / Engleski**

Земља публикавања - ЗП: **R.Srbija**

Уже географско подручје - УГП: **Kragujevac**

Година - ГО: **2019.**

Издавач - ИЗ: **Autorski reprint**

Место и адреса - МС: **Fakultet medicinskih nauka, Kragujevac, Svetozara Markovića br. 69, 34000 Kragujevac, Srbija**

Физичи опис рада - ФО: 9 poglavlja, stranica 130, tabela; grfikona....., refrenci 157, prilog: odobrenje etičkog komiteta KCUS; Potvrda o izvodljivosti studije na KCUS

Научна област - УДК: **Medicina**

Научна дисциплина - ДИ: **Infektologija**

Предметна одредница/ кључне речи – ПО : **CD4/CD8 odnos; C-reaktivni protein, kardiovaskularna bolest, HIV/AIDS, cART**

Чува се - ЧУ: **Biblioteka Fakulteta medicinskih nauka u Kragujevcu, Svetozara Markovića 69, 34000 Kragujevac**

Важна напомена- МН: **Istraživanje je rađeno na Klinici za infektivne bolesti KCU Sarajevo, uz dozvole instituta za Nuaku i razvoj, i etičkog komiteta KCU Sarajevo.**

Извод - ИД: Uvod: HIV-инфекција се карактерише прогресивним манјком CD4+ Т-ћелија због њихове смањене синтезе, повећаног уништавања и изразите активације и експанзије CD8+ Т лимфоцита. CD4/CD8 однос (količnik, *engl.* ratio) се све више појављује као маркер различитих ishoda код HIV-инфицираних појединаца. С друге стране CRP је традиционално описиван као добар маркер акутне упале и данас је један од стандардних тестова који се користе у свакодневној клиничкој пракси, за постављање дијагнозе и праћење прогнозе упале. Међутим, улога CRP-а у различитим физиолошким процесима, нарочито код перзистентне инфекције и имунске

aktivacije nije do kraja jasna. Efikasnom i savremenom terapijom HIV-a život ovakvih pacijenta je značajno produžen. Primarni cilj antiretrovirusne terapije (ART) je spriječiti HIV-povezane bolesti i smrtnost, a sekundarni cilj je da se smanji rizik od prijenosa HIV-a. Ovaj cilj se najbolje postiže pomoću efikasne cART, kojom se maksimalno inhibira HIV replikacija, tako da plazmatska HIV RNK (viremija) ostaje ispod nivoa kojeg je moguće detektovati pomoću komercijalno dostupnih testova.

Cilj: Osnovni cilj ovog istraživanja je da se ispita kolika je moć CD4/CD8 odnosa i CRP-a da predvidi razvoj rizika kardiovaskularne bolesti (KVB) kod HIV pozitivnih pacijenata koji primaju cART terapiju.

Materijal i metode: U retrospektivno-prospektivnoj kohortnoj studiji ponovljenih mjerenja bilo je uključeno 76 HIV pozitivnih ispitanika. Za određivanje udjela (procenta) CD4+ i CD8+ ćelija, iz periferne krvi pacijenata, korištena je metoda protočne citometrije. U ovoj studiji evaluirane su vrijednosti biohemijskih parametara (CRP-a, lipidnog statusa), parametara krvne slike (eritrociti, hemoglobin, hematokrit, trombociti), leukociti i leukocitarna formula te sedimentacija kao nespecifični parametri akutne upale, potom imunološki parametar CD4/CD8 odnos, antropometrijska mjerenja- ITM, te vrsta cART terapije. Za statističku analizu korišten je softver SPSS, odnosno parametrijski i neparametrijski testovi, Spirmanova (rho) korelacija, standardna regresiona analiza i ROC kriva.

Rezultati: U istraživanje je uključeno 76 ispitanika, 67 (88,2 %) muškaraca i 9 (11,8 %) žena. Ispitanici su prosječne starosti $35,2 \pm 8,7$ godina, najmlađi ispitanik imao je 18, a najstariji 57 godina. Standardnom regresionom analizom, ispitan je uticaj nezavisnih prediktora (starosti, pola, navike pušenja, familijarne anameze za KVB, ITM, cART, sistolnog i dijastolnog pritiska, holesterola, triglicerda, HDL-a, ŠUK-a, CRP-a, CD4 i CD4/CD8) na zavisno promjenljivu rizik za KVB bazično i nakon 3, 6, 12, 18 i 24 mjeseca cART. Od 12. do 24. mjeseca osim standardnih rizikofaktora za predikciju razvoja KVB, CD4/CD8 odnos i CRP se javljaju kao značajni prediktori. Nakon 24 mjeseca cART, CRP se pokazao kao najbolji prediktor rizika za KVB ($\beta=0,224$; $p=0,026$), veće vrijednosti ovog parametara utiču na veći rizik za KVB, potom CD4/CD8 odnos ($\beta=-0,200$; $p=0,025$), s tim da veći odnos smanjuje vjerovatnoću za rizik KVB. Terapija (cART) u ovom regresionom modelu prvi put je nakon 24 mjeseca pokazala statistički značajan uticaj na rizik za KVB ($\beta=0,197$; $p=0,013$). Ispitanici koji su u kombinovanoj terapiji imali PI, imaju veći rizik za KVB. Od 18. mjeseca cART CRP može biti marker srednjeg rizika za KVB, a nakon 24 mjeseca vrijednosti CRP-a od 5,31 mg/L ima najveću senzitivnost 78,3% i najveću specifičnost 86,8%, kao marker srednjeg u odnosu na niski rizik za KVB ($p=0,0001$; $AUC=0,882$). Od 12 mjeseca cART CD4/CD8 odnos može biti marker niskog rizika za KVB. Nakon 24 mjeseca terapije prosječna vrijednost CD4/CD8 odnosa od 0,53 ima najveću senzitivnost 66,0% i najveću specifičnost 73,9%, kako marker niskog u odnosu na srednji rizik za KVB ($p=0,001$; $AUC=0,762$).

Zaključci: Količnik CD4/CD8 i CRP su se pokazali se kao značajni prediktori za rizik KVB, i kao markeri koji mogu razlikovati nizak/srednji rizik za KVB kod HIV pacijenata nakon 12 mjeseci cART.

Кljučне riječi: CD4/CD8 odnos, C-reaktivni protein, HIV, AIDS, kardiovaskularna bolest, cART

Датум прихватања теме од стране ННВ - ДП:

Датум одбране - ДО:

Чланови комисије - КО:

KEY WORDS DOCUMENTATION

UNIVERSITY OF KRAGUJEVAC FACULTY OF MEDICAL SCIENCES KRAGUJEVAC

Accession number - ANO: Monograf documentation

Identification number - INO:

Documentation type - DT: Textual printed material

Type of record - TR: Textual printed material

Contents code - CC: PhD Thesis

Author - AU: Refet Gojak

Menthor/co-mentor - MN: dr.sci.med. Željko Mijailović, Associate Professor

Title - TI: Significance of CD4 / CD8 ratio and C-reactive protein in monitoring cardiovascular risk in HIV positive patients during cART therapy

Language of text - LT: Bosnian (Latin)

Language of abstract: Bosnian/ English

Country of publication - CP: Serbia

Locality of publication - LP: Kragujevac-

Publication year - PY: 2019

Publisher - PU: Author reprint

Publication place - PP: Svetozara Marovića 69, 34000 Kragujevac, Srbija

Physical description - PD:

Scientific field - SF: MEDicine

Scientific discipline - SD: Infectology, Infection diseases

Subject/key words - SKW:

UDC

Holding data:

Note - N: ABSTRACT Introduction: HIV infection is characterized by a progressive deficiency of CD4+ T cells due to their reduced synthesis, increased destruction and marked activation and expansion of CD8+ T lymphocytes. The CD4/CD8 ratio is increasingly emerging as a marker of different outcomes in HIV-infected individuals. On the other hand, CRP has traditionally been described as a good marker of acute inflammation and is today one of the standard tests used in everyday clinical practice to diagnose and monitor inflammation prognosis. However, the role of CRP in various physiological processes, especially in persistent infections and immune activation, is not entirely clear. The primary goal of antiretroviral therapy (ART) is to prevent HIV-related diseases and mortality, and the secondary goal is to reduce the risk of HIV transmission. This goal is best achieved by using efficient combination ART (cART), which maximally inhibits HIV replication, so that plasma HIV RNA (viral load) remains below the level that can be detected by commercially available tests.

Aim: The main objective of this study is to examine the power of the CD4/CD8 ratio and CRP in predicting the risk of development of cardiovascular disease (CVD) in HIV positive patients receiving cART therapy.

Material and methods: In the retrospective-prospective cohort study of repeated measurements, 76 HIV positive subjects were included. The method of flow cytometry was used to determine the percentage of CD4+ and CD8+ cells in the peripheral blood of patients. In this study the values of biochemical parameters (CRP, lipid status), blood parameters (erythrocytes, hemoglobin, hematocrit, platelets), leukocytes, leukocyte formula, and sedimentation as non-specific parameters of acute inflammation were evaluated, followed by immunocompetent CD4/CD8 ratio, anthropometric measurements - ITM, and cART therapy type. For statistical analysis SPSS software was used, i.e. parametric and nonparametric tests, Spearman's (rho) correlation, standard regression analysis and ROC curve.

Results: The study included 76 subjects, 67 (88.2%) males and 9 (11.8%) women. The average age of subjects was 35.2 ± 8.7 years; the youngest subject was 18 and the oldest 57 years old. By standard regression analysis, the influence of independent predictors (age, gender, smoking habits, familial anamnesis for CVD, ITM, cART, systolic and diastolic pressure, cholesterol, triglycerides, HDL, blood sugar, CRP, CD4 and CD4/CD8 ratio) on the dependent variable risk of CVD, baseline and after 3, 6, 12, 18 and 24 months of cART was examined. From 12 to 24 months apart from the standard risk factors for predicting the development of CVD, CD4/CD8 ratio and CRP appear as significant predictors. After 24 months of cART, CRP proved to be the best risk predictor of CVD (beta = 0.224; p = 0.026), higher values of this parameter affect higher risk for CVD, then CD4/CD8 ratio (beta -0.200, p = 0.025), with a higher ratio decreasing the likelihood of CVD risk. Therapy (cART) in this regression model showed the first time after 24 months a statistically significant impact on CVD risk (beta = 0.197; p = 0.013). Subjects who had PI in combination therapy had a higher risk for CVD. From 18 months of cART CRP may be a medium risk marker for CVD, and after 24 months the CRP value of 5.31 mg/L has the highest sensitivity of 78.3% and the highest specificity of 86.8%, as a marker of medium compared to low risk for CVD (p = 0.0001; AUC = 0.882). After 12 months of cART CD4/CD8 ratio can be a low risk marker for CVD. After 24 months of therapy, the average CD4/CD8 ratio of 0.53 had the highest sensitivity 66.0% and the highest specificity was 73.9%, as the marker of low compared to medium risk for CVD (p = 0.001, AUC = 0.762).

Conclusion: CD4/CD8 ratio and CRP counts have been shown to be significant CVD risk predictors, and as markers that may differentiate low and intermediate risk for CVD in HIV patients after 12 months of cART.

Key words: CD4/CD8 ratio, C-reactive protein, HIV, AIDS, cardiovascular disease, cART

Accepted by the Scientific Board on - ASB:

Defended on - DE:

Thesis defended board (Degree/name/surname/title/faculty) - DB:

Mišljenje etičkog komiteta KCU Sarajevo

Potvrda o izvodljivosti studije istraživanja za doktorsku disertaciju,